

870118

Universidad Autónoma de Guadalajara

INCORPORADA A LA UNIVERSIDAD NACIONAL AUTONOMA DE MEXICO

ESCUELA DE CIENCIAS QUIMICAS



TESIS CON
FALLA DE ORIGEN

ESTUDIO DE LA INFLUENCIA DE LA POSICION VERTICAL Y
RADIAL DE ENTRADA DE UN SOLIDO, EN SU DISTRIBUCION
DE TIEMPOS DE RESIDENCIA, EN UN REACTOR DE MEZCLA
COMPLETA CON FONDO FILETEADO Y CON CONO INVERTIDO

TESIS PROFESIONAL

QUE PARA OBTENER EL TITULO DE
INGENIERO QUIMICO

PRESENTA

MARIA DE LAS NIEVES BLANCA GUIZAR MANRIQUE

ASESOR: I.Q. MA. DEL CONSUELO LOPEZ LIMON

GUADALAJARA, JAL., 1989



UNAM – Dirección General de Bibliotecas Tesis Digitales Restricciones de uso

DERECHOS RESERVADOS © PROHIBIDA SU REPRODUCCIÓN TOTAL O PARCIAL

Todo el material contenido en esta tesis está protegido por la Ley Federal del Derecho de Autor (LFDA) de los Estados Unidos Mexicanos (México).

El uso de imágenes, fragmentos de videos, y demás material que sea objeto de protección de los derechos de autor, será exclusivamente para fines educativos e informativos y deberá citar la fuente donde la obtuvo mencionando el autor o autores. Cualquier uso distinto como el lucro, reproducción, edición o modificación, será perseguido y sancionado por el respectivo titular de los Derechos de Autor.

ÍNDICE

INTRODUCCIÓN	1
NOMENCLATURA	3
CAPÍTULO I. FUNDAMENTOS TEÓRICOS	6
CAPÍTULO II. DESARROLLO EXPERIMENTAL	21
CAPÍTULO III. RESULTADOS OBTENIDOS	29
CAPÍTULO IV. DISCUSIÓN DE RESULTADOS	63
RESUMEN	68
CONCLUSIONES	71
APÉNDICE I. MÉTODOS ESTADÍSTICOS	73
APÉNDICE II. TABLAS DE RESULTADOS ESTADÍSTICOS		78
APÉNDICE III. EJEMPLO DE UNA RUTINA DE TRABAJO		129
APÉNDICE IV. CALIBRACIÓN DEL ROTÁMETRO	105
BIBLIOGRAFÍA	138

INTRODUCCIÓN

INTRODUCCION

Al diseñar reactores quimicos, es de suma importancia determinar la distribucion real de los tiempos de residencia del reactivo y ver que tanto se aproxima o se aleja del modelo ideal, debido a que de ello depende, entre otros factores, la eficiencia del reactor, pues esto se refleja en el grado de conversion de materia prima en producto. Para conocer esta distribucion de tiempos de residencia, se puede estimular al sistema con una perturbacion instantanea y estudiar la respuesta que presenta a este estimulo.

En estudios anteriores, se ha determinado la influencia que, sobre la distribucion de tiempos de residencia tienen la variacion de diversos factores como lo son, entre otros, la posicion y altura del agitador y los niveles de entrada y salida de flujo, pero en todos ellos se ha utilizado un trazador liquido (colorante).

En este trabajo se utilizo un trazador solido y se analizo la influencia que tienen las diferentes entradas de este trazador sobre su distribucion de tiempos de residencia en un reactor de mezcla completa con fondo fileteado y con cono invertido.

Se partio de la hipotesis de que la distribucion de tiempos de residencia de un trazador solido en un reactor de mezcla completa con fondo fileteado y con cono invertido, corresponde a la del reactor de mezcla completa para todas las entradas utilizadas.

Se efectuaron seis pruebas con sus replicas, en las cuales se variaron tres distancias radiales de entrada del trazador (centro, mitad del radio y en la pared del tanque), con dos niveles de entrada de este (en la superficie del liquido y a la altura de la helice del agitador) y las combinaciones entre estas.

Se obtuvieron seis curvas de distribucion de tiempos de residencia las cuales se compararon estadisticamente con la curva ideal del reactor de mezcla completa para determinar su confiabilidad y, a partir de esta informacion, conocer las posibles desviaciones de la idealidad.

NOMENCLATURA

NOMENCLATURA

- a** : Constante del rotámetro.
A1 : Desviación para la prueba estadística unimuestral, $\{F_{0E_u} - F_{0T_u}\}$.
A2 : Desviación para la prueba estadística unimuestral, $\{F_{0E_u} - F_{0T_u}\}$.
b : Constante del rotámetro.
C : Concentración media de corrida y réplica.
 \bar{C} : Concentración promedio del sistema.
C1 : Claro del tanque.
CO : Concentración del trazador en la muestra de la corrida original.
CR : Concentración del trazador en la muestra de la réplica.
 \bar{CO} : Concentración promedio del sistema en la corrida original para las tablas tipo III-B.
 \bar{CR} : Concentración promedio del sistema en la réplica para las tablas tipo III-B.
"D": Valor crítico para las pruebas estadísticas de Kolmogorov-Smirnov.
D1 : Diámetro del tanque.
d1 : Diámetro del cono del tanque.
DTR: Distribución de tiempos de residencia.
E : Función de distribución de tiempos de salida.
E₀ : Función de distribución de tiempos de residencia basada en el tiempo adimensional.
E_{0E}: Función de distribución de tiempos de residencia experimental. (Adimensional).
E_{0O}: Función de distribución de tiempos de residencia experimental para la corrida original. (Adimensional).
E_{0R}: Función de distribución de tiempos de residencia experimental para la réplica. (Adimensional).
E_{0T}: Función de distribución de tiempos de residencia teórica.
F₀ : Función de distribución acumulada. (Adimensional).
F_{0E}: Función de distribución experimental acumulada. (Adimensional).
F_{0O}: Función de distribución experimental acumulada para la corrida original. (Adimensional).
F_{0R}: Función de distribución experimental acumulada para la réplica. (Adimensional).
F_{0T}: Función de distribución teórica acumulada. (Adimensional).
H : Desviación para la prueba estadística bimuestral, $\{F_{0R_u} - F_{0O_u}\}$.

h1 : Altura del cono del tanque.
h2 : Altura del filete del tanque.
h3 : Distancia entre boquilla y boquilla del tanque.
Q : Caudal de flujo.
t : Tiempo.
t̄ : Tiempo medio de residencia.
UO : Volumen del tubo donde se tomó la muestra en la corrida original.
UR : Volumen del tubo donde se tomó la muestra en la replica.
V : Volumen total del líquido en el reactor.
WO : Peso de arena en la muestra de la corrida original.
WR : Peso de arena en la muestra de la replica.
WT : Peso total de sólido utilizado en cada corrida.
WTD : Peso total de sólido utilizado en la corrida original para las tablas tipo III-B.
WTR : Peso total de sólido utilizado en la replica para las tablas tipo III-B.
 α : Nivel de significancia para las pruebas estadísticas.
 ΔH : Diferencia de presión manométrica en el medidor de flujo.
 τ : Tiempo espacial, (unidades de tiempo).
 θ : Parámetro adimensional, (t/c).
: Número de muestra.

CAPÍTULO I

FUNDAMENTOS TEÓRICOS

A.- Mezcla y Agitación. (2,5,7,13,17).

En los reactores de mezcla completa, una de las principales razones por las que no se logra la total idealidad, es la formación de zonas estáticas o de muy baja velocidad dentro del sistema. Esto hace que la operación de mezclado sea importante en el diseño de nuestro equipo.

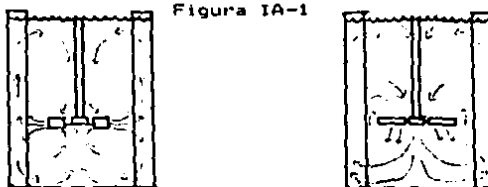
Mezclar es mover el material de tal manera, que alcance un estado de homogeneidad o se aproxime a él. Para mezclar líquidos, se provoca una turbulencia y se mueve el líquido hacia esa zona turbulenta.

Los dispositivos más comunes para la mezcla de líquidos son los impulsores (agitadores).

Dependiendo de la dirección en que descarguen el fluido, los impulsores se dividen en dos tipos básicos que son el de flujo axial y el de flujo radial.

Los dispositivos radiales descargan el fluido en una dirección horizontal (radial) hacia la pared del tanque, si este tiene mamparas se formarán corrientes fuertes de arriba hacia abajo (Fig IA-1a). Si el tanque no tiene mamparas, se producirá un vórtice o torbellino.

Los impulsores de tipo axial crean un flujo paralelo a la flecha. Esto produce más flujo por unidad de potencia que los de tipo radial. También en estos se desarrollan torbellinos si no se ponen mamparas, (Fig IA-1b).

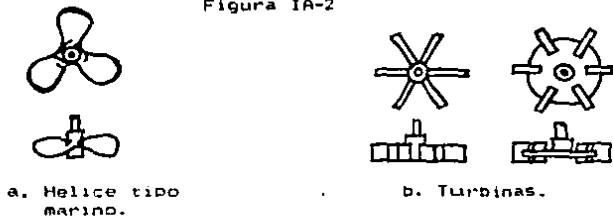


Vista lateral.
a. Flujo Radial

Vista lateral.
b. Flujo Axial

Los impulsores tambien se clasifican de acuerdo a su forma. Dentro de estos los tres mas comunes son: las helices de tipo marino (Fig IA-2a), las turbinas (Fig IA-2b) y las paletas (una paleta rectangular mezclada con un cubo enmedio para ajustarlo a un eje giratorio).

Figura IA-2



Existen modificaciones de estos tres tipos principales como lo son el doble escalera y el de ancla.

La corriente axial producida normalmente por una helice, depende de la posicion de esta con relacion al fondo del tanque. Si una helice se baja gradualmente hacia el fondo, llegara un momento en que la corriente axial cambiara a radial y, en este caso, la helice actuara como un impulsor de tipo radial.

La eleccion del impulsor mas adecuado se hace ordinariamente entre los modelos de corriente axial y los de flujo radial. Si hay particulas solidas que deban levantarse del fondo del tanque, como es nuestro caso, es aconsejable utilizar helices de corriente axial pues, como dijimos anteriormente, descargan el liquido hacia abajo y las lineas de flujo se ensanchan a medida que irradian hacia la pared. Lo anterior no quiere decir que no pueda usarse un impulsor de flujo radial en la suspension de solidos, solo que en este caso, el impulsor debora colocarse muy cerca del fondo para la misma potencia que se usa en una helice para flujo axial.

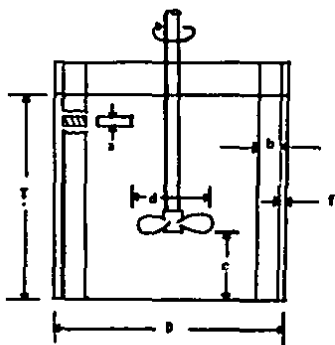
A menos que un modelo de corriente requerido por una operacion no pueda obtenerse con uno de los tipos ordinarios de impulsor, no es necesario acudir a diseños improvisados.

Otro elemento que hay que tomar muy en cuenta para el mezclado de liquidos, es el recipiente.

Los recipientes pueden ser de cualquier tamaño y forma, pero generalmente son tanques cilíndricos (de eje vertical), con el fondo plano o concavo, con mamparas y con una profundidad del líquido aproximadamente igual al diámetro del tanque.

En el caso especial de la suspensión de sólidos, generalmente se efectúa en un tanque de fondo plano con mamparas, pero esta geometría del tanque tiene características que lo hacen menos ideal para el trabajo (Fig. IA-3). Se forman tiras de sólidos en el centro y en la periferia del fondo y la intensa agitación requerida para dispersar estas tiras, produce una mezcla ineficiente en el sistema. La potencia requerida por unidad de volumen del tanque para suspender por completo, o casi por completo los sólidos, es excesiva.

Figura IA-3

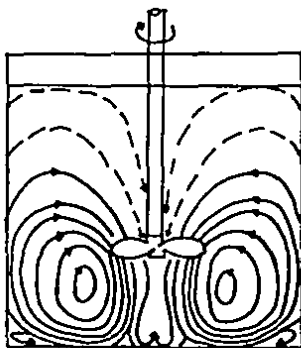


$T = D$	$a = 0.02D$
$d = 0.53D$	$f = 0.02D$
$b = 0.10D$	$c = 0.083D \text{ a } 0.33D$

Un mejor diseño del tanque, puede mejorar la eficiencia de la mezcla a menores velocidades de agitación.

En un tanque de fondo plano, agitado con un impulsor de descarga axial, la mayoría del líquido circula en un circuito principal y en dos circuitos inducidos de recirculación, uno por debajo del impulsor y el otro en la unión de la pared y el fondo del tanque.

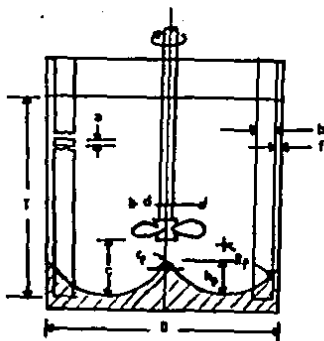
Figura IA-4



Debido a que las velocidades en estos circuitos inducidos son menores que la velocidad en el grueso del flujo, las partículas en estos circuitos se suspenden mucho después que en cualquier otra parte del tanque.

El remedio práctico para evitar esta mezcla ineficiente, es eliminar estos cambios repentinos en la dirección del flujo que crean los circuitos de recirculación. Una solución es usar un tanque con "fondo completamente perfilado o contorneado" (Fig. IA-5). Desafortunadamente este diseño no es fácil de elaborar.

Figura IA-5

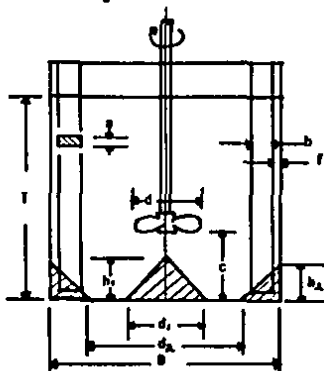


$T = D$	$a = 0.02D$	$h_f = 0.15D$
$d = 0.33D$	$f = 0.02D$	$r_f = 0.03D$
$b = 0.10D$	$R_f = 0.25D$	$c = 0.166D \text{ a } 0.50D$

Un diseño aproximado podría ser una solución práctica, por lo que se propuso un tanque con "fondo fileteado y cono invertido" (Fig. IA-5). La virtud principal de esta forma es que se puede elaborar por medio de una modificación no muy costosa de un tanque con fondo plano convencional.

Al comparar eficiencias en la suspensión de sólidos, se puede ver que el tanque de fondo plano es menos eficiente en la obtención de suspensiones pseudo-homogéneas. Las eficiencias de suspensión del tanque de "fondo fileteado y cono invertido" y del de "fondo contorneado" comparadas con la del de fondo plano, aumentan con el incremento en la velocidad de asentamiento de sólidos. Esto hace que el tanque con "fondo fileteado y cono invertido" sea particularmente conveniente cuando los sólidos son difíciles de suspender. Este tanque también es preferido por tener mejor desempeño que los tanques que tienen otros tipos de fondos, como el esférico y el cónico. Esto está basado en el papel crucial que el cono central juega en la eficiente desviación del flujo.

Figura IA-6



$T = D$	$f = 0.02D$	$h_1 = 0.15D$
$d = 0.33D$	$d_1 = 0.30D$	$c = 0.25D$ a $0.50D$
$b = 0.10D$	$h = 0.20D$	
$a = 0.20D$	$d_1 = 0.70D$	

En párrafos anteriores, se habla de los tipos de impulsores y de que los de descarga axial son más adecuados para la suspensión de sólidos, pero no se dijo cuál de estos es el más adecuado. Se dice que éste es un impulsor de tres hojas cuadradas y con un ángulo de inclinación de 45° . El ancho de la hoja o paleta es una función del diámetro: ancho = $1/3$ diámetro para modelos pequeños.

Se elige este tipo de impulsor debido a que es de los que necesita menos potencia para una completa suspensión de sólidos.

Ordinariamente los impulsores tienen un diámetro de aproximadamente $1/3$ del diámetro del tanque.

Al colocar un impulsor hay que tomar en cuenta el claro, es decir, la distancia entre el fondo del tanque y el impulsor. Esto se debe a que, para una máxima eficiencia en suspensión completa, el impulsor debe localizarse justo arriba de los lodos asentados o al claro máximo permitido por la geometría en particular ($0.167 D$ para un "fondo contorneado" y $0.25 D$ para un "fondo fileteado y cono invertido").

Los resultados no van de acuerdo con la practica actual de colocar el impulsor a $0.33 D$ de claro para una completa suspension de solidos.

Tanto los tanques con "fondo contorneado" como los de "fondo fileteado y cono invertido" requieren menos potencia al menor claro del impulsor para alcanzar una altura dada de solidos suspendidos. Esto podria parecer anormal, pues la mayor altura de lodos suspendidos se esperaria con el impulsor colocado más alto. Sin embargo, un analisis de la ruta de flujo revela algo diferente. La descarga del impulsor colocado más bajo tiene en definitiva, un camino más corto para alcanzar un punto dado en la region de flujo ascendente. Esto sugiere que en un punto dado, la velocidad ascendente podria ser mayor con un claro del agitador menor. Por lo anterior, la altura de lodos suspendidos deberia ser mayor con el impulsor colocado más abajo.

B.- Distribucion de los Tiempos de Residencia en un Reactor de Mezcla Completa. (3,4,6,11).

En la practica, el comportamiento real de los reactores nunca se ajusta con exactitud a los modelos de flujo idealizados. Las desviaciones, cuando se realiza un buen diseño, pueden ser tan pequeñas que se pueden considerar como ideales sin incurrir en errores apreciables.

Sin embargo, las desviaciones tambien pueden ser grandes debido a la formacion de zonas estancadas y a defectos en la mezcla entre otras cosas.

Por lo anterior y como no es posible saber exactamente lo que ocurre en el interior del reactor, para efectuar el diseño de éste, es necesario saber cuánto tiempo permanece cada partícula en el recipiente, pues algunas moleculas salen del reactor casi inmediatamente, mientras que otras permanecen en el demasiado tiempo debido a que los distintos elementos del fluido siguen caminos diferentes a lo largo del reactor. A este concepto se le conoce con el nombre de Distribución de Tiempos de Residencia (DTR).

Existe un metodo de investigacion muy sencillo llamado "metodo experimental estímulo-respuesta", con el cual se puede determinar esta DTR de manera directa.

Para llevar a cabo este método, se utiliza un trazador, el cual puede ser cualquier sustancia que se pueda detectar y que no modifique el tipo de flujo en el recipiente. Generalmente se ha utilizado un colorante que se inyecta en la corriente del fluido que entra al recipiente pero ¿por que no hacerlo con un solido?.

Podemos decir que al añadir un solido el proceso de mezclado se complicaría un poco, pues implicaría suspensión de solidos, sin embargo, si se investigan las mejores condiciones para esta suspensión, el proceso será sencillo.

Por lo anterior, diremos que el metodo consiste en la estimulación del sistema mediante una perturbación (vaciado de arena), la cual actúa como una señal instantánea que entra al reactor en un tiempo cero y que inmediatamente empieza a detectarse a la salida, por lo que la respuesta es una representación de la concentración del trazador a la salida del recipiente frente al tiempo.

Si se utilizara un colorante como trazador, su concentración sería proporcional a la absorbancia de la solución y esta se mediría muy fácilmente con un espectrofotómetro de U.V., pero en el caso de un sólido, la medición de la concentración se complica un poco.

En el caso del trazador sólido (arena), hay que seguir varios pasos:

1.- Las muestras que se toman deben de ser de un volumen conocido.

2.- Una vez recolectadas las muestras, hay que eliminar el líquido (en nuestro caso agua) por completo y pesar el sólido para que, con los datos obtenidos de peso y los ya conocidos de volumen, podamos obtener la concentración del trazador en cada muestra.

Si llamamos C a la concentración del trazador en un tiempo t , el número de partículas que salen entre los tiempos " t " y " $t+\Delta t$ ", será proporcional a $C(t)\Delta t$. Por lo tanto, el número total de partículas saldrá en un tiempo infinito y estarán determinadas por la expresión:

$$\int_{t=0}^{\infty} C(t)\Delta t \quad (1B-1)$$

Así, la fracción de partículas saliendo del reactor entre los tiempos " t " y " $t+\Delta t$ " será:

$$P(t)\Delta t = \frac{C(t)\Delta t}{\int_{t=0}^{\infty} C(t)\Delta t} = E\Delta t \quad (1B-2)$$

y, como el trazador se introdujo instantáneamente en $t=0$, $P(t)\Delta t$ será la probabilidad de que una partícula este en el reactor el tiempo " t ".

Esta probabilidad está representada como E que es la esperanza matemática de que un elemento de trazador tenga un tiempo " t " de permanencia en el reactor y que tiene una dimensión de (unidades de tiempo)⁻¹. Lógicamente, en un tiempo infinito habrán salido todas las partículas, por lo que es obvio que esta probabilidad sea igual a 1.

$$\int_{t=0}^{\infty} P(t)\Delta t = \int_{t=0}^{\infty} E\Delta t = 1 \quad (1B-3)$$

Si esta normalización de la distribución de tiempos de residencia del fluido se aproxima a elementos finitos, quedará como sigue:

$$\sum_{t=0}^{\infty} E \Delta t = 1$$

(1B-4)

Si se define al tiempo medio de residencia (\bar{t}) como el que, en promedio, gasta una molécula en el reactor, entonces:

$$\bar{t} = \sum_{t=0}^{\infty} t E \Delta t = \sum_{t=0}^{\infty} t (E) \Delta t$$

(1B-5)

Si el sistema es de densidad constante, flujo en estado estacionario y no existe volumen muerto, este tiempo medio de residencia será igual al tiempo espacial (τ), que es el tiempo necesario para tratar un volumen de alimentación igual al volumen del reactor en condiciones determinadas. Esto es:

$$\tau = V/D = \frac{\text{Volumen del reactor}}{\text{Caudal de alimentación}} \quad (1B-6)$$

Entonces, la concentración promedio del sistema estará dada por:

$$\bar{C} = \sum_{t=0}^{\infty} C \Delta t \cdot t \quad (1B-7)$$

Ahora bien, por otro lado se define:

$$\theta = t \cdot \tau \quad (1B-8)$$

donde θ es una medida adimensional que mide el tiempo en función del tiempo espacial.

Relacionando E con $E\theta$ (valor adimensional) se tiene

$$E\theta = E\tau \quad (1B-9)$$

Combinando esta ecuación con la ecuación (1B-8), se obtiene:

$$E\theta = E\tau \quad (1B-10)$$

De (1B-2) y (1B-10) se obtiene

$$E\theta = \tau C / \sum_{t=0}^{\infty} C(t) \Delta t \quad (1B-11)$$

Combinando (1B-11) con (1B-7)

$$E\theta = \bar{C} / \bar{C} \quad (1B-12)$$

La concentración media cuando se trata de trazar por sólido, se calcula fácilmente con la ecuación:

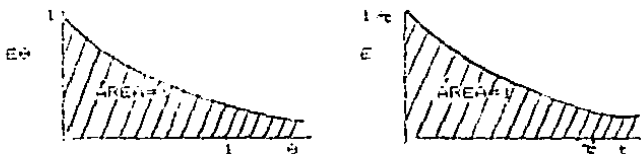
$$\bar{C} = WT/V$$

(1B-13)

donde WT es el peso total de sólido utilizado en cada corrida y V ya está definida con anterioridad como el volumen del reactor, entendiéndose como volumen del reactor al volumen del líquido que contiene el tanque.

Al transformarse los datos obtenidos a parámetros adecuados, se obtienen las siguientes curvas:

Figura 1B-1



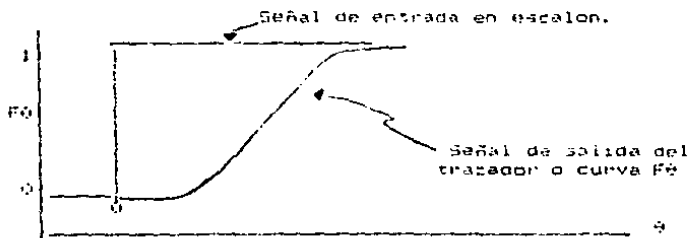
que corresponden a un flujo continuo en un reactor ideal de mezcla completa y cuya ecuación es:

$$E\theta = e^{-\theta}$$

(1B-14)

Si se trata de una señal de entrada en escalon, la curva $F\theta$ o curva representativa de la concentración del trazador a la salida del recipiente, (medida en función de la concentración de entrada C/C_0 donde C_0 es la concentración de entrada) frente al tiempo adimensional θ , es siempre ascendente desde cero hasta uno.

Figura 1B-2



Curva $F\theta$ vs. θ

Para poder relacionar E_t con F_t solo hay que considerar los siguientes:

Imagínese que se tiene un recipiente a través del cual está circulando, en flujo estacionario, un fluido blanco y que en determinado momento $t=0$, en vez de un fluido blanco se introduce uno azul. Como se sabe la curva F_t representará el aumento de concentración del fluido azul en la corriente de salida. Es lógico pensar que para cualquier instante $t > 0$ el fluido azul de la corriente de salida tiene una edad inferior a t .

En consecuencia se tiene

$$\left[\begin{array}{l} \text{Fracción de fluido} \\ \text{azul en la} \\ \text{corriente de salida} \end{array} \right] = \left[\begin{array}{l} \text{Fracción de la corriente} \\ \text{de salida con la edad} \\ \text{inferior a } t \end{array} \right]$$

Se sabe que el primer término es simplemente F_t mientras que el segundo será

$$\int_0^t E_t \phi \, d\phi \quad (18-15)$$

Hay que recordar que ϕ es una medida adimensional que mide el tiempo en función del tiempo espacial.

Por lo anterior, para cualquier ϕ :

$$F_t = \int_0^t E_t \phi \, d\phi \quad (18-16)$$

Combinando la ecuación (18-14) con (18-16) se tiene que para el modelo de mezcla completa

$$F_t = \int_0^t e^{-\phi} E_t \, d\phi \quad (18-17)$$

Integrando

$$F_t = 1 - e^{-t} \quad (18-18)$$

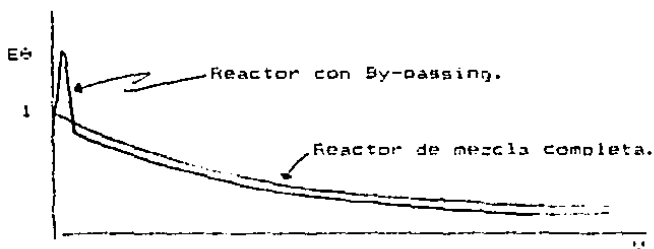
Cuando E_t se obtiene experimentalmente, el valor acumulado $\int_0^t E_t \, d\phi$ puede considerarse aproximadamente el valor de F_t .

C.- Interpretación de la Información Obtenida de un Trazador. (14, 15, 19).

Se ha estudiado la forma en que se determina la distribución de tiempos de residencia con el uso de trazadores y, como se sabe que la curva experimental producida por esta técnica depende del tipo de agitación y mezclado que se emplea en el reactor, también se han indicado algunos conceptos básicos sobre estos temas. Sin embargo, aunque se procure que las condiciones de mezclado sean las óptimas, pueden suceder algunos fenómenos que se detectan al interpretar la información del trazador. Estos fenómenos pueden ser:

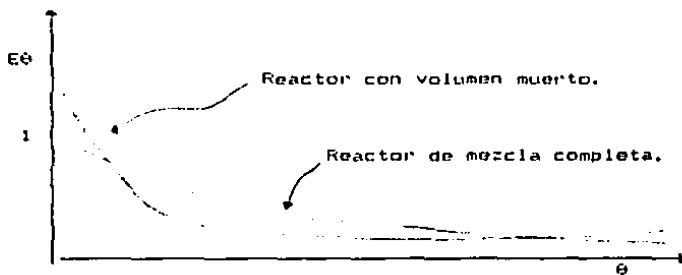
a) By-Passing (circuito corto). Se presenta cuando se encuentran muy cerca la entrada al reactor y la salida. Lo que sucede es que algo del trazador sale inmediatamente después de que entro al sistema como consecuencia del circuito corto. En la Figura (IC-1), esta cantidad de trazador se muestra en el primer pico, el resto es el remanente de material que sale en función del tiempo.

Figura IC-1



b) Volúmenes Muertos. Estos se forman por estancamiento del fluido en ciertas zonas del reactor cercanas a los bordes o esquinas del mismo, o por el uso de equipo auxiliar dentro del reactor que impide una buena agitación en algunas partes del mismo. En la figura (IC-2) se muestra una señal que se retrasa en el tiempo debido a estas zonas estancadas. Hay que hacer notar que el área bajo la curva ideal y la de volumen muerto es la misma.

Figura IC-2



Es importante hacer este analisis de la informacion del trazador para construir un buen modelo de flujo.

CAPÍTULO II

DESARROLLO EXPERIMENTAL

A.- Descripción del Equipo Empleado.

De acuerdo a la literatura y como se puede ver en la parte teórica de este trabajo, uno de los tanques más adecuados para la suspensión de sólidos es el que tiene "fondo fileteado y como invertido". Es por esto que, para llevar a cabo la parte experimental, se utilizó un tanque de este tipo.

Los materiales que se utilizaron para construir este tanque fueron: lamina galvanizada de 1/16" de espesor nominal, rollada y soldada con cautín y estaño y, tubo de cobre de 3/8" de diametro para las boquillas.

La Figura (IIA-1) muestra un esquema del tanque utilizado. Junto a este esquema se indican las medidas correspondientes.

En la parte superior del tanque se encuentra un travesaño para evitar las vibraciones que ocasiona el agitador en la flecha.

El nivel de operación utilizado fue el equivalente a un volumen de agua de 11.430 l, es decir, a 25 cm desde la base del tanque. Esto fue porque, como se indica en la Figura (IIA-1), el diametro del tanque es de 25 cm y el nivel de operación adecuado es el equivalente a una altura igual al diametro del tanque.

Aunque el tanque utilizado tiene cinco boquillas de entrada y cinco de salida, solo se utilizaron dos de las de entrada, una de las cuales sirvió para colocar el indicador de nivel, y una de salida Figura (IIA-1), las demás fueron utilizadas en trabajos anteriores.

En lo que se refiere a la agitación, se utilizó un agitador mecánico marca Cafromo de 70 W, 115 Volts y 60 Hz, de corriente alterna. En el portabrocas de este agitador se colocó una flecha de 5/16" de diametro y 70 cm de longitud y en cuyo extremo tiene una helice de 3 hojas inclinadas 45° de lamina de acero inoxidable con un diametro de 8.33 cm y un ancho de hoja de 1.67 cm. Este agitador se colocó en posición vertical a una altura de 5.25 cm de la base del tanque. La velocidad de agitación que se utilizó fue de 660 RPM.

Como trazador se utilizó arena de entre 60 y 100 mallas que equivalen a un diámetro de entre 0.250 y 0.149 mm. Su densidad fue de 2750 g/l y en cada corrida se agregaron 100 g con ayuda de un embudo de lamina galvanizada de los llamados "choriceros" cuyo diámetro de salida es de 2 cm y con una longitud del cuello a la salida de 15 cm.

Por sus características, bajo costo y accesibilidad, el fluido utilizado fue el agua cuyo caudal fue de 0.0134 l/s.

Para la medición del flujo se utilizó un rotámetro marca Gilmont, modelo E435B cuya calibración se describe en el Apéndice IV.

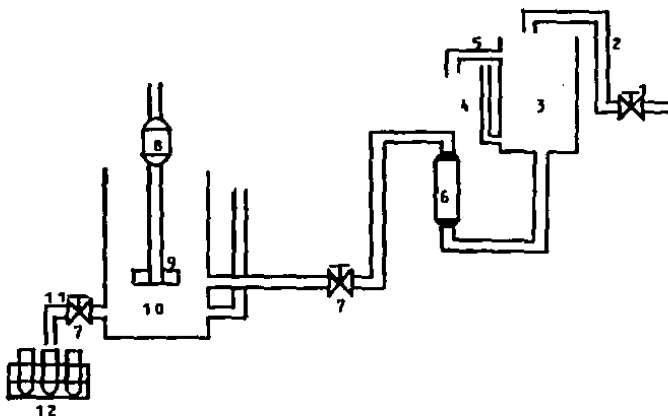
Para mantener un volumen de operación constante, se usó un tanque de alimentación situado a 2.1 m de altura, el cual era alimentado con agua de grifo a través de una manguera y que siempre mantuvo un nivel constante mediante un rebosadero. De este tanque de nivel constante salía una manguera que terminaba en el rotámetro el cual estaba situado a 1.3 m del nivel del piso. Del rotámetro salía otra manguera que lo conectaba con el reactor situado a 0.71 m del piso y del reactor salía otra pequeña manguera por medio de la cual se tomaban las muestras en tubo de ensayo de, aproximadamente, 35 ml.

Para controlar el flujo, se utilizaron válvulas o llaves de paso, una para regular el flujo de agua del tanque de alimentación al rotámetro y de éste al tanque y otra para regular el flujo a la salida y mantener el estado estacionario.

En la Figura (IIA-2) se muestra un diagrama esquemático del sistema.

Figura IIA-2

Diagrama Esquemático del Sistema.



- 1.- Llave de alimentación de agua.
- 2.- Corriente de entrada al tanque de alimentación.
- 3.- Tanque de alimentación.
- 4.- Indicadores de nivel.
- 5.- Rebosadero.
- 6.- Rotámetro.
- 7.- Llaves de paso.
- 8.- Motor del agitador.
- 9.- Turbina de 3 hojas planas a 45°.
- 10.- Tanque del reactor.
- 11.- Corriente de salida del reactor.
- 12.- Tubos de ensayo.

B.- Experimentación.

Se efectuaron seis pruebas con sus replicas, en las cuales se mantuvieron fijos los siguientes parámetros:

- 1.- Velocidad, posición y altura del agitador.
- 2.- Nivel de operación.
- 3.- Alturas de entrada y salida de flujo.
- 4.- Caudal.
- 5.- Cantidad, diámetro y densidad del trazador.

Se variaron las distintas posiciones de entrada del sólido.

Para llevar a cabo esta experimentación se siguió el procedimiento siguiente:

1.- Se armó el sistema según el esquema de la Figura (IIA-2).

2.- Se lleno el tanque de alimentación a un nivel adecuado y se lleno el reactor a su nivel de operación (11.450 l). Se abrieron las valvulas de entrada y salida y se encendió el agitador fijando su velocidad a 660 RPM.

3.- Mediante la válvula de entrada de fluido, se fijo la altura del rotámetro a un nivel adecuado para obtener un caudal de 0.0134 l/s (ver Apéndice IV) y, mediante la válvula de salida, se igualo el flujo de salida con el de entrada para mantener el estado estacionario. Después de un tiempo de estar en agitación, se checo el nivel de operación mediante el indicador de nivel instalado en el tanque. Cuando este nivel se mantenía constante, el estado estacionario se había alcanzado.

Cabe aclarar que este chequeo del estado estacionario es muy importante para evitar inundaciones o que el nivel de operación descienda con el tiempo.

4.- Una vez asegurado el estado estacionario, se tomaron 100 g de arena limpia y previamente pesada y con la ayuda del embudo, se agregaron lo mas rápido posible al tanque, en el lugar en el que la prueba lo indicaba.

5.- A partir del momento en que la arena se introdujo al sistema, empezó a correr el tiempo, tomado con un cronómetro. Es decir, que la arena se introdu-

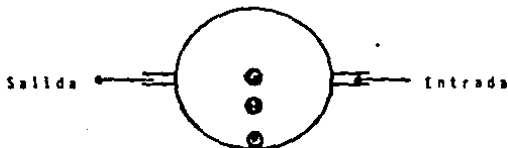
cia en un tiempo cero y se tomaban las muestras a intervalos de tiempo previamente establecidos en tubos de ensayo de volumen conocido.

6.- Una vez recolectadas todas las muestras, se procedió a decantar lo más posible el agua y se introdujeron los tubos con el sólido a una mufla para eliminar por completo el líquido. Transcurrido un tiempo suficiente para lograr este fin, se sacaron los tubos y se dejaron enfriar. Ya fríos, se pesaron y, como el peso de estos sin arena ya era conocido, por diferencia se sacó el peso del sólido y, dividiendo este peso entre el volumen del tubo, se obtuvo la concentración de sólido en cada muestra.

Se obtuvieron 80 muestras por corrida a los siguientes intervalos de tiempo:

<u>N° de Muestra</u>	<u>Intervalo</u>
1-30	10 s
31-45	30 s
46-60	60 s
61-70	120 s
71-80	240 s

Figura IIB-1



En la Figura (IIB-1) se muestra un esquema en donde se indican las tres posiciones radiales que se variaron (centro, en la mitad del radio y en la pared del tanque), las cuales se combinaron con dos niveles de entrada (en la superficie del líquido y a la altura de las espas del agitador) como sigue:

<u>Prueba</u>	<u>Posicion Radial</u>	<u>Nivel</u>
1	Centro (Ce)	Altura aspas (AA)
2	Mitad del radio (M)	Altura aspas (AA)
3	Pared del tanque (P)	Altura aspas (AA)
4	Centro (Ce)	Sup. liquido (SL)
5	Mitad del radio (M)	Sup. liquido (SL)
6	Pared del tanque (P)	Sup. liquido (SL)

Por último, sólo queda decir que cada una de las pruebas se realizó por duplicado para verificar, por medio del tratamiento estadístico, si hay consistencia entre ellas.

CAPÍTULO III

RESULTADOS OBTENIDOS

Las tablas de resultados que se muestran a continuación (III-1A a III-6B), contienen los datos necesarios para construir las curvas de distribución de tiempos de residencia, además de mostrar las áreas acumuladas experimentalmente para así observar qué tanto se aleja el área bajo la curva experimental de la ideal que, como se sabe, equivale a la unidad.

En la parte superior de estas tablas se muestra, entre parentesis, la posición de entrada del sólido, indicando en primer lugar el nivel y en segundo término la posición radial (nivel-posición radial) y cuya simbología es la siguiente:

Nivel

AA = Altura de las aspas
SL = Superficie del líquido

Posición Radial

Ce = Centro
M = En la mitad del radio
P = En la pared del tanque

La nomenclatura usada en las columnas de estas tablas es la siguiente:

- # : Número de muestra.
- t : Tiempo en segundos en el cual se tomó la muestra.
- ϕ : Parámetro adimensional que, como sabemos, resulta de dividir el tiempo en el que se tomó la muestra (t) entre el tiempo espacial (T).
- C : Promedio de la concentración de sólido en la muestra.
- E₀T : E₀ teórico.
- E₀E : E₀ promedio experimental.
- E₀E : E₀ promedio experimental.

Cabe aclarar que el promedio al que nos referimos es el que se da entre la corrida y su réplica.

En las tablas tipo A, se muestran los resultados sin tomar en cuenta el residuo de arena que queda en la boquilla del indicador de nivel (Cap. IV) y en las tipo B si se toma en cuenta este residuo.

Al final de esta página se muestra un cuadro (III-1) en el que se indican las cantidades de arena que quedaron en el indicador de nivel en cada corrida.

Para entender como se llega a los resultados de las tablas de este capítulo, se recomienda dirigirse al apéndice III.

Como se observara, inmediatamente después de cada tabla tipo A, aparecen sus graficas correspondientes, una de las cuales es la grafica completa y la otra es una ampliacion de la primera parte, pues es la zona en que las diferencias son un poco mas marcadas.

Las graficas tipo B, a excepcion de unas, no aparecen, pues son iguales que las correspondientes tipo A solo que tienen un area bajo la curva un poco mayor, como se ve en las tablas. Solamente se presenta una como muestra.

Cuadro III-1

Cantidad de Arena en el Indicador de Nivel		
	Corrida Original	Replicas
Corrida 1	1.7015 g	2.0415 g
Corrida 2	2.5578 g	2.0386 g
Corrida 3	0.8462 g	2.1411 g
Corrida 4	1.5002 g	2.3418 g
Corrida 5	1.4969 g	2.3255 g
Corrida 6	2.3110 g	2.8173 g

T A B L A III - 1A

CORRIDA NO. 1
(CE-AA)

#	t	B	C	E8T	E8E	F8E
0	0	0.0000	0.0000	1.0000	0.0000	0.0000
1	10	0.0117	1.4325	0.9883	0.1637	0.0010
2	20	0.0234	3.0485	0.9768	0.3484	0.0040
3	30	0.0352	4.3456	0.9654	0.4967	0.0089
4	40	0.0469	6.0239	0.9542	0.6885	0.0159
5	50	0.0586	7.1886	0.9431	0.8217	0.0247
6	60	0.0703	8.8794	0.9321	1.0149	0.0355
7	70	0.0821	9.0846	0.9212	1.0384	0.0475
8	80	0.0938	8.4215	0.9105	0.9626	0.0592
9	90	0.1055	8.4974	0.8999	0.9713	0.0706
10	100	0.1172	8.3292	0.8894	0.9520	0.0819
11	110	0.1290	8.1453	0.8790	0.9310	0.0929
12	120	0.1407	8.1532	0.8688	0.9319	0.1038
13	130	0.1524	7.9447	0.8586	0.9081	0.1146
14	140	0.1641	8.1113	0.8486	0.9271	0.1254
15	150	0.1759	8.0146	0.8387	0.9161	0.1362
16	160	0.1876	7.6765	0.8290	0.8774	0.1467
17	170	0.1993	7.7480	0.8193	0.8856	0.1570
18	180	0.2110	7.3682	0.8098	0.8422	0.1671
19	190	0.2227	7.1586	0.8003	0.8182	0.1769
20	200	0.2345	7.0539	0.7910	0.8063	0.1864
21	210	0.2462	7.1452	0.7818	0.8167	0.1959
22	220	0.2579	7.3337	0.7727	0.8382	0.2056
23	230	0.2696	7.4020	0.7637	0.8461	0.2155
24	240	0.2814	6.9343	0.7548	0.7926	0.2251
25	250	0.2931	6.6447	0.7460	0.7595	0.2342
26	260	0.3048	6.5498	0.7373	0.7486	0.2430
27	270	0.3165	6.5954	0.7287	0.7539	0.2518
28	280	0.3283	6.7711	0.7202	0.7739	0.2608
29	290	0.3400	6.7458	0.7118	0.7710	0.2698
30	300	0.3517	6.8925	0.7035	0.7878	0.2790
31	330	0.3869	6.1574	0.6792	0.7038	0.3052
32	360	0.4220	6.0626	0.6557	0.6930	0.3298
33	390	0.4572	5.7833	0.6330	0.6610	0.3536
34	420	0.4924	5.7269	0.6112	0.6546	0.3767
35	450	0.5276	5.2815	0.5900	0.6037	0.3988
36	480	0.5627	5.1538	0.5697	0.5891	0.4198
37	510	0.5979	5.0099	0.5500	0.5726	0.4402
38	540	0.6331	4.9471	0.5310	0.5655	0.4603
39	570	0.6682	4.8433	0.5126	0.5536	0.4799
40	600	0.7034	4.5847	0.4949	0.5240	0.4989

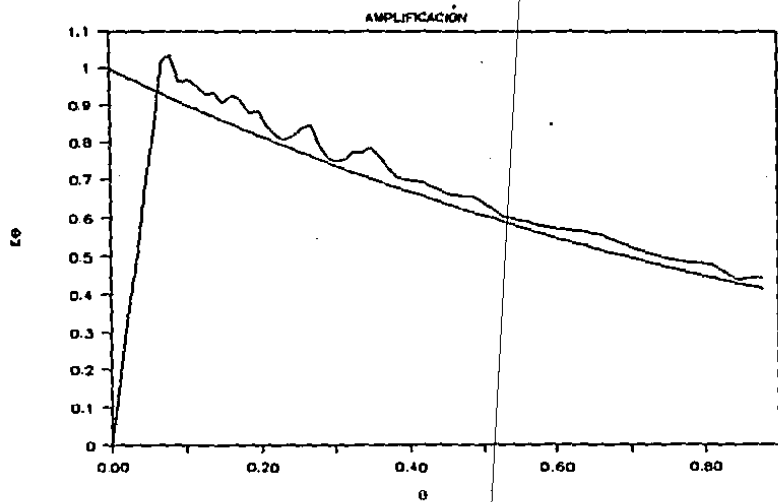
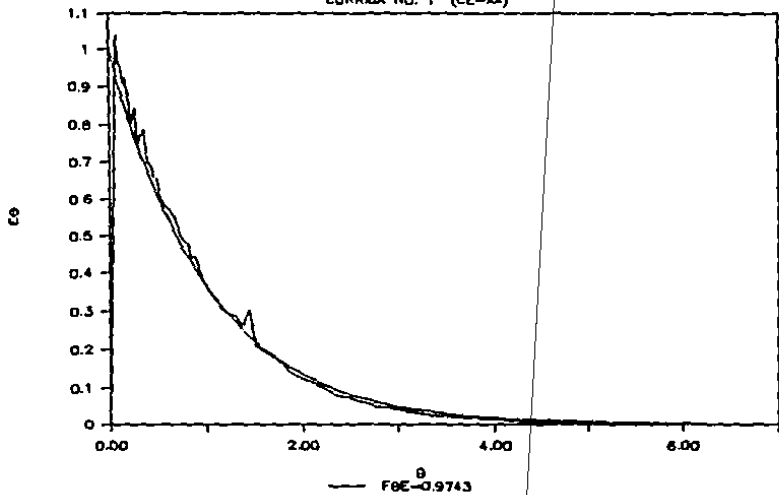
T A B L A III - 1A

CORRIDA NO. 1
(CE-AA)

CONTINUACIÓN

N	t	O	C	EOT	E6E	F6E
41	630	0.7386	4.3856	0.4778	0.5013	0.5169
42	660	0.7738	4.2392	0.4613	0.4845	0.5343
43	690	0.8089	4.1840	0.4453	0.4782	0.5512
44	720	0.8441	3.8673	0.4299	0.4420	0.5674
45	750	0.8793	3.8863	0.4151	0.4442	0.5830
46	810	0.9496	3.4904	0.3869	0.3990	0.6126
47	870	1.0199	3.1248	0.3606	0.3572	0.6392
48	930	1.0903	2.9136	0.3361	0.3330	0.6635
49	990	1.1606	2.6983	0.3133	0.3084	0.6860
50	1050	1.2310	2.5610	0.2920	0.2927	0.7072
51	1110	1.3013	2.5196	0.2722	0.2880	0.7276
52	1170	1.3717	2.2796	0.2537	0.2606	0.7469
53	1230	1.4420	2.6617	0.2365	0.3042	0.7668
54	1290	1.5123	1.8228	0.2204	0.2083	0.7848
55	1350	1.5827	1.7589	0.2054	0.2010	0.7992
56	1410	1.6530	1.6249	0.1915	0.1857	0.8128
57	1470	1.7234	1.5372	0.1785	0.1757	0.8255
58	1530	1.7937	1.4383	0.1663	0.1644	0.8375
59	1590	1.8640	1.2579	0.1550	0.1438	0.8483
60	1650	1.9344	1.1354	0.1445	0.1298	0.8579
61	1770	2.0751	1.0106	0.1255	0.1155	0.8752
62	1890	2.2157	0.8899	0.1091	0.1017	0.8905
63	2010	2.3564	0.7102	0.0948	0.0812	0.9033
64	2130	2.4971	0.6413	0.0823	0.0733	0.9142
65	2250	2.6378	0.5392	0.0715	0.0616	0.9237
66	2370	2.7785	0.4255	0.0621	0.0486	0.9314
67	2490	2.9192	0.4031	0.0540	0.0461	0.9381
68	2610	3.0598	0.3402	0.0469	0.0389	0.9441
69	2730	3.2005	0.2853	0.0407	0.0326	0.9491
70	2850	3.3412	0.2271	0.0354	0.0260	0.9532
71	3090	3.6226	0.1973	0.0267	0.0225	0.9600
72	3330	3.9039	0.1486	0.0202	0.0170	0.9656
73	3570	4.1853	0.0804	0.0152	0.0092	0.9693
74	3810	4.4667	0.0403	0.0115	0.0046	0.9712
75	4050	4.7480	0.0403	0.0087	0.0046	0.9725
76	4290	5.0294	0.0277	0.0065	0.0032	0.9736
77	4530	5.3108	0.0028	0.0049	0.0003	0.9741
78	4770	5.5921	0.0028	0.0037	0.0003	0.9742
79	5010	5.8735	0.0014	0.0028	0.0002	0.9743
80	5250	6.1549	0.0000	0.0021	0.0000	0.9743

GRÁFICA III-1A
CORRIDA NO. 1 (CE-AA)



T A B L A III - 1B

CORRIDA NO. 1
(CE-AA)

M	t	B	C	EGT	EGE	FGE
0	0	0.0000	0.0000	1.0000	0.0000	0.0000
1	10	0.0117	1.4325	0.9883	0.1668	0.0010
2	20	0.0234	3.0485	0.9768	0.3550	0.0040
3	30	0.0352	4.3456	0.9654	0.5060	0.0091
4	40	0.0469	6.0239	0.9542	0.7013	0.0162
5	50	0.0586	7.1886	0.9431	0.8371	0.0252
6	60	0.0703	8.8794	0.9321	1.0343	0.0361
7	70	0.0821	9.0846	0.9212	1.0583	0.0484
8	80	0.0938	8.4215	0.9105	0.9810	0.0604
9	90	0.1055	8.4974	0.8999	0.9898	0.0719
10	100	0.1172	8.3292	0.8894	0.9702	0.0834
11	110	0.1290	8.1453	0.8790	0.9488	0.0947
12	120	0.1407	8.1532	0.8688	0.9497	0.1058
13	130	0.1524	7.9447	0.8586	0.9254	0.1168
14	140	0.1641	8.1113	0.8486	0.9448	0.1277
15	150	0.1759	8.0146	0.8387	0.9335	0.1388
16	160	0.1876	7.6765	0.8290	0.8942	0.1495
17	170	0.1993	7.7480	0.8193	0.9026	0.1600
18	180	0.2110	7.3682	0.8098	0.8584	0.1703
19	190	0.2227	7.1586	0.8003	0.8338	0.1802
20	200	0.2345	7.0539	0.7910	0.8217	0.1899
21	210	0.2462	7.1452	0.7818	0.8323	0.1996
22	220	0.2579	7.3337	0.7727	0.8543	0.2095
23	230	0.2696	7.4020	0.7637	0.8622	0.2196
24	240	0.2814	6.9343	0.7548	0.8077	0.2294
25	250	0.2931	6.6447	0.7460	0.7739	0.2386
26	260	0.3048	6.5498	0.7373	0.7628	0.2477
27	270	0.3165	6.5954	0.7287	0.7682	0.2566
28	280	0.3283	6.7711	0.7202	0.7887	0.2658
29	290	0.3400	6.7458	0.7118	0.7858	0.2750
30	300	0.3517	6.8925	0.7035	0.8029	0.2843
31	330	0.3869	6.1574	0.6792	0.7172	0.3110
32	360	0.4220	6.0626	0.6557	0.7042	0.3361
33	390	0.4572	5.7833	0.6330	0.6737	0.3603
34	420	0.4924	5.7269	0.6112	0.6671	0.3839
35	450	0.5276	5.2815	0.5900	0.6152	0.4065
36	480	0.5627	5.1538	0.5697	0.6003	0.4278
37	510	0.5979	5.0099	0.5500	0.5836	0.4486
38	540	0.6331	4.9471	0.5310	0.5762	0.4690
39	570	0.6682	4.8433	0.5126	0.5641	0.4891
40	600	0.7034	4.5847	0.4949	0.5340	0.5084

T A B L A III - 1B

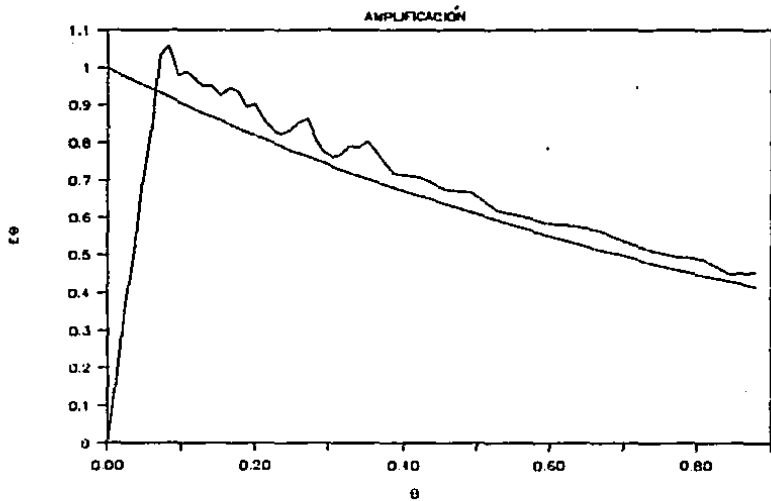
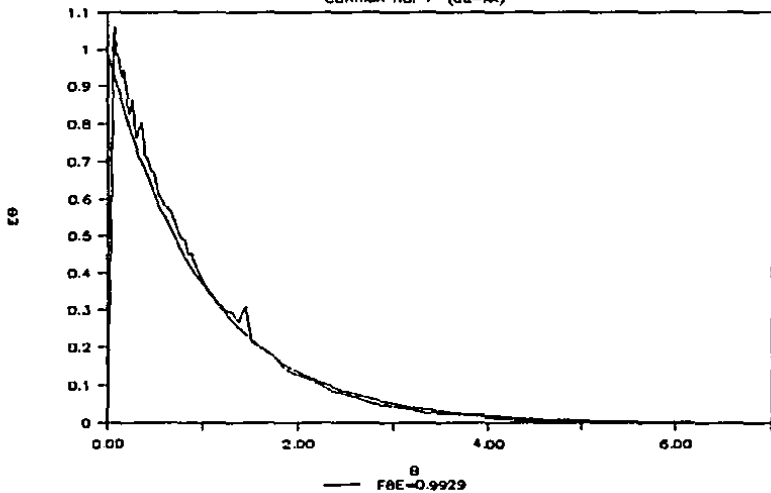
CORRIDA NO. 1
(CE-AA)

CONTINUACION

N	L	B	C	EOT	EBE	FBE
41	430	0.7384	4.3856	0.4778	0.5109	0.5268
42	660	0.7738	4.2392	0.4613	0.4939	0.5445
43	690	0.8089	4.1840	0.4453	0.4874	0.5617
44	720	0.8441	3.8673	0.4299	0.4505	0.5782
45	750	0.8793	3.8863	0.4151	0.4527	0.5941
46	810	0.9496	3.4904	0.3869	0.4065	0.6243
47	870	1.0199	3.1248	0.3606	0.3640	0.6514
48	930	1.0903	2.9136	0.3361	0.3393	0.6761
49	990	1.1606	2.6983	0.3133	0.3143	0.6991
50	1050	1.2310	2.5610	0.2920	0.2983	0.7207
51	1110	1.3013	2.5196	0.2722	0.2935	0.7415
52	1170	1.3717	2.2794	0.2537	0.2655	0.7611
53	1230	1.4420	2.6617	0.2365	0.3100	0.7814
54	1290	1.5123	1.8228	0.2204	0.2123	0.7998
55	1350	1.5827	1.7589	0.2054	0.2049	0.8144
56	1410	1.6530	1.6249	0.1915	0.1893	0.8283
57	1470	1.7234	1.5372	0.1785	0.1791	0.8412
58	1530	1.7937	1.4383	0.1663	0.1675	0.8534
59	1590	1.8640	1.2579	0.1550	0.1465	0.8645
60	1650	1.9344	1.1354	0.1445	0.1323	0.8743
61	1770	2.0751	1.0106	0.1255	0.1177	0.8919
62	1890	2.2157	0.8899	0.1091	0.1036	0.9074
63	2010	2.3564	0.7102	0.0948	0.0827	0.9205
64	2130	2.4971	0.6413	0.0823	0.0747	0.9316
65	2250	2.6378	0.5392	0.0715	0.0628	0.9413
66	2370	2.7785	0.4255	0.0621	0.0496	0.9492
67	2490	2.9192	0.4031	0.0540	0.0470	0.9560
68	2610	3.0598	0.3402	0.0469	0.0396	0.9621
69	2730	3.2005	0.2853	0.0407	0.0332	0.9672
70	2850	3.3412	0.2271	0.0354	0.0265	0.9714
71	3090	3.6226	0.1973	0.0267	0.0230	0.9784
72	3330	3.9039	0.1486	0.0202	0.0173	0.9840
73	3570	4.1853	0.0806	0.0152	0.0094	0.9878
74	3810	4.4667	0.0403	0.0115	0.0047	0.9898
75	4050	4.7480	0.0403	0.0087	0.0047	0.9911
76	4290	5.0294	0.0277	0.0065	0.0032	0.9922
77	4530	5.3108	0.0028	0.0049	0.0003	0.9927
78	4770	5.5921	0.0028	0.0037	0.0003	0.9928
79	5010	5.8735	0.0014	0.0028	0.0002	0.9929
80	5250	6.1549	0.0000	0.0021	0.0000	0.9929

GRÁFICA III-1B

CORRIDA NO. 1 (CE-AA)



T A B L A III - 2A

CORRIDA NO. 2
(M-AA)

M	t	B	C	EGT	EGE	F8E
0	0	0.0000	0.0000	1.0000	0.0000	0.0000
1	10	0.0117	1.1752	0.9883	0.1343	0.0008
2	20	0.0234	3.1230	0.9768	0.3570	0.0037
3	30	0.0352	4.8663	0.9654	0.5562	0.0090
4	40	0.0469	7.0803	0.9542	0.8093	0.0170
5	50	0.0586	8.5986	0.9431	0.9828	0.0275
6	60	0.0703	8.2300	0.9321	0.9407	0.0388
7	70	0.0821	8.4922	0.9212	0.9707	0.0500
8	80	0.0938	7.6900	0.9105	0.8790	0.0609
9	90	0.1055	8.2538	0.8999	0.9434	0.0715
10	100	0.1172	7.7496	0.8894	0.8858	0.0823
11	110	0.1290	7.9380	0.8790	0.9073	0.0928
12	120	0.1407	7.7090	0.8688	0.8811	0.1032
13	130	0.1524	7.6112	0.8586	0.8700	0.1135
14	140	0.1641	7.6737	0.8484	0.8771	0.1238
15	150	0.1759	7.5737	0.8387	0.8657	0.1340
16	160	0.1876	7.3706	0.8290	0.8425	0.1440
17	170	0.1993	7.3855	0.8193	0.8442	0.1539
18	180	0.2110	7.3345	0.8098	0.8383	0.1637
19	190	0.2227	7.2279	0.8003	0.8261	0.1735
20	200	0.2345	6.8695	0.7910	0.7852	0.1829
21	210	0.2462	7.0403	0.7818	0.8047	0.1923
22	220	0.2579	6.9146	0.7727	0.7903	0.2016
23	230	0.2696	7.1158	0.7637	0.8133	0.2110
24	240	0.2814	6.9782	0.7548	0.7976	0.2204
25	250	0.2931	6.6232	0.7460	0.7570	0.2296
26	260	0.3048	6.5662	0.7373	0.7505	0.2384
27	270	0.3165	6.6393	0.7287	0.7589	0.2472
28	280	0.3283	6.4813	0.7202	0.7408	0.2560
29	290	0.3400	6.0801	0.7118	0.6950	0.2645
30	300	0.3517	6.5493	0.7035	0.7486	0.2729
31	330	0.3869	6.1308	0.6792	0.7007	0.2984
32	360	0.4220	5.4950	0.6557	0.6281	0.3218
33	390	0.4572	5.4024	0.6330	0.6175	0.3437
34	420	0.4924	5.5905	0.6112	0.6390	0.3658
35	450	0.5276	5.2039	0.5900	0.5948	0.3875
36	480	0.5627	4.8432	0.5697	0.5536	0.4077
37	510	0.5979	4.9533	0.5500	0.5662	0.4273
38	540	0.6331	5.1137	0.5310	0.5845	0.4476
39	570	0.6682	4.3784	0.5126	0.5004	0.4667
40	600	0.7034	4.2584	0.4949	0.4867	0.4840

T A B L A III - 2A

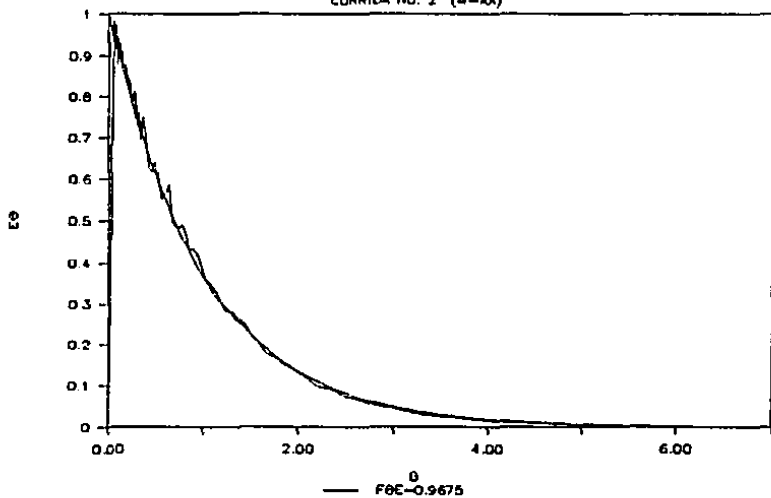
CORRIDA NO. 2
(M-AA)

CONTINUACIÓN

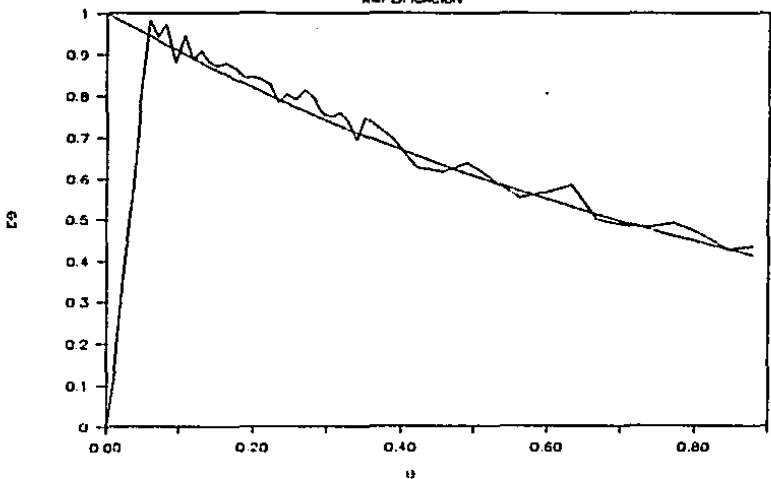
N	t	B	C	EBT	EBE	FBE
41	630	0.7386	4.2196	0.4778	0.4823	0.5011
42	660	0.7738	4.2921	0.4613	0.4906	0.5182
43	690	0.8089	4.0763	0.4453	0.4659	0.5350
44	720	0.8441	3.7471	0.4299	0.4283	0.5507
45	750	0.8793	3.8080	0.4151	0.4353	0.5659
46	810	0.9496	3.6439	0.3869	0.4165	0.5959
47	870	1.0199	3.1630	0.3606	0.3615	0.6232
48	930	1.0903	3.0468	0.3361	0.3483	0.6482
49	990	1.1606	2.8292	0.3133	0.3234	0.6718
50	1050	1.2310	2.4667	0.2920	0.2819	0.6931
51	1110	1.3013	2.4507	0.2722	0.2801	0.7129
52	1170	1.3717	2.2808	0.2537	0.2607	0.7319
53	1230	1.4420	2.1347	0.2365	0.2440	0.7496
54	1290	1.5123	1.9065	0.2204	0.2179	0.7659
55	1350	1.5827	1.7971	0.2054	0.2054	0.7808
56	1410	1.6530	1.5768	0.1915	0.1802	0.7943
57	1470	1.7234	1.4889	0.1785	0.1702	0.8067
58	1530	1.7937	1.4491	0.1663	0.1656	0.8185
59	1590	1.8640	1.3295	0.1550	0.1520	0.8296
60	1650	1.9344	1.2424	0.1445	0.1420	0.8400
61	1770	2.0751	1.0539	0.1255	0.1205	0.8584
62	1890	2.2157	0.8497	0.1091	0.0971	0.8737
63	2010	2.3564	0.7914	0.0948	0.0905	0.8869
64	2130	2.4971	0.6571	0.0823	0.0751	0.8986
65	2250	2.6378	0.5832	0.0715	0.0667	0.9086
66	2370	2.7785	0.4855	0.0621	0.0555	0.9172
67	2490	2.9192	0.4118	0.0540	0.0471	0.9244
68	2610	3.0598	0.3650	0.0469	0.0417	0.9306
69	2730	3.2005	0.3068	0.0407	0.0351	0.9360
70	2850	3.3412	0.2562	0.0354	0.0293	0.9405
71	3090	3.6226	0.2000	0.0267	0.0229	0.9479
72	3330	3.9039	0.1500	0.0202	0.0171	0.9535
73	3570	4.1853	0.0972	0.0152	0.0111	0.9575
74	3810	4.4667	0.0806	0.0115	0.0092	0.9603
75	4050	4.7480	0.0625	0.0087	0.0071	0.9626
76	4290	5.0294	0.0430	0.0065	0.0049	0.9643
77	4530	5.3108	0.0320	0.0049	0.0037	0.9655
78	4770	5.5921	0.0208	0.0037	0.0024	0.9664
79	5010	5.8735	0.0222	0.0028	0.0025	0.9671
80	5250	6.1549	0.0028	0.0021	0.0003	0.9675

GRÁFICA III-2A

CORRIDA NO. 2 (M-AA)



AMPLIFICACIÓN



T A B L A III - 2B

CORRIDA NO. 2
(M-AA)

M	L	B	C	EOT	E8E	F8E
0	0	0.0000	0.0000	1.0000	0.0000	0.0000
1	10	0.0117	1.1752	0.9883	0.1374	0.0008
2	20	0.0234	3.1230	0.9768	0.3652	0.0038
3	30	0.0352	4.8643	0.9654	0.5691	0.0092
4	40	0.0469	7.0803	0.9542	0.8282	0.0174
5	50	0.0586	8.5986	0.9431	1.0059	0.0282
6	60	0.0703	8.2300	0.9321	0.9629	0.0397
7	70	0.0821	8.4922	0.9212	0.9935	0.0512
8	80	0.0938	7.6900	0.9105	0.8996	0.0623
9	90	0.1055	8.2538	0.8999	0.9655	0.0732
10	100	0.1172	7.7496	0.8894	0.9066	0.0842
11	110	0.1290	7.9380	0.8790	0.9287	0.0949
12	120	0.1407	7.7090	0.8688	0.9019	0.1057
13	130	0.1524	7.6112	0.8586	0.8904	0.1162
14	140	0.1641	7.6737	0.8486	0.8979	0.1267
15	150	0.1759	7.5737	0.8387	0.8861	0.1371
16	160	0.1876	7.3706	0.8290	0.8623	0.1474
17	170	0.1993	7.3855	0.8193	0.8639	0.1575
18	180	0.2110	7.3345	0.8098	0.8581	0.1674
19	190	0.2227	7.2279	0.8003	0.8457	0.1776
20	200	0.2345	6.8695	0.7910	0.8037	0.1872
21	210	0.2462	7.0403	0.7818	0.8236	0.1968
22	220	0.2579	6.9146	0.7727	0.8089	0.2063
23	230	0.2696	7.1158	0.7637	0.8325	0.2160
24	240	0.2814	6.9782	0.7548	0.8165	0.2256
25	250	0.2931	6.6232	0.7460	0.7749	0.2350
26	260	0.3048	6.5642	0.7373	0.7682	0.2440
27	270	0.3165	6.6393	0.7287	0.7768	0.2531
28	280	0.3283	6.4813	0.7202	0.7583	0.2621
29	290	0.3400	6.0801	0.7118	0.7113	0.2707
30	300	0.3517	6.5493	0.7035	0.7662	0.2793
31	330	0.3869	6.1308	0.6792	0.7172	0.3054
32	360	0.4220	5.4950	0.6557	0.6429	0.3293
33	390	0.4572	5.4024	0.6330	0.6320	0.3518
34	420	0.4924	5.5905	0.6112	0.6539	0.3744
35	450	0.5276	5.2039	0.5900	0.6088	0.3966
36	480	0.5627	4.8432	0.5697	0.5667	0.4172
37	510	0.5979	4.9533	0.5500	0.5795	0.4374
38	540	0.6331	5.1137	0.5310	0.5983	0.4581
39	570	0.6682	4.3784	0.5126	0.5122	0.4776
40	600	0.7034	4.2584	0.4949	0.4982	0.4954

T A B L A III - 2B

CORRIDA NO. 2
(M-AA)

CONTINUACIÓN

N	t	B	C	EBT	EQE	FQE
41	630	0.7386	4.2196	0.4778	0.4937	0.5128
42	660	0.7738	4.2921	0.4613	0.5020	0.5304
43	690	0.8089	4.0763	0.4453	0.4769	0.5476
44	720	0.8441	3.7471	0.4299	0.4384	0.5637
45	750	0.8793	3.8080	0.4151	0.4455	0.5792
46	810	0.9496	3.6439	0.3869	0.4264	0.6099
47	870	1.0199	3.1630	0.3606	0.3700	0.6379
48	930	1.0903	3.0468	0.3361	0.3565	0.6634
49	990	1.1606	2.8292	0.3133	0.3310	0.6876
50	1050	1.2310	2.4667	0.2920	0.2886	0.7094
51	1110	1.3013	2.4507	0.2722	0.2867	0.7296
52	1170	1.3717	2.2808	0.2537	0.2669	0.7491
53	1230	1.4420	2.1347	0.2365	0.2497	0.7673
54	1290	1.5123	1.9065	0.2204	0.2230	0.7839
55	1350	1.5827	1.7971	0.2054	0.2102	0.7991
56	1410	1.6530	1.5768	0.1915	0.1845	0.8130
57	1470	1.7234	1.4889	0.1785	0.1742	0.8256
58	1530	1.7937	1.4491	0.1663	0.1695	0.8377
59	1590	1.8640	1.3295	0.1550	0.1555	0.8492
60	1650	1.9344	1.2424	0.1445	0.1453	0.8597
61	1770	2.0751	1.0539	0.1255	0.1233	0.8786
62	1890	2.2157	0.8497	0.1091	0.0994	0.8943
63	2010	2.3564	0.7914	0.0948	0.0926	0.9078
64	2130	2.4971	0.6571	0.0823	0.0769	0.9197
65	2250	2.6378	0.5832	0.0715	0.0682	0.9299
66	2370	2.7785	0.4855	0.0621	0.0568	0.9387
67	2490	2.9192	0.4118	0.0540	0.0482	0.9461
68	2610	3.0598	0.3650	0.0469	0.0427	0.9525
69	2730	3.2005	0.3068	0.0407	0.0359	0.9580
70	2850	3.3412	0.2562	0.0354	0.0300	0.9627
71	3090	3.6226	0.2000	0.0267	0.0234	0.9702
72	3330	3.9039	0.1500	0.0202	0.0175	0.9759
73	3570	4.1853	0.0972	0.0152	0.0114	0.9800
74	3810	4.4667	0.0806	0.0115	0.0094	0.9829
75	4050	4.7480	0.0625	0.0087	0.0073	0.9853
76	4290	5.0294	0.0430	0.0065	0.0050	0.9870
77	4530	5.3108	0.0320	0.0049	0.0037	0.9882
78	4770	5.5921	0.0208	0.0037	0.0024	0.9891
79	5010	5.8735	0.0222	0.0028	0.0026	0.9898
80	5250	6.1549	0.0028	0.0021	0.0003	0.9902

T A B L A III - 3A

CORRIDA NO. 3
(P-AA)

M	t	D	C	EST	EBE	FBE
0	0	0.0000	0.0000	1.0000	0.0000	0.0000
1	10	0.0117	2.4635	0.9883	0.2816	0.0017
2	20	0.0234	4.4352	0.9768	0.5069	0.0063
3	30	0.0352	5.7303	0.9654	0.6550	0.0131
4	40	0.0469	6.0979	0.9542	0.6970	0.0210
5	50	0.0586	6.3679	0.9431	0.7279	0.0294
6	60	0.0703	6.6102	0.9321	0.7784	0.0382
7	70	0.0821	7.6646	0.9212	0.8761	0.0479
8	80	0.0938	8.6372	0.9105	0.9872	0.0588
9	90	0.1055	8.0043	0.8999	0.9149	0.0700
10	100	0.1172	8.2481	0.8894	0.9428	0.0808
11	110	0.1290	8.0136	0.8790	0.9160	0.0917
12	120	0.1407	8.1465	0.8688	0.9312	0.1026
13	130	0.1524	7.8308	0.8586	0.8951	0.1133
14	140	0.1641	7.3377	0.8486	0.8387	0.1234
15	150	0.1759	7.6919	0.8387	0.8792	0.1335
16	160	0.1876	7.5978	0.8290	0.8684	0.1438
17	170	0.1993	7.4021	0.8193	0.8461	0.1538
18	180	0.2110	7.1099	0.8098	0.8127	0.1635
19	190	0.2227	7.2576	0.8003	0.8295	0.1732
20	200	0.2345	7.2101	0.7910	0.8241	0.1828
21	210	0.2462	7.2474	0.7818	0.8284	0.1925
22	220	0.2579	6.9422	0.7727	0.7935	0.2020
23	230	0.2696	7.1452	0.7637	0.8167	0.2115
24	240	0.2814	6.8824	0.7548	0.7867	0.2209
25	250	0.2931	6.7146	0.7460	0.7675	0.2300
26	260	0.3048	6.7947	0.7373	0.7766	0.2390
27	270	0.3165	6.3863	0.7287	0.7299	0.2479
28	280	0.3283	6.2811	0.7202	0.7179	0.2564
29	290	0.3400	6.4976	0.7118	0.7427	0.2649
30	300	0.3517	6.5268	0.7035	0.7460	0.2736
31	330	0.3869	6.3874	0.6792	0.7301	0.2996
32	360	0.4220	5.7635	0.6557	0.6588	0.3240
33	390	0.4572	5.8460	0.6330	0.6682	0.3474
34	420	0.4924	5.5095	0.6112	0.6297	0.3702
35	450	0.5276	5.1225	0.5900	0.5855	0.3916
36	480	0.5627	5.0424	0.5697	0.5763	0.4120
37	510	0.5979	5.0511	0.5500	0.5773	0.4323
38	540	0.6331	4.8186	0.5310	0.5508	0.4521
39	570	0.6682	4.6720	0.5126	0.5340	0.4712
40	600	0.7034	4.3475	0.4949	0.4969	0.4893

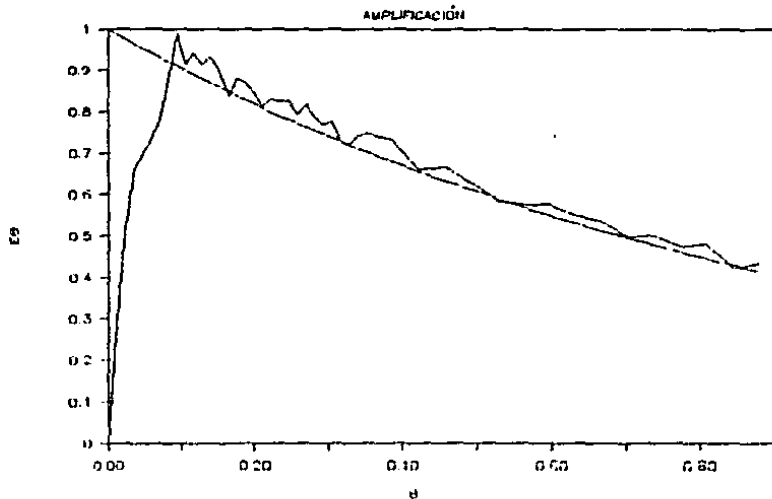
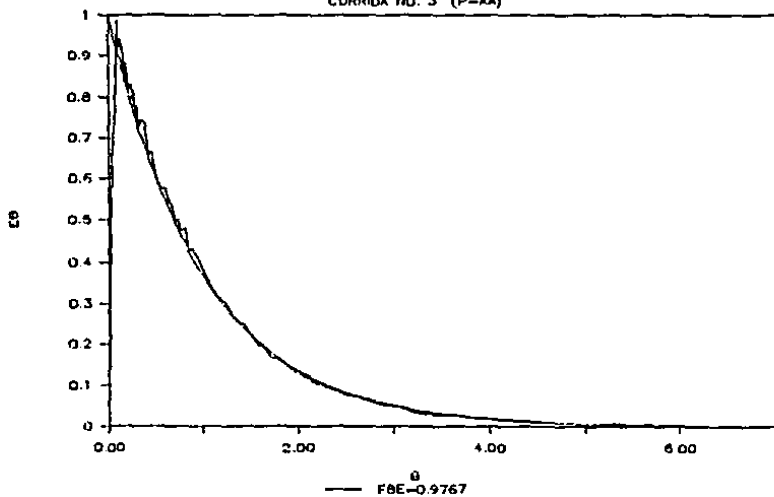
T A B L A I I I - 3 A

CORRIDA NO. 3
(P-AA)

CONTINUACIÓN

N	t	θ	C	EθT	EθE	FθE
41	630	0.7386	4.3755	0.4778	0.5001	0.5069
42	660	0.7738	4.1487	0.4613	0.4742	0.5240
43	690	0.8089	4.1868	0.4453	0.4786	0.5407
44	720	0.8441	3.6867	0.4299	0.4214	0.5566
45	750	0.8793	3.7996	0.4151	0.4343	0.5716
46	810	0.9496	3.6024	0.3869	0.4118	0.6014
47	870	1.0199	3.2367	0.3606	0.3700	0.6289
48	930	1.0903	2.9659	0.3361	0.3390	0.6538
49	990	1.1606	2.7733	0.3133	0.3170	0.6769
50	1050	1.2310	2.6472	0.2920	0.3026	0.6987
51	1110	1.3013	2.3913	0.2722	0.2733	0.7189
52	1170	1.3717	2.2447	0.2537	0.2566	0.7375
53	1230	1.4420	2.1511	0.2365	0.2459	0.7552
54	1290	1.5123	1.8731	0.2204	0.2141	0.7714
55	1350	1.5827	1.7237	0.2054	0.1970	0.7859
56	1410	1.6530	1.6443	0.1915	0.1879	0.7994
57	1470	1.7234	1.4563	0.1785	0.1665	0.8119
58	1530	1.7937	1.4264	0.1663	0.1630	0.8234
59	1590	1.8640	1.3255	0.1550	0.1515	0.8345
60	1650	1.9344	1.2104	0.1445	0.1384	0.8447
61	1770	2.0751	1.0374	0.1255	0.1186	0.8628
62	1890	2.2157	0.8894	0.1091	0.1017	0.8783
63	2010	2.3564	0.7966	0.0948	0.0911	0.8918
64	2130	2.4971	0.6670	0.0823	0.0762	0.9036
65	2250	2.6378	0.5982	0.0715	0.0684	0.9138
66	2370	2.7785	0.4933	0.0621	0.0564	0.9225
67	2490	2.9192	0.4320	0.0540	0.0494	0.9300
68	2610	3.0598	0.3868	0.0469	0.0442	0.9366
69	2730	3.2005	0.3103	0.0407	0.0355	0.9422
70	2850	3.3412	0.2578	0.0354	0.0295	0.9467
71	3090	3.6226	0.2208	0.0267	0.0252	0.9544
72	3330	3.9039	0.1681	0.0202	0.0192	0.9607
73	3570	4.1853	0.1125	0.0152	0.0129	0.9652
74	3810	4.4667	0.0792	0.0115	0.0090	0.9683
75	4050	4.7480	0.0666	0.0087	0.0076	0.9706
76	4290	5.0294	0.0527	0.0065	0.0060	0.9725
77	4530	5.3108	0.0389	0.0049	0.0044	0.9740
78	4770	5.5921	0.0278	0.0037	0.0032	0.9751
79	5010	5.8735	0.0236	0.0028	0.0027	0.9759
80	5250	6.1549	0.0236	0.0021	0.0027	0.9767

GRÁFICA III-3A
CORRIDA NO. 3 (P-AA)



T A B L A III - 3B

CORRIDA NO. 3
(P-AA)

N	t	B	C	EBT	EBE	FBE
0	0	0.0000	0.0000	1.0000	0.0000	0.0000
1	10	0.0117	2.4635	0.9883	0.2870	0.0017
2	20	0.0234	4.4332	0.9768	0.5163	0.0064
3	30	0.0352	5.7303	0.9654	0.6673	0.0133
4	40	0.0469	6.0979	0.9542	0.7095	0.0214
5	50	0.0586	6.3679	0.9431	0.7406	0.0299
6	60	0.0703	6.8102	0.9321	0.7915	0.0389
7	70	0.0821	7.6646	0.9212	0.8900	0.0487
8	80	0.0938	8.6372	0.9105	1.0023	0.0598
9	90	0.1055	8.0043	0.8999	0.9269	0.0711
10	100	0.1172	8.2481	0.8894	0.9570	0.0822
11	110	0.1290	8.0136	0.8790	0.9299	0.0933
12	120	0.1407	8.1465	0.8688	0.9450	0.1043
13	130	0.1524	7.8308	0.8586	0.9087	0.1151
14	140	0.1641	7.3377	0.8486	0.8512	0.1254
15	150	0.1759	7.6919	0.8387	0.8923	0.1357
16	160	0.1876	7.5978	0.8290	0.8814	0.1461
17	170	0.1993	7.4021	0.8193	0.8591	0.1563
18	180	0.2110	7.1099	0.8098	0.8252	0.1661
19	190	0.2227	7.2576	0.8003	0.8421	0.1759
20	200	0.2345	7.2101	0.7910	0.8365	0.1857
21	210	0.2462	7.2474	0.7818	0.8409	0.1956
22	220	0.2579	6.9422	0.7727	0.8055	0.2052
23	230	0.2696	7.1452	0.7637	0.8289	0.2148
24	240	0.2814	6.8824	0.7548	0.7983	0.2243
25	250	0.2931	6.7146	0.7460	0.7791	0.2336
26	260	0.3048	6.7947	0.7373	0.7885	0.2428
27	270	0.3165	6.3863	0.7287	0.7410	0.2517
28	280	0.3283	6.2811	0.7202	0.7286	0.2604
29	290	0.3400	6.4976	0.7118	0.7540	0.2690
30	300	0.3517	6.5268	0.7035	0.7573	0.2779
31	330	0.3869	6.3874	0.6792	0.7410	0.3043
32	360	0.4220	5.7635	0.6557	0.6688	0.3290
33	390	0.4572	5.8460	0.6330	0.6784	0.3527
34	420	0.4924	5.5095	0.6112	0.6394	0.3759
35	450	0.5276	5.1225	0.5900	0.5946	0.3976
36	480	0.5627	5.0424	0.5697	0.5849	0.4184
37	510	0.5979	5.0511	0.5500	0.5861	0.4389
38	540	0.6331	4.8186	0.5310	0.5590	0.4591
39	570	0.6682	4.6720	0.5126	0.5422	0.4785
40	600	0.7034	4.3475	0.4949	0.5043	0.4969

T A B L A III - 3B

CORRIDA NO. 3
(P-AA)

CONTINUACION

M	t	g	C	EBT	ESE	FOE
41	630	0.7386	4.3755	0.4778	0.5077	0.5147
42	660	0.7738	4.1487	0.4613	0.4814	0.5320
43	690	0.8089	4.1868	0.4453	0.4858	0.5491
44	720	0.8441	3.6867	0.4299	0.4277	0.5651
45	750	0.8793	3.7996	0.4151	0.4409	0.5804
46	810	0.9496	3.6024	0.3869	0.4178	0.6106
47	870	1.0199	3.2367	0.3606	0.3754	0.6385
48	930	1.0903	2.9659	0.3361	0.3440	0.6638
49	990	1.1606	2.7733	0.3133	0.3218	0.6872
50	1050	1.2310	2.6472	0.2920	0.3070	0.7093
51	1110	1.3013	2.3913	0.2722	0.2774	0.7299
52	1170	1.3717	2.2447	0.2537	0.2603	0.7488
53	1230	1.4420	2.1511	0.2365	0.2496	0.7667
54	1290	1.5123	1.8731	0.2204	0.2173	0.7831
55	1350	1.5827	1.7237	0.2054	0.2000	0.7978
56	1410	1.6530	1.6443	0.1915	0.1908	0.8116
57	1470	1.7234	1.4563	0.1785	0.1690	0.8242
58	1530	1.7937	1.4264	0.1663	0.1654	0.8360
59	1590	1.8640	1.3255	0.1550	0.1538	0.8472
60	1650	1.9344	1.2104	0.1445	0.1405	0.8575
61	1770	2.0751	1.0374	0.1255	0.1203	0.8759
62	1890	2.2157	0.8894	0.1091	0.1032	0.8916
63	2010	2.3564	0.7966	0.0948	0.0924	0.9054
64	2130	2.4971	0.6670	0.0823	0.0774	0.9173
65	2250	2.6378	0.5982	0.0715	0.0694	0.9276
66	2370	2.7785	0.4933	0.0621	0.0572	0.9366
67	2490	2.9192	0.4320	0.0540	0.0501	0.9441
68	2610	3.0598	0.3868	0.0469	0.0449	0.9508
69	2730	3.2005	0.3103	0.0407	0.0360	0.9565
70	2850	3.3412	0.2578	0.0354	0.0299	0.9611
71	3090	3.6226	0.2208	0.0267	0.0256	0.9689
72	3330	3.9039	0.1681	0.0202	0.0195	0.9753
73	3570	4.1853	0.1125	0.0152	0.0131	0.9798
74	3810	4.4667	0.0792	0.0115	0.0092	0.9830
75	4050	4.7480	0.0666	0.0087	0.0077	0.9854
76	4290	5.0294	0.0527	0.0065	0.0061	0.9873
77	4530	5.3108	0.0389	0.0049	0.0045	0.9888
78	4770	5.5921	0.0278	0.0037	0.0032	0.9899
79	5010	5.8735	0.0236	0.0028	0.0027	0.9907
80	5250	6.1549	0.0236	0.0021	0.0027	0.9915

T A B L A III - 4A

CORRIDA NO. 4
(CE-SL)

N	t	B	C	EDT	E0E	F0E
0	0	0.0000	0.0000	1.0000	0.0000	0.0000
1	10	0.0117	1.5167	0.9883	0.1734	0.0010
2	20	0.0234	1.9506	0.9768	0.2230	0.0033
3	30	0.0352	2.9756	0.9654	0.3401	0.0066
4	40	0.0469	4.2185	0.9542	0.4822	0.0115
5	50	0.0586	7.9097	0.9431	0.9041	0.0196
6	60	0.0703	8.8967	0.9321	1.0169	0.0308
7	70	0.0821	7.9871	0.9212	0.9129	0.0422
8	80	0.0938	8.4378	0.9105	0.9644	0.0532
9	90	0.1055	8.1740	0.8999	0.9343	0.0643
10	100	0.1172	8.5562	0.8894	0.9780	0.0755
11	110	0.1290	8.1284	0.8790	0.9291	0.0867
12	120	0.1407	7.4394	0.8688	0.8503	0.0971
13	130	0.1524	7.7529	0.8586	0.8862	0.1073
14	140	0.1641	7.7333	0.8486	0.8839	0.1177
15	150	0.1759	7.6540	0.8387	0.8749	0.1280
16	160	0.1876	7.4414	0.8290	0.8505	0.1381
17	170	0.1993	7.3600	0.8193	0.8412	0.1480
18	180	0.2110	7.4092	0.8098	0.8469	0.1579
19	190	0.2227	7.3126	0.8003	0.8358	0.1678
20	200	0.2345	7.2355	0.7910	0.8270	0.1775
21	210	0.2462	7.2520	0.7818	0.8289	0.1872
22	220	0.2579	6.9676	0.7727	0.7964	0.1967
23	230	0.2696	6.7181	0.7637	0.7679	0.2059
24	240	0.2814	7.0819	0.7548	0.8095	0.2152
25	250	0.2931	6.7630	0.7460	0.7730	0.2244
26	260	0.3048	6.5118	0.7373	0.7443	0.2333
27	270	0.3165	6.7001	0.7287	0.7658	0.2422
28	280	0.3283	6.6300	0.7202	0.7578	0.2511
29	290	0.3400	6.5494	0.7118	0.7486	0.2599
30	300	0.3517	6.2900	0.7035	0.7189	0.2685
31	330	0.3869	6.1435	0.6792	0.7022	0.2935
32	360	0.4220	5.9972	0.6557	0.6855	0.3179
33	390	0.4572	6.1763	0.6330	0.7060	0.3424
34	420	0.4924	5.4798	0.6112	0.6263	0.3658
35	450	0.5276	5.5159	0.5900	0.6305	0.3879
36	480	0.5627	5.0938	0.5697	0.5822	0.4093
37	510	0.5979	4.9933	0.5500	0.5707	0.4295
38	540	0.6331	4.8261	0.5310	0.5516	0.4493
39	570	0.6682	4.6646	0.5126	0.5332	0.4684
40	600	0.7034	4.4580	0.4949	0.5095	0.4867

T A B L A III - 4A

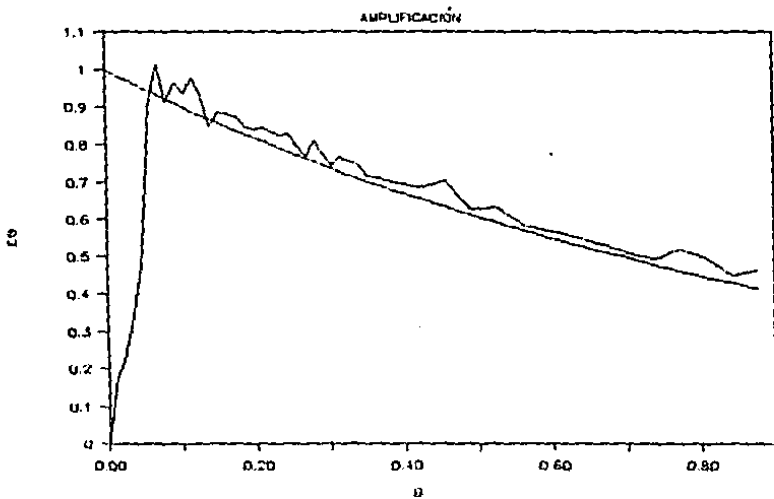
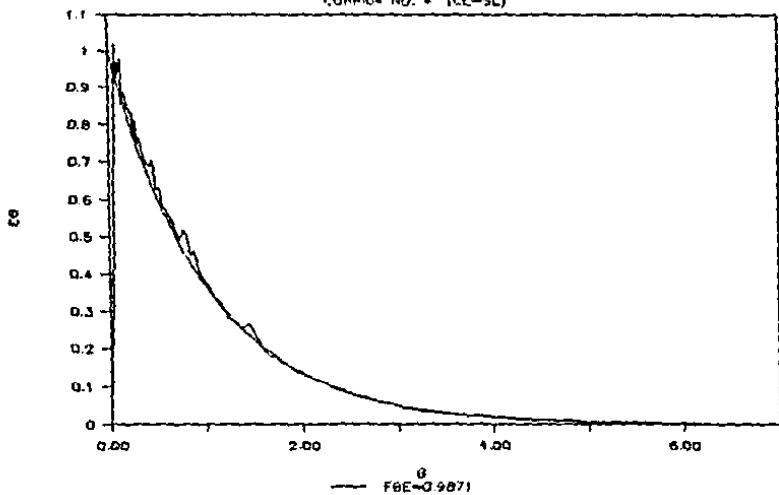
CORRIDA NO. 4
(CE-SL)

CONTINUACIÓN

N	t	B	C	EDT	EOE	FBE
41	630	0.7386	4.2923	0.4778	0.4906	0.5043
42	660	0.7738	4.5426	0.4613	0.5192	0.5220
43	690	0.8089	4.3427	0.4453	0.4964	0.5399
44	720	0.8441	3.9348	0.4299	0.4497	0.5565
45	750	0.8793	4.0608	0.4151	0.4642	0.5726
46	810	0.9496	3.4851	0.3869	0.3983	0.6029
47	870	1.0199	3.2510	0.3606	0.3716	0.6300
48	930	1.0903	2.9560	0.3361	0.3379	0.6550
49	990	1.1606	2.8282	0.3133	0.3233	0.6782
50	1050	1.2310	2.4596	0.2920	0.2811	0.6995
51	1110	1.3013	2.3949	0.2722	0.2737	0.7190
52	1170	1.3717	2.2325	0.2537	0.2552	0.7376
53	1230	1.4420	2.3230	0.2365	0.2655	0.7559
54	1290	1.5123	2.0724	0.2204	0.2369	0.7736
55	1350	1.5827	1.7769	0.2054	0.2031	0.7891
56	1410	1.6530	1.5845	0.1915	0.1811	0.8026
57	1470	1.7234	1.5517	0.1785	0.1774	0.8152
58	1530	1.7937	1.4168	0.1663	0.1619	0.8271
59	1590	1.8640	1.3535	0.1550	0.1547	0.8382
60	1650	1.9344	1.1973	0.1445	0.1369	0.8485
61	1770	2.0751	1.0862	0.1255	0.1242	0.8669
62	1890	2.2157	0.9545	0.1091	0.1091	0.8833
63	2010	2.3564	0.7970	0.0948	0.0911	0.8973
64	2130	2.4971	0.7018	0.0823	0.0802	0.9094
65	2250	2.6378	0.5968	0.0715	0.0682	0.9198
66	2370	2.7785	0.5202	0.0621	0.0595	0.9288
67	2490	2.9192	0.4540	0.0540	0.0519	0.9367
68	2610	3.0598	0.3886	0.0469	0.0444	0.9434
69	2730	3.2005	0.3192	0.0407	0.0365	0.9491
70	2850	3.3412	0.2709	0.0354	0.0310	0.9539
71	3090	3.6226	0.2250	0.0267	0.0257	0.9618
72	3330	3.9039	0.1834	0.0202	0.0210	0.9684
73	3570	4.1853	0.1416	0.0152	0.0162	0.9736
74	3810	4.4667	0.1000	0.0115	0.0114	0.9775
75	4050	4.7480	0.0861	0.0087	0.0098	0.9805
76	4290	5.0294	0.0638	0.0065	0.0073	0.9829
77	4530	5.3108	0.0473	0.0049	0.0054	0.9847
78	4770	5.5921	0.0278	0.0037	0.0032	0.9859
79	5010	5.8735	0.0195	0.0028	0.0022	0.9867
80	5250	6.1549	0.0070	0.0021	0.0008	0.9871

GRÁFICA III-4A

CORPO4 NO. 4 (CE-SL)



T A B L A III - 4B

CORRIDA NO. 4
(CE-SL)

#	t	Ø	C	EST	EBE	FBE
0	0	0.0000	0.0000	1.0000	0.0000	0.0000
1	10	0.0117	1.5167	0.9883	0.1766	0.0010
2	20	0.0234	1.9506	0.9768	0.2274	0.0034
3	30	0.0352	2.9756	0.9654	0.3472	0.0068
4	40	0.0469	4.2185	0.9542	0.4922	0.0117
5	50	0.0586	7.9097	0.9431	0.9217	0.0200
6	60	0.0703	8.8967	0.9321	1.0348	0.0313
7	70	0.0821	7.9871	0.9212	0.9309	0.0430
8	80	0.0938	8.4378	0.9105	0.9833	0.0542
9	90	0.1055	8.1740	0.8999	0.9525	0.0656
10	100	0.1172	8.5562	0.8894	0.9969	0.0770
11	110	0.1290	8.1284	0.8790	0.9473	0.0884
12	120	0.1407	7.4394	0.8688	0.8671	0.0990
13	130	0.1524	7.7529	0.8586	0.9035	0.1094
14	140	0.1641	7.7333	0.8486	0.9012	0.1200
15	150	0.1759	7.6540	0.8387	0.8919	0.1305
16	160	0.1876	7.4414	0.8290	0.8673	0.1408
17	170	0.1993	7.3600	0.8193	0.8577	0.1509
18	180	0.2110	7.4092	0.8098	0.8634	0.1610
19	190	0.2227	7.3124	0.8003	0.8522	0.1711
20	200	0.2345	7.2355	0.7910	0.8431	0.1810
21	210	0.2462	7.2520	0.7818	0.8450	0.1909
22	220	0.2579	6.9766	0.7727	0.8121	0.2006
23	230	0.2696	6.7181	0.7637	0.7828	0.2100
24	240	0.2814	7.0819	0.7548	0.8252	0.2194
25	250	0.2931	6.7630	0.7460	0.7882	0.2288
26	260	0.3048	6.5118	0.7373	0.7588	0.2379
27	270	0.3165	6.7001	0.7287	0.7808	0.2469
28	280	0.3283	6.6300	0.7202	0.7726	0.2560
29	290	0.3400	6.5494	0.7118	0.7632	0.2650
30	300	0.3517	6.2900	0.7035	0.7330	0.2738
31	330	0.3869	6.1435	0.6792	0.7159	0.2993
32	360	0.4220	5.9972	0.6557	0.6989	0.3242
33	390	0.4572	6.1763	0.6330	0.7198	0.3491
34	420	0.4924	5.4798	0.6112	0.6387	0.3730
35	450	0.5276	5.5159	0.5900	0.6429	0.3955
36	480	0.5627	5.0938	0.5697	0.5935	0.4173
37	510	0.5979	4.9933	0.5500	0.5820	0.4380
38	540	0.6331	4.8261	0.5310	0.5624	0.4581
39	570	0.6682	4.6646	0.5126	0.5436	0.4775
40	600	0.7034	4.4580	0.4949	0.5195	0.4962

T A B L A III - 4B

CORRIDA NO. 4
(CE-SL)

CONTINUACIÓN

#	t	B	C	E0T	E0E	F0E
41	630	0.7386	4.2923	0.4778	0.5002	0.5142
42	660	0.7738	4.5426	0.4613	0.5295	0.5323
43	690	0.8089	4.3427	0.4453	0.5061	0.5505
44	720	0.8441	3.9348	0.4299	0.4585	0.5674
45	750	0.8793	4.0608	0.4151	0.4732	0.5838
46	810	0.9496	3.4851	0.3869	0.4060	0.6147
47	870	1.0199	3.2510	0.3606	0.3788	0.6424
48	930	1.0903	2.9560	0.3361	0.3444	0.6678
49	990	1.1606	2.8282	0.3133	0.3296	0.6915
50	1050	1.2310	2.4596	0.2920	0.2866	0.7132
51	1110	1.3013	2.3949	0.2722	0.2791	0.7331
52	1170	1.3717	2.2325	0.2537	0.2601	0.7520
53	1230	1.4420	2.3230	0.2365	0.2707	0.7707
54	1290	1.5123	2.0724	0.2204	0.2415	0.7887
55	1350	1.5827	1.7769	0.2054	0.2071	0.8045
56	1410	1.6530	1.5845	0.1915	0.1846	0.8183
57	1470	1.7234	1.5517	0.1785	0.1808	0.8311
58	1530	1.7937	1.4168	0.1663	0.1651	0.8433
59	1590	1.8640	1.3535	0.1550	0.1577	0.8546
60	1650	1.9344	1.1973	0.1445	0.1395	0.8651
61	1770	2.0751	1.0862	0.1255	0.1266	0.8838
62	1890	2.2157	0.9545	0.1091	0.1112	0.9005
63	2010	2.3564	0.7970	0.0948	0.0929	0.9149
64	2130	2.4971	0.7018	0.0823	0.0818	0.9272
65	2250	2.6378	0.5968	0.0715	0.0695	0.9378
66	2370	2.7785	0.5202	0.0621	0.0606	0.9470
67	2490	2.9192	0.4540	0.0540	0.0529	0.9550
68	2610	3.0598	0.3886	0.0469	0.0453	0.9619
69	2730	3.2005	0.3192	0.0407	0.0372	0.9677
70	2850	3.3412	0.2709	0.0354	0.0316	0.9725
71	3090	3.6226	0.2250	0.0267	0.0262	0.9806
72	3330	3.9039	0.1834	0.0202	0.0214	0.9873
73	3570	4.1853	0.1416	0.0152	0.0165	0.9927
74	3810	4.4667	0.1000	0.0115	0.0117	0.9966
75	4050	4.7480	0.0861	0.0087	0.0100	0.9977
76	4290	5.0294	0.0638	0.0065	0.0074	1.0021
77	4530	5.3108	0.0473	0.0049	0.0055	1.0040
78	4770	5.5921	0.0278	0.0037	0.0032	1.0052
79	5010	5.8735	0.0195	0.0028	0.0023	1.0060
80	5250	6.1549	0.0070	0.0021	0.0008	1.0064

T A B L A III - 5A

CORRIDA NO. 5
(M-SL)

M	t	D	C	EDT	EOE	FBE
0	0	0.0000	0.0000	1.0000	0.0000	0.0000
1	10	0.0117	1.9786	0.9883	0.2262	0.0013
2	20	0.0234	3.0723	0.9768	0.3512	0.0047
3	30	0.0352	4.1280	0.9654	0.4718	0.0095
4	40	0.0469	5.1625	0.9542	0.7044	0.0164
5	50	0.0586	6.1073	0.9431	0.9267	0.0260
6	60	0.0703	7.3012	0.9321	0.9488	0.0370
7	70	0.0821	8.2268	0.9212	0.9403	0.0481
8	80	0.0938	8.2162	0.9105	0.9391	0.0591
9	90	0.1055	8.1415	0.8999	0.9306	0.0700
10	100	0.1172	7.9236	0.8894	0.9057	0.0808
11	110	0.1290	7.6471	0.8790	0.8741	0.0912
12	120	0.1407	7.6832	0.8688	0.9010	0.1016
13	130	0.1524	7.7461	0.8586	0.8854	0.1121
14	140	0.1641	7.7845	0.8486	0.8898	0.1225
15	150	0.1759	7.6378	0.8387	0.8730	0.1328
16	160	0.1876	7.7127	0.8290	0.8816	0.1431
17	170	0.1993	7.5944	0.8193	0.8680	0.1534
18	180	0.2110	7.3606	0.8098	0.8413	0.1634
19	190	0.2227	7.1572	0.8003	0.8181	0.1731
20	200	0.2345	7.4769	0.7910	0.8546	0.1829
21	210	0.2462	7.0529	0.7818	0.8061	0.1927
22	220	0.2579	6.9511	0.7727	0.7945	0.2021
23	230	0.2696	7.1388	0.7637	0.8160	0.2115
24	240	0.2814	6.8434	0.7548	0.7822	0.2209
25	250	0.2931	6.6600	0.7460	0.7612	0.2299
26	260	0.3048	6.9445	0.7373	0.7938	0.2390
27	270	0.3165	6.6519	0.7287	0.7603	0.2481
28	280	0.3283	6.4749	0.7202	0.7401	0.2569
29	290	0.3400	6.6553	0.7118	0.7607	0.2657
30	300	0.3517	6.6231	0.7035	0.7370	0.2746
31	330	0.3869	6.0365	0.6792	0.6900	0.3001
32	360	0.4220	5.8493	0.6557	0.6686	0.3240
33	390	0.4572	5.7755	0.6330	0.6601	0.3473
34	420	0.4924	5.5558	0.6112	0.6350	0.3701
35	450	0.5276	5.1755	0.5900	0.5916	0.3917
36	480	0.5627	5.2104	0.5697	0.5956	0.4125
37	510	0.5979	5.0382	0.5500	0.5759	0.4331
38	540	0.6331	4.6616	0.5310	0.5328	0.4526
39	570	0.6682	4.5614	0.5126	0.5214	0.4712
40	600	0.7034	4.4664	0.4949	0.5105	0.4893

T A B L A III - 5A

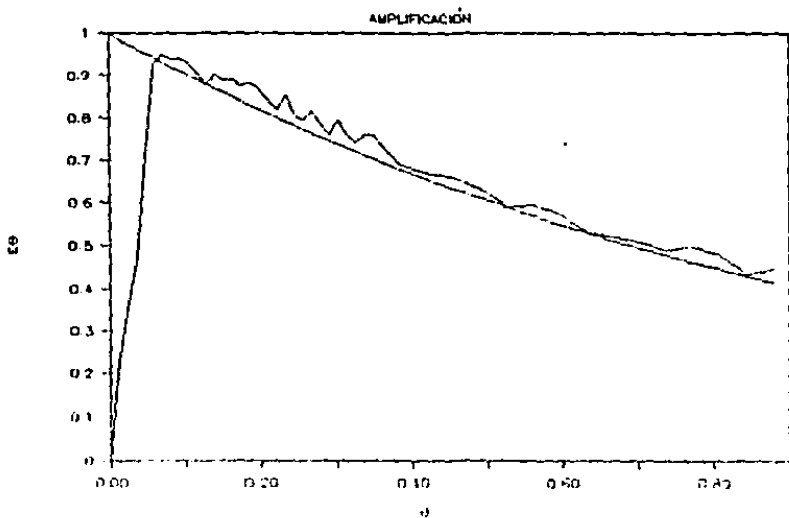
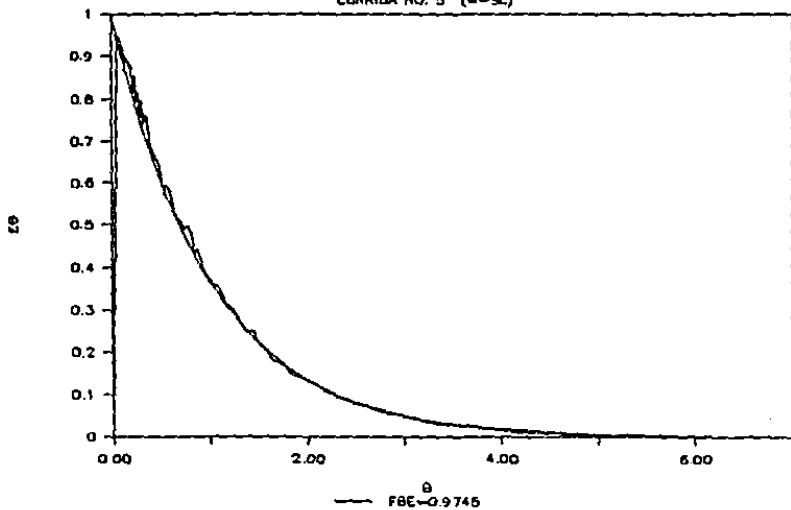
CORRIDA NO. 5
(M-SL)

CONTINUACION

M	t	B	C	EGT	EGE	FBE
41	630	0.7386	4.2759	0.4778	0.4887	0.5069
42	660	0.7738	4.3659	0.4613	0.4990	0.5243
43	690	0.8089	4.1898	0.4453	0.4789	0.5415
44	720	0.8441	3.7967	0.4299	0.4340	0.5575
45	750	0.8793	3.8921	0.4151	0.4449	0.5730
46	810	0.9496	3.4168	0.3869	0.3905	0.6024
47	870	1.0199	3.1748	0.3606	0.3629	0.6289
48	930	1.0903	3.0943	0.3361	0.3537	0.6541
49	990	1.1606	2.7884	0.3133	0.3167	0.6777
50	1050	1.2310	2.6373	0.2920	0.3014	0.6995
51	1110	1.3013	2.4441	0.2722	0.2794	0.7199
52	1170	1.3717	2.1582	0.2537	0.2467	0.7384
53	1230	1.4420	2.1984	0.2365	0.2513	0.7560
54	1290	1.5123	1.8951	0.2204	0.2166	0.7724
55	1350	1.5827	1.7585	0.2054	0.2010	0.7871
56	1410	1.6530	1.5800	0.1915	0.1806	0.8005
57	1470	1.7234	1.5128	0.1785	0.1729	0.8130
58	1530	1.7937	1.4103	0.1663	0.1612	0.8247
59	1590	1.8640	1.2757	0.1550	0.1458	0.8355
60	1650	1.9344	1.2350	0.1445	0.1412	0.8456
61	1770	2.0751	1.0744	0.1255	0.1228	0.8642
62	1890	2.2157	0.9090	0.1091	0.1039	0.8801
63	2010	2.3564	0.7973	0.0948	0.0911	0.8938
64	2130	2.4971	0.6878	0.0823	0.0786	0.9058
65	2250	2.6378	0.5928	0.0715	0.0678	0.9161
66	2370	2.7785	0.4892	0.0621	0.0559	0.9248
67	2490	2.9192	0.4495	0.0540	0.0514	0.9323
68	2610	3.0598	0.3885	0.0469	0.0444	0.9391
69	2730	3.2005	0.3161	0.0407	0.0361	0.9447
70	2850	3.3412	0.2623	0.0354	0.0300	0.9494
71	3090	3.6226	0.2222	0.0267	0.0254	0.9572
72	3330	3.9039	0.1486	0.0202	0.0170	0.9631
73	3570	4.1853	0.0944	0.0152	0.0108	0.9670
74	3810	4.4667	0.0639	0.0115	0.0073	0.9696
75	4050	4.7480	0.0514	0.0087	0.0059	0.9714
76	4290	5.0294	0.0333	0.0065	0.0038	0.9728
77	4530	5.3108	0.0236	0.0049	0.0027	0.9737
78	4770	5.5921	0.0097	0.0037	0.0011	0.9742
79	5010	5.8735	0.0042	0.0028	0.0005	0.9745
80	5250	6.1549	0.0000	0.0021	0.0000	0.9745

GRÁFICA III-5A

CORRIDA NO. 5 (M-SL)



T A B L A III - 5B

CORRIDA NO. 5
(M-SL)

N	t	B	C	EQT	EGE	FGE
0	0	0.0000	0.0000	1.0000	0.0000	0.0000
1	10	0.0117	1.9786	0.9883	0.2306	0.0014
2	20	0.0234	3.0723	0.9768	0.3582	0.0048
3	30	0.0352	4.1280	0.9654	0.4812	0.0097
4	40	0.0469	6.1625	0.9542	0.7181	0.0168
5	50	0.0586	8.1073	0.9431	0.9450	0.0265
6	60	0.0703	8.3012	0.9321	0.9671	0.0377
7	70	0.0821	8.2268	0.9212	0.9585	0.0490
8	80	0.0938	8.2162	0.9105	0.9573	0.0602
9	90	0.1055	8.1415	0.8999	0.9487	0.0714
10	100	0.1172	7.9236	0.8894	0.9233	0.0824
11	110	0.1290	7.6471	0.8790	0.8912	0.0930
12	120	0.1407	7.8832	0.8688	0.9186	0.1036
13	130	0.1524	7.7461	0.8586	0.9026	0.1143
14	140	0.1641	7.7845	0.8486	0.9070	0.1249
15	150	0.1759	7.6378	0.8387	0.8901	0.1354
16	160	0.1876	7.7127	0.8290	0.8967	0.1459
17	170	0.1993	7.5944	0.8193	0.8850	0.1564
18	180	0.2110	7.3606	0.8098	0.8576	0.1666
19	190	0.2227	7.1572	0.8003	0.8339	0.1765
20	200	0.2345	7.4769	0.7910	0.8711	0.1865
21	210	0.2462	7.0529	0.7818	0.8219	0.1964
22	220	0.2579	6.9511	0.7727	0.8101	0.2060
23	230	0.2696	7.1388	0.7637	0.8318	0.2156
24	240	0.2814	6.8434	0.7548	0.7974	0.2252
25	250	0.2931	6.6600	0.7460	0.7760	0.2344
26	260	0.3048	6.9445	0.7373	0.8091	0.2437
27	270	0.3165	6.6519	0.7287	0.7752	0.2530
28	280	0.3283	6.4749	0.7202	0.7545	0.2619
29	290	0.3400	6.6553	0.7118	0.7756	0.2709
30	300	0.3517	6.6231	0.7035	0.7717	0.2800
31	330	0.3869	6.0365	0.6792	0.7034	0.3059
32	360	0.4220	5.8493	0.6557	0.6615	0.3303
33	390	0.4572	5.7755	0.6330	0.6730	0.3541
34	420	0.4924	5.5558	0.6112	0.6474	0.3773
35	450	0.5276	5.1755	0.5900	0.6031	0.3993
36	480	0.5627	5.2106	0.5687	0.6001	0.4206
37	510	0.5979	5.0142	0.5500	0.5971	0.4416
38	540	0.6331	4.6616	0.5310	0.5432	0.4615
39	570	0.6683	4.5614	0.5126	0.5316	0.4804
40	600	0.7034	4.4666	0.4949	0.5205	0.4965

T A B L A III - 5B

CORRIDA NO. 5
(H-SL)

CONTINUACION

H	t	B	C	E8T	E8E	FOR
41	630	0.7386	4.2759	0.4778	0.4982	0.5168
42	660	0.7738	4.3659	0.4613	0.5088	0.5345
43	690	0.8089	4.4566	0.4453	0.4882	0.5520
44	720	0.8441	3.7967	0.4299	0.4424	0.5684
45	750	0.8793	3.8921	0.4151	0.4535	0.5841
46	810	0.9496	3.4168	0.3869	0.3982	0.6141
47	870	1.0199	3.1748	0.3606	0.3699	0.6411
48	930	1.0903	3.0943	0.3361	0.3605	0.6668
49	990	1.1606	2.7664	0.3133	0.3250	0.6909
50	1050	1.2310	2.6373	0.2920	0.3073	0.7131
51	1110	1.3013	2.4441	0.2722	0.2848	0.7340
52	1170	1.3717	2.1502	0.2537	0.2515	0.7528
53	1230	1.4420	2.1564	0.2365	0.2562	0.7707
54	1290	1.5123	1.8951	0.2204	0.2208	0.7875
55	1350	1.5827	1.7585	0.2054	0.2049	0.8024
56	1410	1.6530	1.5800	0.1915	0.1841	0.8161
57	1470	1.7234	1.5126	0.1785	0.1763	0.8288
58	1530	1.7937	1.4103	0.1663	0.1643	0.8408
59	1590	1.8640	1.2757	0.1550	0.1486	0.8518
60	1650	1.9344	1.2350	0.1443	0.1439	0.8621
61	1710	2.0051	1.0744	0.1255	0.1252	0.8810
62	1890	2.2157	0.9090	0.1091	0.1059	0.8972
63	2010	2.3564	0.7973	0.0948	0.0929	0.9112
64	2130	2.4971	0.6878	0.0823	0.0802	0.9234
65	2250	2.6378	0.5928	0.0715	0.0691	0.9339
66	2370	2.7785	0.4892	0.0621	0.0570	0.9428
67	2490	2.9192	0.4455	0.0540	0.0524	0.9505
68	2610	3.0598	0.3885	0.0469	0.0433	0.9573
69	2730	3.2005	0.3161	0.0407	0.0368	0.9631
70	2850	3.3412	0.2623	0.0354	0.0306	0.9679
71	3090	3.6226	0.2222	0.0267	0.0259	0.9758
72	3330	3.9039	0.1836	0.0202	0.0173	0.9819
73	3570	4.1853	0.0999	0.0152	0.0110	0.9858
74	3810	4.4667	0.0679	0.0115	0.0074	0.9884
75	4050	4.7480	0.0519	0.0087	0.0060	0.9908
76	4290	5.0294	0.0377	0.0065	0.0039	0.9919
77	4530	5.3108	0.0256	0.0049	0.0028	0.9921
78	4770	5.5921	0.0157	0.0031	0.0011	0.9922
79	5010	5.8735	0.0082	0.0018	0.0008	0.9924
80	5250	6.1549	0.0033	0.0011	0.0000	0.9925

T A B L A III - 6A

CORRIDA NO. 4
(P-SL)

N	t	G	C	EST	EGE	FGE
0	0	0.0000	0.0000	1.0000	0.0000	0.0000
1	10	0.0117	1.1731	0.9883	0.1341	0.0008
2	20	0.0234	2.2771	0.9768	0.2603	0.0031
3	30	0.0352	3.3320	0.9654	0.3808	0.0069
4	40	0.0469	4.0283	0.9542	0.6890	0.0131
5	50	0.0586	4.9923	0.9431	0.7992	0.0219
6	60	0.0703	6.6504	0.9321	0.9887	0.0323
7	70	0.0821	8.2068	0.9212	0.9380	0.0436
8	80	0.0938	8.1033	0.9105	0.9262	0.0546
9	90	0.1055	8.1712	0.8999	0.9340	0.0655
10	100	0.1172	7.8644	0.8894	0.8989	0.0762
11	110	0.1290	7.6492	0.8790	0.8743	0.0866
12	120	0.1407	7.6511	0.8688	0.8745	0.0968
13	130	0.1524	7.6602	0.8586	0.8756	0.1071
14	140	0.1641	7.4206	0.8486	0.8482	0.1172
15	150	0.1759	7.5553	0.8387	0.8636	0.1272
16	160	0.1876	7.6941	0.8290	0.8794	0.1375
17	170	0.1993	7.4530	0.8193	0.8519	0.1476
18	180	0.2110	7.2442	0.8098	0.8280	0.1575
19	190	0.2227	7.1746	0.8003	0.8201	0.1671
20	200	0.2345	7.1578	0.7910	0.8181	0.1767
21	210	0.2462	7.2627	0.7818	0.8301	0.1864
22	220	0.2579	6.9012	0.7727	0.7888	0.1959
23	230	0.2696	6.8430	0.7637	0.7822	0.2051
24	240	0.2814	6.8342	0.7548	0.7812	0.2142
25	250	0.2931	6.8252	0.7460	0.7801	0.2234
26	260	0.3048	6.3473	0.7373	0.7255	0.2322
27	270	0.3165	6.5725	0.7287	0.7512	0.2409
28	280	0.3283	6.3865	0.7202	0.7300	0.2496
29	290	0.3400	6.2764	0.7118	0.7174	0.2580
30	300	0.3517	6.3921	0.7035	0.7306	0.2665
31	330	0.3869	6.4103	0.6792	0.7327	0.2923
32	360	0.4220	5.8423	0.6557	0.6678	0.3169
33	390	0.4572	5.6988	0.6330	0.6514	0.3401
34	420	0.4924	5.4506	0.6112	0.6230	0.3625
35	450	0.5276	5.3742	0.5900	0.6143	0.3843
36	480	0.5627	5.0482	0.5697	0.5770	0.4052
37	510	0.5979	4.8804	0.5500	0.5578	0.4252
38	540	0.6331	4.7685	0.5310	0.5430	0.4446
39	570	0.6682	4.5655	0.5126	0.5218	0.4633
40	600	0.7034	4.5632	0.4949	0.5216	0.4817

T A B L A III - 6A

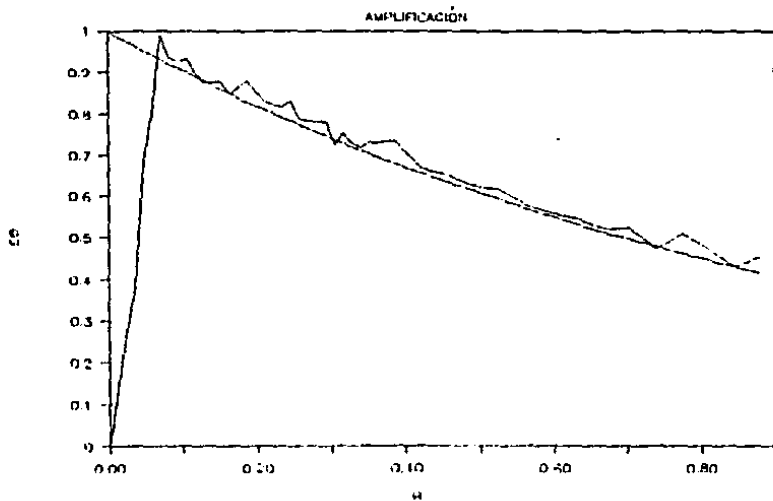
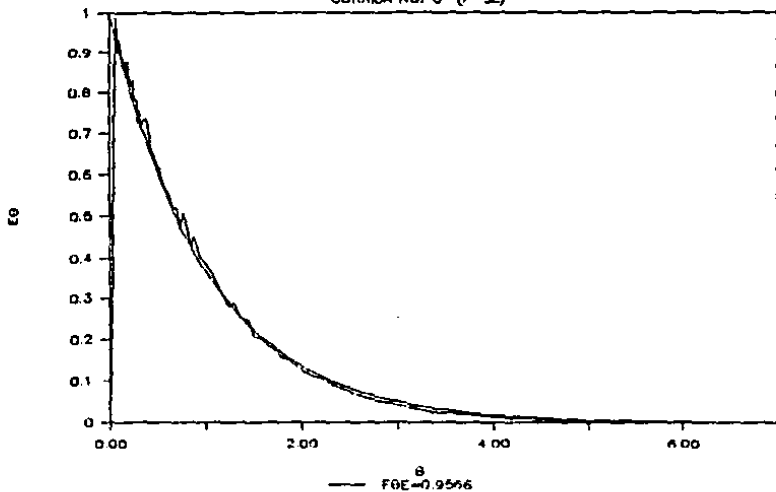
CORRIDA NO. 6
(P-SL)

CONTINUACION

#	t	Ø	C	EØT	EBE	FBE
41	630	0.7386	4.1214	0.4778	0.4711	0.4991
42	660	0.7738	4.4471	0.4613	0.5083	0.5163
43	690	0.8089	4.1335	0.4453	0.4725	0.5336
44	720	0.8441	3.7649	0.4299	0.4303	0.5495
45	750	0.8793	3.9487	0.4151	0.4513	0.5650
46	810	0.9496	3.5338	0.3869	0.4039	0.5951
47	870	1.0199	3.2890	0.3606	0.3759	0.6225
48	930	1.0903	3.0697	0.3361	0.3509	0.6480
49	990	1.1606	2.7622	0.3133	0.3157	0.6715
50	1050	1.2310	2.4496	0.2920	0.2800	0.6924
51	1110	1.3013	2.5208	0.2722	0.2881	0.7124
52	1170	1.3717	2.2104	0.2537	0.2526	0.7314
53	1230	1.4420	2.1594	0.2365	0.2468	0.7490
54	1290	1.5123	1.7923	0.2204	0.2049	0.7649
55	1350	1.5827	1.7678	0.2054	0.2021	0.7792
56	1410	1.6530	1.5870	0.1915	0.1814	0.7927
57	1470	1.7234	1.4942	0.1785	0.1708	0.8051
58	1530	1.7937	1.3835	0.1663	0.1581	0.8166
59	1590	1.8640	1.3266	0.1550	0.1516	0.8275
60	1650	1.9344	1.1872	0.1445	0.1357	0.8376
61	1770	2.0751	1.0137	0.1255	0.1159	0.8553
62	1890	2.2157	0.9026	0.1091	0.1032	0.8707
63	2010	2.3564	0.7541	0.0948	0.0862	0.8841
64	2130	2.4971	0.6474	0.0823	0.0740	0.8953
65	2250	2.6378	0.5449	0.0715	0.0623	0.9049
66	2370	2.7785	0.4635	0.0621	0.0530	0.9130
67	2490	2.9192	0.4095	0.0540	0.0468	0.9200
68	2610	3.0598	0.3401	0.0469	0.0389	0.9261
69	2730	3.2005	0.2833	0.0407	0.0324	0.9311
70	2850	3.3412	0.2157	0.0354	0.0247	0.9351
71	3090	3.6226	0.1903	0.0267	0.0218	0.9416
72	3330	3.9039	0.1403	0.0202	0.0160	0.9469
73	3570	4.1853	0.0847	0.0152	0.0097	0.9506
74	3810	4.4667	0.0500	0.0115	0.0057	0.9527
75	4050	4.7480	0.0361	0.0087	0.0041	0.9541
76	4290	5.0294	0.0194	0.0065	0.0022	0.9550
77	4530	5.3108	0.0209	0.0049	0.0024	0.9557
78	4770	5.5921	0.0111	0.0037	0.0013	0.9562
79	5010	5.8735	0.0070	0.0028	0.0008	0.9565
80	5250	6.1549	0.0014	0.0021	0.0002	0.9566

GRÁFICA III-6A

CORRIDA NO. 6 (P-S)



T A B L A III - 6B

CORRIDA NO. 6
(P-SL)

#	t	G	C	E8T	E8E	F8E
0	0	0.0000	0.0000	1.0000	0.0000	0.0000
1	10	0.0117	1.1731	0.9883	0.1375	0.0008
2	20	0.0234	2.2771	0.9768	0.2672	0.0032
3	30	0.0352	3.3320	0.9654	0.3909	0.0070
4	40	0.0469	4.0283	0.9542	0.7076	0.0135
5	50	0.0586	4.9723	0.9431	0.8204	0.0224
6	60	0.0703	5.6504	0.9321	1.0147	0.0332
7	70	0.0821	5.2068	0.9212	0.9627	0.0448
8	80	0.0938	5.1033	0.9105	0.9506	0.0560
9	90	0.1055	5.1712	0.8999	0.9585	0.0672
10	100	0.1172	7.8644	0.8894	0.9225	0.0782
11	110	0.1290	7.6492	0.8790	0.8973	0.0889
12	120	0.1407	7.6511	0.8688	0.8974	0.0994
13	130	0.1524	7.6602	0.8586	0.8985	0.1099
14	140	0.1641	7.4206	0.8486	0.8705	0.1203
15	150	0.1759	7.5553	0.8387	0.8863	0.1306
16	160	0.1876	7.6941	0.8290	0.9026	0.1411
17	170	0.1993	7.4530	0.8193	0.8743	0.1515
18	180	0.2110	7.2442	0.8098	0.8498	0.1616
19	190	0.2227	7.1746	0.8003	0.8416	0.1715
20	200	0.2345	7.1578	0.7910	0.8397	0.1814
21	210	0.2462	7.2627	0.7818	0.8519	0.1913
22	220	0.2579	6.9012	0.7727	0.8096	0.2010
23	230	0.2696	6.8430	0.7637	0.8026	0.2105
24	240	0.2814	6.8342	0.7548	0.8017	0.2199
25	250	0.2931	6.8252	0.7460	0.8006	0.2293
26	260	0.3048	6.3473	0.7373	0.7445	0.2383
27	270	0.3165	6.5725	0.7287	0.7709	0.2472
28	280	0.3283	6.3865	0.7202	0.7491	0.2561
29	290	0.3400	6.2764	0.7118	0.7363	0.2648
30	300	0.3517	6.3921	0.7035	0.7499	0.2735
31	330	0.3869	6.4103	0.6792	0.7519	0.3000
32	360	0.4220	5.8423	0.6557	0.6853	0.3252
33	390	0.4572	5.6988	0.6330	0.6685	0.3490
34	420	0.4924	5.4506	0.6112	0.6394	0.3720
35	450	0.5276	5.3742	0.5900	0.6304	0.3944
36	480	0.5627	5.0482	0.5697	0.5921	0.4159
37	510	0.5979	4.8804	0.5500	0.5725	0.4363
38	540	0.6331	4.7685	0.5310	0.5593	0.4562
39	570	0.6682	4.5635	0.5126	0.5355	0.4755
40	600	0.7034	4.5632	0.4949	0.5353	0.4943

T A B L A III - 6B

CORRIDA NO. 6
(P-SL)

CONTINUACIÓN

N	t	B	C	EBT	EBE	FBE
41	630	0.7386	4.1214	0.4778	0.4835	0.5122
42	660	0.7738	4.4471	0.4613	0.5217	0.5299
43	690	0.8089	4.1335	0.4453	0.4849	0.5476
44	720	0.8441	3.7649	0.4299	0.4416	0.5639
45	750	0.8793	3.9487	0.4151	0.4632	0.5798
46	810	0.9496	3.5338	0.3849	0.4145	0.6107
47	870	1.0199	3.2890	0.3606	0.3858	0.6388
48	930	1.0903	3.0697	0.3361	0.3601	0.6651
49	990	1.1606	2.7622	0.3133	0.3241	0.6891
50	1050	1.2310	2.4496	0.2920	0.2873	0.7106
51	1110	1.3013	2.5208	0.2722	0.2957	0.7311
52	1170	1.3717	2.2104	0.2537	0.2593	0.7507
53	1230	1.4420	2.1594	0.2365	0.2533	0.7687
54	1290	1.5123	1.7923	0.2204	0.2103	0.7850
55	1350	1.5827	1.7678	0.2054	0.2074	0.7997
56	1410	1.6530	1.5670	0.1915	0.1862	0.8135
57	1470	1.7234	1.4942	0.1785	0.1753	0.8262
58	1530	1.7937	1.3835	0.1663	0.1623	0.8381
59	1590	1.8640	1.3266	0.1550	0.1556	0.8493
60	1650	1.9344	1.1872	0.1445	0.1393	0.8597
61	1770	2.0751	1.0137	0.1255	0.1189	0.8778
62	1890	2.2157	0.9026	0.1091	0.1059	0.8936
63	2010	2.3564	0.7541	0.0948	0.0885	0.9073
64	2130	2.4971	0.6474	0.0823	0.0760	0.9189
65	2250	2.6378	0.5449	0.0715	0.0639	0.9287
66	2370	2.7785	0.4635	0.0621	0.0544	0.9370
67	2490	2.9192	0.4095	0.0540	0.0480	0.9442
68	2610	3.0598	0.3401	0.0469	0.0399	0.9504
69	2730	3.2005	0.2833	0.0407	0.0332	0.9556
70	2850	3.3412	0.2157	0.0354	0.0253	0.9597
71	3090	3.6226	0.1903	0.0267	0.0223	0.9664
72	3330	3.9039	0.1403	0.0202	0.0165	0.9718
73	3570	4.1853	0.0847	0.0152	0.0099	0.9755
74	3810	4.4667	0.0500	0.0115	0.0059	0.9778
75	4050	4.7480	0.0361	0.0087	0.0042	0.9792
76	4290	5.0294	0.0194	0.0065	0.0023	0.9801
77	4530	5.3108	0.0209	0.0049	0.0024	0.9808
78	4770	5.5921	0.0111	0.0037	0.0013	0.9813
79	5010	5.8735	0.0070	0.0028	0.0008	0.9816
80	5250	6.1549	0.0014	0.0021	0.0002	0.9817

CAPÍTULO IV

DISCUSIÓN DE RESULTADOS

Primero que nada hay que aclarar que, al momento de introducir la arena a la altura de las aspas del agitador (primeras tres corridas), no se pudo agregar instantáneamente debido a que esta formaba un tapon en el embudo, aunque este tenía una boca bastante ancha. Para evitarlo, el trazador se introdujo en, aproximadamente un minuto que fue el tiempo mínimo en que se pudo evitar este tapon y, para que las condiciones fueran lo más parecidas posible, se hizo lo mismo al agregarlo al nivel del líquido (últimas tres corridas).

Este minuto de tardanza se pudo observar perfectamente en las tablas, pues en todas la concentración va en aumento desde $t=0$ hasta alrededor del minuto ($t=60$).

En las corridas en las que el trazador entra al nivel del líquido, sobre todo en la sexta corrida en donde entra en la pared del tanque, se podría pensar que lo que sucede es que la distancia entre la entrada del trazador y la salida es muy grande y tarda, pero si se observa que esta tardanza es aproximadamente igual a la de la primera corrida en la que esta distancia es relativamente corta, se puede pensar que lo único que afecta es el minuto que tarda en entrar todo el trazador.

Otra cosa que hay que mencionar es que el residuo de trazador que quedó dentro del tanque fue muy pequeño en todas las corridas (entre 0.2 y 0.3 g) lo cual nos da una idea de que en realidad, como lo dice la literatura (ver Cap. I), tanto la forma del tanque como las condiciones de agitación, son de lo más apropiado para este tipo de trabajos que implican suspensión de sólidos. Se puede decir que esto fue lo que influyó en que los resultados en todas las corridas fueran tan parecidos.

También hay que aclarar que fue imposible evitar que algo de la arena se introdujera en el indicador de nivel produciendo un volumen muerto, pero como esa arena se quedó allí estancada, se hicieron los cálculos tomando en cuenta esto y sin tomarlo. Obviamente la única diferencia en las gráficas es que, al tomar en cuenta esta cantidad de arena, el área bajo la curva aumentó ligeramente como se puede observar en la

gráfica tipo B que se presenta como muestra. Además, se sabe que el valor de F_0 equivale al área bajo la curva, por lo que si queremos observar estas diferencias numericamente, sólo es necesario comparar el último valor de F_0E de las tablas tipo A con las respectivas tipo B.

Si se observan las gráficas, se puede ver que todas las curvas experimentales se apegan bastante bien a las teóricas, pero para asegurarse de ello se recurrirá a las pruebas estadísticas.

Como se puede observar en los cuadros 2U-A y 2U-B de esta sección, a intervalos de confianza de hasta el 20%, se acepta la hipótesis de que para todas las corridas, no existe diferencia significativa entre el modelo propuesto y el modelo ideal de mezcla completa, esto indica que no hay diferencia significativa entre ambos modelos (hasta un $\alpha=20\%$) para todas las pruebas realizadas.

En los cuadros 2B-A y 2B-B, se observa que para todos los casos, la hipótesis de que no existe diferencia significativa entre la corrida y su réplica, es aceptada hasta un $\alpha=20\%$, es decir, que sus valores son repetitivos.

Cuadro 2U-A

	$\alpha=1\%$ $D=0,179$	$\alpha=2\%$ $D=0,167$	$\alpha=5\%$ $D=0,150$	$\alpha=10\%$ $D=0,135$	$\alpha=20\%$ $D=0,118$
1a	H.	H.	H.	H.	H.
Corrida $A=0,0324$	Aceptada	Aceptada	Aceptada	Aceptada	Aceptada
2a	H.	H.	H.	H.	H.
Corrida $A=0,0309$	Aceptada	Aceptada	Aceptada	Aceptada	Aceptada
3a	H.	H.	H.	H.	H.
Corrida $A=0,0309$	Aceptada	Aceptada	Aceptada	Aceptada	Aceptada
4a	H.	H.	H.	H.	H.
Corrida $A=0,0373$	Aceptada	Aceptada	Aceptada	Aceptada	Aceptada
5a	H.	H.	H.	H.	H.
Corrida $A=0,0309$	Aceptada	Aceptada	Aceptada	Aceptada	Aceptada
6a	H.	H.	H.	H.	H.
Corrida $A=0,0418$	Aceptada	Aceptada	Aceptada	Aceptada	Aceptada

Cuadro 2U-B

	$\alpha=1\%$ $D=0,179$	$\alpha=2\%$ $D=0,167$	$\alpha=5\%$ $D=0,150$	$\alpha=10\%$ $D=0,135$	$\alpha=20\%$ $D=0,118$
1a	H.	H.	H.	H.	H.
Corrida $A=0,0394$	Aceptada	Aceptada	Aceptada	Aceptada	Aceptada
2a	H.	H.	H.	H.	H.
Corrida $A=0,0288$	Aceptada	Aceptada	Aceptada	Aceptada	Aceptada
3a	H.	H.	H.	H.	H.
Corrida $A=0,0301$	Aceptada	Aceptada	Aceptada	Aceptada	Aceptada
4a	H.	H.	H.	H.	H.
Corrida $A=0,0370$	Aceptada	Aceptada	Aceptada	Aceptada	Aceptada
5a	H.	H.	H.	H.	H.
Corrida $A=0,0304$	Aceptada	Aceptada	Aceptada	Aceptada	Aceptada
6a	H.	H.	H.	H.	H.
Corrida $A=0,0347$	Aceptada	Aceptada	Aceptada	Aceptada	Aceptada

Cuadro 2B-A

	$\alpha=1\%$ D=0,1289	$\alpha=2\%$ D=0,1202	$\alpha=5\%$ D=0,1075	$\alpha=10\%$ D=0,0964	$\alpha=20\%$ D=0,0846
1a	H.	H.	H.	H.	H.
Corrida	Aceptada	Aceptada	Aceptada	Aceptada	Aceptada
H=0,0134					
2a	H.	H.	H.	H.	H.
Corrida	Aceptada	Aceptada	Aceptada	Aceptada	Aceptada
H=0,0195					
3a	H.	H.	H.	H.	H.
Corrida	Aceptada	Aceptada	Aceptada	Aceptada	Aceptada
H=0,0273					
4a	H.	H.	H.	H.	H.
Corrida	Aceptada	Aceptada	Aceptada	Aceptada	Aceptada
H=0,0242					
5a	H.	H.	H.	H.	H.
Corrida	Aceptada	Aceptada	Aceptada	Aceptada	Aceptada
H=0,0187					
6a	H.	H.	H.	H.	H.
Corrida	Aceptada	Aceptada	Aceptada	Aceptada	Aceptada
H=0,0320					

Cuadro 2B-B

	$\alpha=1\%$ D=0,1289	$\alpha=2\%$ D=0,1202	$\alpha=5\%$ D=0,1075	$\alpha=10\%$ D=0,0964	$\alpha=20\%$ D=0,0846
1a	H.	H.	H.	H.	H.
Corrida	Aceptada	Aceptada	Aceptada	Aceptada	Aceptada
H=0,0135					
2a	H.	H.	H.	H.	H.
Corrida	Aceptada	Aceptada	Aceptada	Aceptada	Aceptada
H=0,0147					
3a	H.	H.	H.	H.	H.
Corrida	Aceptada	Aceptada	Aceptada	Aceptada	Aceptada
H=0,0390					
4a	H.	H.	H.	H.	H.
Corrida	Aceptada	Aceptada	Aceptada	Aceptada	Aceptada
H=0,0160					
5a	H.	H.	H.	H.	H.
Corrida	Aceptada	Aceptada	Aceptada	Aceptada	Aceptada
H=0,0108					
6a	H.	H.	H.	H.	H.
Corrida	Aceptada	Aceptada	Aceptada	Aceptada	Aceptada
H=0,0278					

RESUMEN

RESUMEN

El fin de esta tesis fue analizar la influencia que ejercen las diferentes entradas del trazador sólido sobre su distribución de tiempos de residencia, en un reactor de mezcla completa con fondo fileteado y cono invertido.

Para lograr este objetivo, se recurrió a la técnica estímulo-respuesta; el estímulo fue el vaciado de arena y se observó como respondió al variar este estímulo.

Se efectuaron seis pruebas con sus réplicas, en las cuales se variaron tres distancias radiales de entrada del trazador (centro, mitad del radio y en la pared del tanque), con dos niveles de entrada de este (en la superficie del líquido y a la altura de las espas del agitador) y las combinaciones entre estas.

Para este estudio se utilizó un tanque con fondo fileteado y cono invertido para mejorar la suspensión.

Los parámetros que a continuación se mencionan fueron constantes para todas las corridas.

La velocidad de agitación fue de 660 RPM. La posición del agitador fue siempre vertical y estuvo colocado a 6.25 cm de la base del tanque. El nivel de operación fue el equivalente a 11.450 l de agua y el caudal utilizado fue de 0.0134 l/s. En lo referente al trazador, se utilizaron 100 g de arena con las siguientes características: 2753 g/l de densidad y un diámetro de entre 60 y 100 mallas, es decir, entre 0.250 mm y 0.149 mm.

Hay que mencionar que el fluido siempre entró en la cuarta boquilla, es decir, a 18 cm de la base del tanque y salió en la quinta boquilla, es decir, a 12 cm de la base.

Con los valores arrojados en el experimento, se elaboraron curvas de distribución de tiempos de residencia y se compararon estadísticamente con la curva teórica del modelo de mezcla completa para visualizar las desviaciones de la idealidad.

También se comprobó estadísticamente la repetitividad de los datos, es decir la consistencia entre los datos de la corrida y la réplica.

Las pruebas estadísticas utilizadas fueron las de Kolmogorov-Smirnov tanto la unimuestral (para comparar los datos experimentales con los teóricos) como la bimuestral (para comparar la corrida original con su replica).

CONCLUSIONS

CONCLUSIONES

Analizando los resultados de este trabajo, se puede concluir:

1.- La prueba unimuestral de Kolmogorov-Smirnov, no es lo suficientemente sensible para detectar desviaciones entre las distribuciones de tiempos de residencia experimental y teórica para ninguna de las pruebas, es decir, que no se encuentra diferencia significativa entre el modelo experimental y el ideal.

2.- Visualmente no se encuentra ninguna diferencia que sugiera que alguna de las pruebas es mejor que otra, esto puede indicar que, en realidad, el diseño del tanque y las condiciones de agitación son lo suficientemente buenos como para que la homogenización sea rápida y que, para alcanzarse la concentración máxima a la salida, únicamente afecte el tiempo necesario (aproximadamente un minuto) para introducir el trazador, es decir, que no afecte en absoluto la posición de entrada del sólido.

3.- La prueba bimuestral de Kolmogorov-Smirnov no detecta diferencias significativas entre las replicas, esto indica que los datos entre cada una de las corridas y sus replicas, son consistentes entre si.

Por todo lo anterior, se puede decir que se logró el objetivo de este trabajo que fue el de analizar la influencia que las diferentes entradas del trazador sólido tienen sobre la distribución de tiempos de residencia en un reactor con fondo fileteado y cono invertido.

APÉNDICE I

MÉTODOS ESTADÍSTICOS

Una vez obtenidos los resultados de las distribuciones de tiempos de residencia experimentales y teóricos, es necesario hacer uso de algunos modelos estadísticos para compararlos, es decir, para ver si el modelo experimental se ajusta al ideal.

Las pruebas que se usan para hacer estas comparaciones son llamadas pruebas de bondad de ajuste, las cuales usualmente involucran el examen de una muestra aleatoria tomada de una distribución desconocida para probar la hipótesis nula de que esta distribución se ajusta a una conocida y previamente especificada.

Una de las pruebas de bondad de ajuste más utilizadas para distribuciones continuas, es la llamada prueba de Kolmogorov-Smirnov.

Existe otro test de bondad de ajuste llamado test J_1 Cuadrada, que se aplica tanto para distribuciones continuas como discretas, sin embargo, no es aplicable a muestras pequeñas por lo que, para este estudio, utilizaremos el del Kolmogorov-Smirnov.

Dentro del test de Kolmogorov-Smirnov tenemos dos tipos; el test unimuestral, que es en sí el que se usa para decidir si se acepta la hipótesis nula de que no hubiesen diferencias significativas entre los modelos teóricos y los experimentales, y el test bimuestral utilizado para verificar si los resultados arrojados por la corrida y su réplica son consistentes.

Estos tests se basan en la diferencia absoluta máxima entre los valores de la distribución acumulativa de una muestra aleatoria de tamaño "n" y una distribución teórica específica (test unimuestral) o una distribución experimental observada (test bimuestral), según sea el caso.

A.- Test Unimuestral.

Esta prueba estadística está diseñada para probar la hipótesis nula de que cierta función $F(X)$, es la función de distribución de una población de la que se ha tomado una muestra: X_1, X_2, \dots, X_n .

La función acumulada $F_{\hat{E}}$ corresponde a los valores identificados como experimentales promedio de corrida y replica de $E_{\hat{E}}$ obtenidos con la ecuación (1E-12), multiplicados cada uno por el incremento de \hat{e} correspondiente al intervalo en que se encuentre.

$$F_{\hat{E}} = \sum_{j=1}^n E_{\hat{E}j} \hat{e}$$

De igual manera se obtiene la función acumulada $F_{\hat{T}}$ para los valores ideales, solo que la ecuación empleada para obtener $E_{\hat{T}}$ es la (1E-14).

$$F_{\hat{T}} = \sum_{j=1}^n E_{\hat{T}j} \hat{t}$$

y la hipótesis nula será:

$$F_{\hat{T}} = F_{\hat{E}}$$

Para rechazar o no la hipótesis nula, se efectúa el siguiente procedimiento:

a) Calcular los valores de $F_{\hat{E}}$ y $F_{\hat{T}}$ utilizando los valores de $E_{\hat{E}}$ y $E_{\hat{T}}$ mostrados en las tablas III-A y III-B del capítulo III. (Los valores de $F_{\hat{E}}$ aparecen en estas tablas ya calculados).

Los valores de $F_{\hat{T}}$ también pueden ser calculados con la ecuación (1E-18), pero para una mejor comparación, se aplicaron sumatorias tanto para los resultados experimentales como para los ideales.

b) Determinar la desviación máxima:

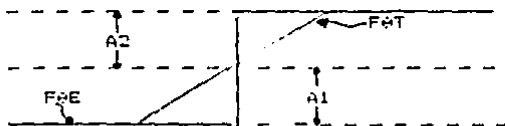
$$A_{\max} = |F_{\hat{T}} - F_{\hat{E}}|$$

Es decir la mayor distancia entre las dos curvas medida en dirección vertical.

Se calculan los números no negativos " A_1 " y " A_2 " y el mayor de todos estos será A .

Figura 1A-1

Determinación de A



c) Escoger un nivel de significancia α (1%, 5%, por ejemplo) dependiendo del porcentaje de confianza que se desee.

d) Buscar en tablas estadísticas el valor máximo permisible "D" para el tamaño de muestra usado (80 en nuestro caso) y el nivel de significancia escogido.

En la tabla siguiente se indican los valores críticos de "D" obtenidos de las referencias bibliográficas para un tamaño de muestra $n=80$ a distintos niveles de significancia.

Tabla 1A-1

Nivel de Significancia	Valor crítico de "D" para test unimuestral (10)
1%	0.179
2%	0.167
5%	0.150
10%	0.135
20%	0.118

e) Con el nivel de significancia elegido, determinar si el valor de "D" obtenido de la tabla anterior cumple con la siguiente desigualdad:

$$A \leq D$$

Si es así, se acepta la hipótesis nula, de lo contrario se rechaza.

B.- Test Bimuestral.

Esta prueba se realiza para comparar la corrida con su réplica.

En este caso se trata de probar la hipótesis nula de que $F_{E0} = F_{E0R}$ en la que F_{E0} se obtiene con:

$$F_{E0} = \frac{\sum_{i=1}^n E_{i0} C_{i0} D_{i0}}{n}$$

y de la misma forma:

$$F_{E0R} = \frac{\sum_{i=1}^n E_{i0R} C_{i0R} D_{i0R}}{n}$$

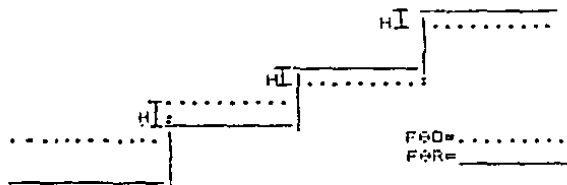
El procedimiento para aceptar o no la hipótesis nula propuesta es muy semejante a la del test unimuestral, sus diferencias son:

a) Todas las comparaciones, en vez de ser entre experimental y teorica seran entre la corrida original y su replica.

b) Debido a que en esta parte las dos funciones son escalonadas, solo se calcula una desviacion, esto significa que no habra valores de A_1 y A_2 , solo valor de H como se indica en la figura 1B-1.

Figura 1B-1

Determinación de H



c) Por ultimo, como aqui se estan utilizando 160 valores (80 corrida original y 80 de su replica), n sera igual a 160 y los valores criticos seran los de con 160 grados de libertad. Dichos valores se indican en la siguiente tabla:

Tabla 1B-1

Nivel de Significancia	Valor critico "D" para test bimuestral (160)
1%	0.1289
2%	0.1202
5%	0.1075
10%	0.0964
20%	0.0846

Como en el caso anterior, si $H \leq D$ se acepta la hipotesis nula, de lo contrario se rechaza.

APÉNDICE II

TABLAS DE RESULTADOS ESTADÍSTICOS

En este apéndice se muestran las tablas con los resultados de las pruebas de Kolmogorov-Smirnov.

Las tablas 2U (U=unimuestral), muestran los resultados para la prueba unimuestral y las tipo 2B (B=bimuestral), los muestran para la prueba bimuestral. En estas tablas se indica con un pequeño asterisco el valor máximo de A para las tipo 2U y el de H para las tipo 2B.

Los valores de A marcados con asterisco son comparados con los valores de la tabla 1A-1 del apéndice I y a su vez, los de H se comparan con los de la tabla 1B-1 del mismo apéndice.

Para ver más claras estas comparaciones, en la sección de discusión de Resultados se muestran dos cuadros (2U) para la prueba unimuestral y dos (2B) para la bimuestral. En estos cuadros se indica el valor máximo de "D" a distintos niveles de significancia y los valores máximos de A o de H, dependiendo de la prueba, para cada corrida. Además se hacen las indicaciones de aceptación o rechazo de la hipótesis nula a los intervalos de confianza que se indican.

Debe aclarar que dentro de las tablas tipo 2U y las tipo 2B se encuentra otra división que indica si las tablas son tipo A (sin tomar en cuenta la arena en el indicador de nivel) o tipo B (tomando en cuenta este residuo).

Ejemplo:

En la tabla 2U-1A, 2U indica test unimuestral y 1A indica que es la corrida uno tipo A.

Lo mismo sucede con los cuadros:

- 2U-A - Test unimuestral, tablas tipo A.
- 2U-B - Test unimuestral, tablas tipo B.
- 2B-A - Test bimuestral, tablas tipo A.
- 2B-B - Test bimuestral, tablas tipo B.

En el apéndice III se muestran los cálculos para llegar a los resultados de las tablas de este apéndice.

ESTA TESIS NO DEBE
SALIR DE LA BIBLIOTECA

T A B L A 2U - 1A

CORRIDA NO. 1
(ICE-AA)

N	C	F8E	F8T	A1	A2
0	0.0000	0.0000	0.0000	0.0000	0.0000
1	1.4325	0.0010	0.0117	0.0010	0.0107
2	3.0485	0.0040	0.0232	0.0077	0.0192
3	4.3456	0.0089	0.0346	0.0143	0.0256
4	6.0239	0.0159	0.0458	0.0187	0.0299
5	7.1886	0.0247	0.0569	0.0211	0.0322
6	8.8794	0.0355	0.0679	0.0215	0.0324
7	9.0846	0.0475	0.0788	0.0204	0.0313
8	8.4215	0.0592	0.0895	0.0195	0.0303
9	8.4975	0.0706	0.1001	0.0189	0.0296
10	8.3292	0.0819	0.1106	0.0183	0.0288
11	8.1453	0.0929	0.1210	0.0177	0.0281
12	8.1532	0.1038	0.1312	0.0172	0.0274
13	7.9447	0.1146	0.1414	0.0166	0.0268
14	8.1113	0.1254	0.1514	0.0160	0.0260
15	8.0146	0.1362	0.1613	0.0152	0.0251
16	7.6765	0.1467	0.1710	0.0146	0.0244
17	7.7480	0.1570	0.1807	0.0140	0.0237
18	7.3682	0.1671	0.1902	0.0136	0.0231
19	7.1586	0.1769	0.1997	0.0134	0.0228
20	7.0539	0.1864	0.2090	0.0133	0.0226
21	7.1452	0.1959	0.2182	0.0131	0.0223
22	7.3337	0.2056	0.2273	0.0126	0.0217
23	7.4020	0.2155	0.2363	0.0119	0.0209
24	6.9343	0.2251	0.2453	0.0113	0.0202
25	6.6447	0.2342	0.2540	0.0111	0.0199
26	6.5498	0.2430	0.2627	0.0110	0.0197
27	6.5954	0.2518	0.2713	0.0109	0.0195
28	6.7711	0.2608	0.2798	0.0105	0.0190
29	6.7458	0.2698	0.2882	0.0100	0.0184
30	6.8925	0.2790	0.2965	0.0092	0.0175
31	6.1574	0.3052	0.3208	0.0087	0.0156
32	6.0626	0.3298	0.3443	0.0089	0.0145
33	5.7833	0.3536	0.3670	0.0093	0.0134
34	5.7269	0.3767	0.3888	0.0098	0.0121
35	5.2815	0.3988	0.4100	0.0100	0.0111
36	5.1538	0.4198	0.4304	0.0098	0.0105
37	5.0099	0.4402	0.4501	0.0099	0.0098
38	4.9471	0.4603	0.4691	0.0102	0.0088
39	4.8433	0.4799	0.4874	0.0109	0.0075
40	4.5847	0.4989	0.5051	0.0115	0.0062

T A B L A 2 U - 1 A

CORRIDA NO. 1
(CE-AA)

CONTINUACIÓN

N	C	FBE	FOT	A1	A2
41	4.3856	0.5169	0.5222	0.0118	0.0053
42	4.2392	0.5343	0.5388	0.0120	0.0045
43	4.1840	0.5512	0.5547	0.0124	0.0035
44	3.8673	0.5674	0.5701	0.0127	0.0027
45	3.8863	0.5830	0.5849	0.0129	0.0020
46	3.4904	0.6126	0.6132	0.0277	0.0005
47	3.1248	0.6392	0.6394	0.0261	0.0002
48	2.9136	0.6635	0.6639	0.0240	0.0005
49	2.6983	0.6860	0.6868	0.0221	0.0007
50	2.5610	0.7072	0.7081	0.0204	0.0009
51	2.5196	0.7276	0.7279	0.0195	0.0003
52	2.2796	0.7469	0.7464	0.0190	0.0005
53	2.6617	0.7668	0.7637	0.0203	0.0031
54	1.8228	0.7848	0.7797	0.0211	0.0051
55	1.7589	0.7992	0.7947	0.0195	0.0045
56	1.6249	0.8128	0.8087	0.0181	0.0041
57	1.5372	0.8255	0.8217	0.0168	0.0038
58	1.4383	0.8375	0.8338	0.0158	0.0037
59	1.2579	0.8483	0.8451	0.0145	0.0032
60	1.1355	0.8579	0.8556	0.0128	0.0023
61	1.0106	0.8752	0.8746	0.0195	0.0005
62	0.8899	0.8905	0.8911	0.0158	0.0007
63	0.7102	0.9033	0.9055	0.0122	0.0021
64	0.6413	0.9142	0.9179	0.0087	0.0037
65	0.5392	0.9237	0.9287	0.0058	0.0051
66	0.4255	0.9314	0.9381	0.0027	0.0067
67	0.4031	0.9381	0.9463	0.0001	0.0082
68	0.3402	0.9441	0.9534	0.0022	0.0093
69	0.2853	0.9491	0.9596	0.0043	0.0105
70	0.2271	0.9532	0.9649	0.0064	0.0117
71	0.1973	0.9600	0.9737	0.0049	0.0136
72	0.1486	0.9656	0.9803	0.0081	0.0147
73	0.0806	0.9693	0.9852	0.0110	0.0159
74	0.0403	0.9712	0.9890	0.0140	0.0178
75	0.0403	0.9725	0.9918	0.0165	0.0193
76	0.0277	0.9736	0.9940	0.0182	0.0203
77	0.0028	0.9741	0.9956	0.0199	0.0215
78	0.0028	0.9742	0.9968	0.0214	0.0226
79	0.0014	0.9743	0.9977	0.0225	0.0235
80	0.0000	0.9743	0.9984	0.0234	0.0241

T A B L A 2U - 2A

CORRIDA NO. 2
(M-AA)

M	C	F8E	F8T	A1	A2
0	0.0000	0.0000	0.0000	0.0000	0.0000
1	1.1753	0.0008	0.0117	0.0008	0.0109
2	3.1230	0.0037	0.0232	0.0080	0.0195
3	4.8663	0.0090	0.0346	0.0142	0.0255
4	7.0803	0.0170	0.0458	0.0175	0.0288
5	8.5986	0.0275	0.0569	0.0183	0.0294
6	8.2300	0.0388	0.0679	0.0181	0.0291
7	8.4922	0.0500	0.0788	0.0179	0.0288
8	7.6900	0.0609	0.0895	0.0179	0.0287
9	8.2538	0.0715	0.1001	0.0180	0.0286
10	7.7496	0.0823	0.1106	0.0179	0.0284
11	7.9380	0.0928	0.1210	0.0179	0.0282
12	7.7090	0.1032	0.1312	0.0177	0.0280
13	7.6112	0.1135	0.1414	0.0177	0.0278
14	7.6737	0.1238	0.1514	0.0176	0.0276
15	7.5737	0.1340	0.1613	0.0174	0.0273
16	7.3706	0.1440	0.1710	0.0173	0.0271
17	7.3855	0.1539	0.1807	0.0172	0.0268
18	7.3345	0.1637	0.1902	0.0170	0.0265
19	7.2279	0.1735	0.1997	0.0168	0.0262
20	6.8695	0.1829	0.2090	0.0168	0.0261
21	7.0403	0.1923	0.2182	0.0168	0.0260
22	6.9146	0.2016	0.2273	0.0166	0.0257
23	7.1158	0.2110	0.2363	0.0163	0.0253
24	6.9782	0.2204	0.2453	0.0159	0.0248
25	6.6232	0.2296	0.2540	0.0157	0.0245
26	6.5662	0.2384	0.2627	0.0157	0.0243
27	6.6393	0.2472	0.2713	0.0155	0.0241
28	6.4813	0.2560	0.2798	0.0153	0.0238
29	6.0801	0.2645	0.2882	0.0154	0.0238
30	6.5493	0.2729	0.2965	0.0153	0.0236
31	6.1308	0.2984	0.3208	0.0019	0.0224
32	5.4950	0.3218	0.3443	0.0009	0.0225
33	5.4024	0.3437	0.3670	0.0006	0.0233
34	5.5905	0.3658	0.3888	0.0012	0.0231
35	5.2039	0.3875	0.4100	0.0014	0.0225
36	4.8432	0.4077	0.4304	0.0023	0.0227
37	4.9533	0.4274	0.4501	0.0030	0.0227
38	5.1137	0.4476	0.4691	0.0025	0.0215
39	4.3784	0.4667	0.4874	0.0024	0.0208
40	4.2584	0.4840	0.5051	0.0034	0.0211

T A B L A 2U - 2A

CORRIDA NO. 2
(M-AA)

CONTINUACIÓN

M	C	FBE	FBT	A1	A2
41	4.2196	0.5011	0.5222	0.0041	0.0212
42	4.2921	0.5182	0.5388	0.0041	0.0206
43	4.0763	0.5350	0.5547	0.0038	0.0197
44	3.7471	0.5507	0.5701	0.0040	0.0194
45	3.8080	0.5659	0.5849	0.0042	0.0190
46	3.6439	0.5959	0.6132	0.0109	0.0173
47	3.1630	0.6232	0.6394	0.0101	0.0162
48	3.0468	0.6482	0.6639	0.0087	0.0158
49	2.8292	0.6718	0.6868	0.0079	0.0150
50	2.4667	0.6931	0.7081	0.0063	0.0150
51	2.4507	0.7129	0.7279	0.0048	0.0151
52	2.2809	0.7319	0.7464	0.0040	0.0145
53	2.1347	0.7496	0.7637	0.0032	0.0140
54	1.9065	0.7659	0.7797	0.0022	0.0138
55	1.7971	0.7808	0.7947	0.0011	0.0139
56	1.5768	0.7943	0.8087	0.0004	0.0143
57	1.4889	0.8067	0.8217	0.0020	0.0150
58	1.4491	0.8185	0.8338	0.0032	0.0153
59	1.3295	0.8296	0.8451	0.0042	0.0155
60	1.2424	0.8400	0.8556	0.0051	0.0157
61	1.0539	0.8584	0.8746	0.0028	0.0162
62	0.8497	0.8737	0.8911	0.0009	0.0174
63	0.7914	0.8869	0.9055	0.0042	0.0185
64	0.6571	0.8984	0.9179	0.0069	0.0193
65	0.5832	0.9086	0.9287	0.0094	0.0202
66	0.4855	0.9172	0.9381	0.0116	0.0210
67	0.4118	0.9244	0.9463	0.0138	0.0219
68	0.3650	0.9306	0.9534	0.0157	0.0228
69	0.3068	0.9360	0.9594	0.0174	0.0236
70	0.2562	0.9405	0.9649	0.0190	0.0244
71	0.2000	0.9479	0.9737	0.0171	0.0258
72	0.1500	0.9535	0.9803	0.0202	0.0268
73	0.0972	0.9575	0.9852	0.0228	0.0278
74	0.0806	0.9603	0.9890	0.0249	0.0287
75	0.0625	0.9626	0.9918	0.0264	0.0292
76	0.0430	0.9643	0.9940	0.0273	0.0296
77	0.0320	0.9655	0.9956	0.0284	0.0300
78	0.0208	0.9664	0.9968	0.0292	0.0304
79	0.0222	0.9671	0.9977	0.0297	0.0306
80	0.0028	0.9675	0.9984	0.0302	0.0309

T A B L A 2U - 3A

CORRIDA NO. 3
(P-AA)

M	C	FBE	FOT	A1	A2
0	0.0000	0.0000	0.0000	0.0000	0.0000
1	2.4635	0.0017	0.0117	0.0017	0.0100
2	4.4352	0.0063	0.0232	0.0054	0.0169
3	5.7303	0.0131	0.0346	0.0101	0.0215
4	6.0979	0.0210	0.0458	0.0136	0.0248
5	6.3679	0.0294	0.0569	0.0165	0.0276
6	6.8102	0.0382	0.0679	0.0187	0.0297
7	7.6646	0.0479	0.0788	0.0200	0.0309
8	8.6372	0.0588	0.0895	0.0200	0.0307
9	8.0043	0.0700	0.1001	0.0196	0.0302
10	8.2481	0.0808	0.1106	0.0193	0.0298
11	8.0136	0.0917	0.1210	0.0189	0.0292
12	8.1466	0.1026	0.1312	0.0184	0.0287
13	7.8308	0.1133	0.1414	0.0180	0.0281
14	7.3377	0.1234	0.1514	0.0179	0.0279
15	7.6919	0.1335	0.1613	0.0179	0.0278
16	7.5978	0.1438	0.1710	0.0175	0.0273
17	7.4021	0.1538	0.1807	0.0172	0.0269
18	7.1099	0.1635	0.1902	0.0172	0.0267
19	7.2576	0.1732	0.1997	0.0171	0.0265
20	7.2102	0.1828	0.2090	0.0168	0.0262
21	7.2475	0.1925	0.2182	0.0165	0.0257
22	6.9422	0.2020	0.2273	0.0162	0.0253
23	7.1452	0.2115	0.2363	0.0159	0.0249
24	6.8824	0.2209	0.2453	0.0155	0.0244
25	6.7146	0.2300	0.2540	0.0153	0.0241
26	6.7947	0.2390	0.2627	0.0150	0.0237
27	6.3863	0.2479	0.2713	0.0149	0.0235
28	6.2811	0.2564	0.2798	0.0150	0.0235
29	6.4976	0.2649	0.2882	0.0149	0.0233
30	6.5268	0.2736	0.2965	0.0146	0.0229
31	6.3874	0.2996	0.3208	0.0031	0.0212
32	5.7635	0.3240	0.3443	0.0032	0.0203
33	5.8461	0.3474	0.3670	0.0031	0.0196
34	5.5095	0.3702	0.3888	0.0032	0.0187
35	5.1225	0.3916	0.4100	0.0027	0.0184
36	5.0424	0.4120	0.4304	0.0020	0.0184
37	5.0511	0.4323	0.4501	0.0019	0.0178
38	4.8186	0.4521	0.4691	0.0021	0.0169
39	4.6720	0.4712	0.4874	0.0021	0.0162
40	4.3475	0.4893	0.5051	0.0019	0.0158

T A B L A 2U - 3A

CORRIDA NO. 3
(P-AA)

CONTINUACIÓN

M	C	FBE	FOT	A1	A2
41	4.3755	0.5069	0.5222	0.0017	0.0154
42	4.1487	0.5240	0.5388	0.0017	0.0148
43	4.1869	0.5407	0.5547	0.0020	0.0140
44	3.6868	0.5566	0.5701	0.0019	0.0135
45	3.7996	0.5716	0.5849	0.0015	0.0133
46	3.6024	0.6014	0.6132	0.0164	0.0118
47	3.2367	0.6289	0.6394	0.0157	0.0106
48	2.9659	0.6538	0.6639	0.0144	0.0102
49	2.7733	0.6769	0.6868	0.0129	0.0099
50	2.6472	0.6987	0.7081	0.0119	0.0094
51	2.3913	0.7189	0.7279	0.0108	0.0090
52	2.2447	0.7375	0.7464	0.0096	0.0089
53	2.1511	0.7552	0.7637	0.0088	0.0084
54	1.8731	0.7714	0.7797	0.0077	0.0083
55	1.7237	0.7859	0.7947	0.0061	0.0088
56	1.6444	0.7994	0.8087	0.0047	0.0093
57	1.4563	0.8119	0.8217	0.0032	0.0098
58	1.4264	0.8234	0.8338	0.0018	0.0103
59	1.3255	0.8345	0.8451	0.0007	0.0106
60	1.2104	0.8447	0.8556	0.0004	0.0109
61	1.0374	0.8628	0.8746	0.0071	0.0118
62	0.8894	0.8783	0.8911	0.0036	0.0129
63	0.7966	0.8918	0.9055	0.0007	0.0136
64	0.6670	0.9036	0.9179	0.0019	0.0143
65	0.5982	0.9138	0.9287	0.0042	0.0150
66	0.4933	0.9225	0.9381	0.0062	0.0156
67	0.4320	0.9300	0.9463	0.0082	0.0163
68	0.3868	0.9366	0.9534	0.0098	0.0168
69	0.3103	0.9422	0.9596	0.0112	0.0174
70	0.2578	0.9467	0.9649	0.0128	0.0182
71	0.2208	0.9544	0.9737	0.0105	0.0192
72	0.1681	0.9607	0.9803	0.0130	0.0196
73	0.1125	0.9652	0.9852	0.0151	0.0200
74	0.0792	0.9683	0.9890	0.0170	0.0207
75	0.0666	0.9706	0.9918	0.0184	0.0212
76	0.0527	0.9725	0.9940	0.0193	0.0214
77	0.0389	0.9740	0.9956	0.0200	0.0216
78	0.0278	0.9751	0.9968	0.0205	0.0217
79	0.0236	0.9759	0.9977	0.0209	0.0218
80	0.0236	0.9767	0.9984	0.0211	0.0217

T A B L A 2U - 4A

CORRIDA NO. 4
(CE-SL)

N	C	FBE	FBT	A1	A2
0	0.0000	0.0000	0.0000	0.0000	0.0000
1	1.5167	0.0010	0.0117	0.0010	0.0106
2	1.9507	0.0033	0.0232	0.0083	0.0198
3	2.9756	0.0066	0.0346	0.0165	0.0279
4	4.2185	0.0115	0.0458	0.0231	0.0344
5	7.9097	0.0196	0.0569	0.0262	0.0373*
6	8.8967	0.0308	0.0679	0.0261	0.0371
7	7.9871	0.0422	0.0788	0.0258	0.0366
8	8.4378	0.0532	0.0895	0.0256	0.0364
9	8.1740	0.0643	0.1001	0.0252	0.0358
10	8.5562	0.0755	0.1106	0.0246	0.0351
11	8.1284	0.0867	0.1210	0.0239	0.0343
12	7.4394	0.0971	0.1312	0.0239	0.0341
13	7.7529	0.1073	0.1414	0.0239	0.0341
14	7.7333	0.1177	0.1514	0.0237	0.0337
15	7.6540	0.1280	0.1613	0.0234	0.0333
16	7.4414	0.1381	0.1710	0.0232	0.0329
17	7.3600	0.1480	0.1807	0.0230	0.0327
18	7.4092	0.1579	0.1902	0.0228	0.0323
19	7.3127	0.1678	0.1997	0.0225	0.0319
20	7.2355	0.1775	0.2090	0.0222	0.0315
21	7.2520	0.1872	0.2182	0.0218	0.0310
22	6.9676	0.1967	0.2273	0.0215	0.0306
23	6.7181	0.2059	0.2363	0.0214	0.0304
24	7.0819	0.2152	0.2453	0.0212	0.0301
25	6.7630	0.2244	0.2540	0.0208	0.0296
26	6.5118	0.2333	0.2627	0.0207	0.0294
27	6.7001	0.2422	0.2713	0.0206	0.0292
28	6.6300	0.2511	0.2798	0.0202	0.0287
29	6.5494	0.2599	0.2882	0.0199	0.0283
30	6.2900	0.2685	0.2965	0.0197	0.0280
31	6.1435	0.2935	0.3208	0.0030	0.0273
32	5.9972	0.3179	0.3443	0.0029	0.0264
33	6.1763	0.3424	0.3670	0.0019	0.0246
34	5.4798	0.3658	0.3888	0.0011	0.0230
35	5.5159	0.3879	0.4100	0.0009	0.0220
36	5.0938	0.4093	0.4304	0.0007	0.0211
37	4.9933	0.4295	0.4501	0.0008	0.0205
38	4.8261	0.4493	0.4691	0.0008	0.0198
39	4.6647	0.4684	0.4874	0.0007	0.0191
40	4.4580	0.4867	0.5051	0.0007	0.0184

T A B L A 2U - 4A

CORRIDA NO. 4
(ICE-SL)

CONTINUACIÓN

N	C	FBE	FBT	A1	A2
41	4.2923	0.5043	0.5222	0.0009	0.0180
42	4.5426	0.5220	0.5388	0.0002	0.0167
43	4.3427	0.5399	0.5547	0.0011	0.0148
44	3.9348	0.5565	0.5701	0.0018	0.0135
45	4.0608	0.5726	0.5849	0.0025	0.0123
46	3.4851	0.6029	0.6132	0.0180	0.0102
47	3.2511	0.6300	0.6394	0.0169	0.0094
48	2.9561	0.6550	0.6639	0.0155	0.0090
49	2.8282	0.6782	0.6868	0.0143	0.0086
50	2.4596	0.6993	0.7081	0.0127	0.0086
51	2.3949	0.7190	0.7279	0.0109	0.0089
52	2.2325	0.7376	0.7464	0.0097	0.0088
53	2.3230	0.7559	0.7637	0.0095	0.0077
54	2.0724	0.7736	0.7797	0.0099	0.0061
55	1.7769	0.7891	0.7947	0.0093	0.0056
56	1.5845	0.8026	0.8087	0.0079	0.0061
57	1.5517	0.8152	0.8217	0.0065	0.0065
58	1.4168	0.8271	0.8338	0.0054	0.0067
59	1.3535	0.8382	0.8451	0.0045	0.0069
60	1.1974	0.8485	0.8556	0.0034	0.0071
61	1.0862	0.8669	0.8746	0.0112	0.0078
62	0.9545	0.8833	0.8911	0.0086	0.0079
63	0.7970	0.8973	0.9055	0.0062	0.0081
64	0.7018	0.9094	0.9179	0.0039	0.0085
65	0.5968	0.9198	0.9287	0.0019	0.0089
66	0.5202	0.9288	0.9381	0.0001	0.0093
67	0.4540	0.9367	0.9463	0.0015	0.0097
68	0.3886	0.9434	0.9534	0.0029	0.0100
69	0.3192	0.9491	0.9596	0.0043	0.0105
70	0.2709	0.9539	0.9649	0.0057	0.0111
71	0.2250	0.9618	0.9737	0.0031	0.0118
72	0.1834	0.9684	0.9803	0.0053	0.0119
73	0.1416	0.9736	0.9852	0.0066	0.0116
74	0.1000	0.9775	0.9890	0.0077	0.0115
75	0.0861	0.9805	0.9918	0.0085	0.0113
76	0.0638	0.9829	0.9940	0.0089	0.0111
77	0.0473	0.9847	0.9956	0.0093	0.0109
78	0.0278	0.9859	0.9968	0.0097	0.0109
79	0.0195	0.9867	0.9977	0.0101	0.0111
80	0.0070	0.9871	0.9984	0.0106	0.0113

T A B L A 2U - 5A

CORRIDA NO. 5
(M-SL)

N	C	FGE	FOT	A1	A2
0	0.0000	0.0000	0.0000	0.0000	0.0000
1	1.9786	0.0013	0.0117	0.0013	0.0103
2	3.0723	0.0047	0.0232	0.0069	0.0185
3	4.1280	0.0095	0.0346	0.0136	0.0250
4	4.1625	0.0164	0.0458	0.0181	0.0294
5	8.1073	0.0260	0.0569	0.0198	0.0309
6	8.3012	0.0370	0.0679	0.0200	0.0309
7	8.2268	0.0481	0.0788	0.0199	0.0307
8	8.2163	0.0591	0.0895	0.0197	0.0305
9	8.1415	0.0700	0.1001	0.0195	0.0301
10	7.9236	0.0808	0.1106	0.0193	0.0298
11	7.6471	0.0912	0.1210	0.0194	0.0298
12	7.8832	0.1016	0.1312	0.0194	0.0296
13	7.7461	0.1121	0.1414	0.0191	0.0293
14	7.7845	0.1225	0.1514	0.0189	0.0289
15	7.6378	0.1328	0.1613	0.0185	0.0284
16	7.7127	0.1431	0.1710	0.0181	0.0279
17	7.5944	0.1534	0.1807	0.0177	0.0273
18	7.3607	0.1634	0.1902	0.0173	0.0268
19	7.1572	0.1731	0.1997	0.0171	0.0266
20	7.4769	0.1829	0.2090	0.0167	0.0261
21	7.0529	0.1927	0.2182	0.0163	0.0256
22	6.9511	0.2021	0.2273	0.0162	0.0253
23	7.1388	0.2115	0.2363	0.0158	0.0249
24	6.8434	0.2209	0.2453	0.0155	0.0244
25	6.6600	0.2299	0.2540	0.0153	0.0241
26	6.9445	0.2390	0.2627	0.0150	0.0237
27	6.6519	0.2481	0.2713	0.0146	0.0232
28	6.4749	0.2569	0.2798	0.0144	0.0229
29	6.6553	0.2657	0.2882	0.0141	0.0225
30	6.6231	0.2746	0.2965	0.0136	0.0219
31	6.0365	0.3001	0.3208	0.0036	0.0208
32	5.8494	0.3240	0.3443	0.0031	0.0203
33	5.7755	0.3473	0.3670	0.0030	0.0196
34	5.5558	0.3701	0.3888	0.0031	0.0187
35	5.1755	0.3917	0.4100	0.0028	0.0183
36	5.2106	0.4125	0.4304	0.0026	0.0178
37	5.0382	0.4331	0.4501	0.0028	0.0169
38	4.6616	0.4526	0.4691	0.0026	0.0164
39	4.5614	0.4712	0.4874	0.0021	0.0162
40	4.4664	0.4893	0.5051	0.0019	0.0158

T A B L A 2U - 5A

CORRIDA NO. 5
(M-SL)

CONTINUACION

M	C	F0E	F0T	A1	A2
41	4.2759	0.5069	0.5222	0.0018	0.0153
42	4.3659	0.5243	0.5388	0.0020	0.0145
43	4.1898	0.5415	0.5547	0.0027	0.0132
44	3.7967	0.5575	0.5701	0.0028	0.0126
45	3.8921	0.5730	0.5849	0.0029	0.0120
46	3.4168	0.6024	0.6132	0.0174	0.0108
47	3.1748	0.6289	0.6394	0.0157	0.0106
48	3.0943	0.6541	0.6639	0.0146	0.0099
49	2.7884	0.6777	0.6868	0.0138	0.0091
50	2.6373	0.6995	0.7081	0.0127	0.0086
51	2.4441	0.7199	0.7279	0.0119	0.0080
52	2.1582	0.7384	0.7464	0.0105	0.0080
53	2.1984	0.7560	0.7637	0.0095	0.0077
54	1.8951	0.7724	0.7797	0.0088	0.0073
55	1.7585	0.7871	0.7947	0.0074	0.0076
56	1.5800	0.8005	0.8087	0.0058	0.0081
57	1.5128	0.8130	0.8217	0.0043	0.0087
58	1.4103	0.8247	0.8338	0.0030	0.0091
59	1.2757	0.8355	0.8451	0.0017	0.0096
60	1.2350	0.8456	0.8556	0.0005	0.0100
61	1.0744	0.8642	0.8746	0.0085	0.0105
62	0.9090	0.8801	0.8911	0.0055	0.0110
63	0.7973	0.8938	0.9055	0.0027	0.0116
64	0.6878	0.9058	0.9179	0.0003	0.0122
65	0.5928	0.9161	0.9287	0.0019	0.0127
66	0.4892	0.9248	0.9381	0.0040	0.0134
67	0.4495	0.9323	0.9463	0.0058	0.0140
68	0.3885	0.9391	0.9534	0.0073	0.0144
69	0.3161	0.9447	0.9596	0.0087	0.0149
70	0.2623	0.9494	0.9649	0.0102	0.0156
71	0.2222	0.9572	0.9737	0.0078	0.0165
72	0.1486	0.9631	0.9803	0.0105	0.0171
73	0.0944	0.9670	0.9852	0.0132	0.0182
74	0.0639	0.9696	0.9890	0.0157	0.0194
75	0.0514	0.9714	0.9918	0.0176	0.0204
76	0.0333	0.9728	0.9940	0.0190	0.0212
77	0.0236	0.9737	0.9956	0.0203	0.0219
78	0.0097	0.9742	0.9968	0.0213	0.0226
79	0.0042	0.9745	0.9977	0.0223	0.0233
80	0.0000	0.9745	0.9984	0.0232	0.0239

T A B L A 2U - 6A

CORRIDA NO. 6
(P-SL)

#	C	FGE	FOT	A1	A2
0	0.0000	0.0000	0.0000	0.0000	0.0000
1	1.1731	0.0008	0.0117	0.0008	0.0109
2	2.2771	0.0031	0.0232	0.0086	0.0201
3	3.3320	0.0069	0.0346	0.0163	0.0277
4	6.0283	0.0131	0.0458	0.0214	0.0327
5	6.9923	0.0219	0.0569	0.0240	0.0351
6	8.6504	0.0323	0.0679	0.0246	0.0356
7	8.2048	0.0436	0.0788	0.0243	0.0352
8	8.1033	0.0546	0.0895	0.0242	0.0350
9	8.1712	0.0655	0.1001	0.0241	0.0347
10	7.8644	0.0762	0.1106	0.0239	0.0344
11	7.6492	0.0866	0.1210	0.0240	0.0344
12	7.6511	0.0968	0.1312	0.0241	0.0344
13	7.6602	0.1071	0.1414	0.0241	0.0343
14	7.4206	0.1172	0.1514	0.0242	0.0342
15	7.5553	0.1272	0.1613	0.0241	0.0340
16	7.6941	0.1375	0.1710	0.0238	0.0336
17	7.4530	0.1476	0.1807	0.0234	0.0331
18	7.2442	0.1575	0.1902	0.0232	0.0328
19	7.1746	0.1671	0.1997	0.0231	0.0326
20	7.1578	0.1767	0.2090	0.0230	0.0323
21	7.2627	0.1864	0.2182	0.0226	0.0319
22	6.9013	0.1959	0.2273	0.0224	0.0315
23	6.8430	0.2051	0.2363	0.0223	0.0313
24	6.8342	0.2142	0.2453	0.0221	0.0310
25	6.8252	0.2234	0.2540	0.0219	0.0307
26	6.3473	0.2322	0.2627	0.0218	0.0305
27	6.5725	0.2409	0.2713	0.0219	0.0305
28	6.3865	0.2496	0.2798	0.0218	0.0303
29	6.2744	0.2580	0.2882	0.0218	0.0302
30	6.3922	0.2665	0.2965	0.0217	0.0300
31	6.4103	0.2923	0.3208	0.0043	0.0286
32	5.8423	0.3169	0.3443	0.0039	0.0274
33	5.6988	0.3401	0.3670	0.0042	0.0269
34	5.4506	0.3625	0.3888	0.0045	0.0263
35	5.3742	0.3843	0.4100	0.0046	0.0257
36	5.0482	0.4052	0.4304	0.0048	0.0252
37	4.8804	0.4252	0.4501	0.0052	0.0249
38	4.7685	0.4446	0.4691	0.0055	0.0245
39	4.5655	0.4633	0.4874	0.0057	0.0241
40	4.5632	0.4817	0.5051	0.0057	0.0235

T A B L A 2U - 6A

CORRIDA NO. 6
(P-SL)

CONTINUACIÓN

M	C	FGE	FGT	A1	A2
41	4.1214	0.4991	0.5222	0.0060	0.0231
42	4.4471	0.5163	0.5388	0.0059	0.0224
43	4.1335	0.5336	0.5547	0.0052	0.0211
44	3.7649	0.5495	0.5701	0.0052	0.0206
45	3.9487	0.5650	0.5849	0.0051	0.0200
46	3.5338	0.5751	0.6132	0.0101	0.0181
47	3.2890	0.6225	0.6394	0.0093	0.0170
48	3.0697	0.6480	0.6639	0.0086	0.0159
49	2.7622	0.6715	0.6868	0.0075	0.0153
50	2.4496	0.6924	0.7081	0.0057	0.0156
51	2.5208	0.7124	0.7279	0.0043	0.0155
52	2.2104	0.7314	0.7464	0.0035	0.0150
53	2.1594	0.7490	0.7637	0.0026	0.0146
54	1.7923	0.7649	0.7797	0.0012	0.0148
55	1.7678	0.7792	0.7947	0.0005	0.0155
56	1.5870	0.7927	0.8087	0.0020	0.0160
57	1.4942	0.8051	0.8217	0.0036	0.0166
58	1.3836	0.8166	0.8338	0.0050	0.0171
59	1.3266	0.8275	0.8451	0.0063	0.0176
60	1.1872	0.8376	0.8556	0.0075	0.0180
61	1.0137	0.8553	0.8746	0.0003	0.0193
62	0.9026	0.8707	0.8911	0.0039	0.0204
63	0.7541	0.8841	0.9055	0.0071	0.0214
64	0.6474	0.8953	0.9179	0.0101	0.0226
65	0.5449	0.9049	0.9287	0.0130	0.0238
66	0.4635	0.9130	0.9381	0.0157	0.0251
67	0.4095	0.9200	0.9463	0.0181	0.0263
68	0.3401	0.9261	0.9534	0.0202	0.0273
69	0.2833	0.9311	0.9596	0.0223	0.0285
70	0.2157	0.9351	0.9649	0.0245	0.0298
71	0.1903	0.9416	0.9737	0.0233	0.0320
72	0.1403	0.9469	0.9803	0.0267	0.0333
73	0.0847	0.9506	0.9852	0.0297	0.0347
74	0.0500	0.9527	0.9890	0.0325	0.0363
75	0.0361	0.9541	0.9918	0.0349	0.0377
76	0.0194	0.9550	0.9940	0.0368	0.0390
77	0.0209	0.9557	0.9956	0.0383	0.0399
78	0.0111	0.9562	0.9968	0.0394	0.0406
79	0.0070	0.9565	0.9977	0.0403	0.0413
80	0.0014	0.9566	0.9984	0.0411	0.0418*

T A B L A 2U - 1B

CORRIDA NO. 1
(CE-AA)

CONTINUACIÓN

N	C	FBE	FBT	A1	A2
41	4.3856	0.5268	0.5222	0.0217	0.0045
42	4.2392	0.5445	0.5388	0.0222	0.0057
43	4.1840	0.5617	0.5547	0.0230	0.0070
44	3.8673	0.5782	0.5701	0.0235	0.0081
45	3.8863	0.5941	0.5849	0.0240	0.0091
46	3.4904	0.6243	0.6132	0.0394*	0.0111
47	3.1248	0.6514	0.6394	0.0382	0.0120
48	2.9136	0.6761	0.6639	0.0367	0.0122
49	2.6983	0.6991	0.6868	0.0352	0.0123
50	2.5610	0.7207	0.7081	0.0339	0.0126
51	2.5196	0.7415	0.7279	0.0334	0.0136
52	2.2796	0.7611	0.7464	0.0332	0.0147
53	2.6617	0.7814	0.7637	0.0350	0.0177
54	1.8228	0.7998	0.7797	0.0361	0.0200
55	1.7589	0.8144	0.7947	0.0347	0.0197
56	1.6249	0.8283	0.8087	0.0336	0.0196
57	1.5372	0.8412	0.8217	0.0326	0.0196
58	1.4383	0.8534	0.8338	0.0318	0.0196
59	1.2579	0.8645	0.8451	0.0307	0.0194
60	1.1355	0.8743	0.8556	0.0292	0.0187
61	1.0106	0.8919	0.8746	0.0362	0.0172
62	0.8899	0.9074	0.8911	0.0328	0.0163
63	0.7102	0.9205	0.9055	0.0294	0.0151
64	0.6413	0.9316	0.9179	0.0262	0.0137
65	0.5392	0.9413	0.9287	0.0234	0.0125
66	0.4255	0.9492	0.9381	0.0205	0.0110
67	0.4031	0.9560	0.9463	0.0178	0.0097
68	0.3402	0.9621	0.9534	0.0158	0.0087
69	0.2853	0.9672	0.9596	0.0138	0.0076
70	0.2271	0.9714	0.9649	0.0118	0.0065
71	0.1973	0.9784	0.9737	0.0134	0.0047
72	0.1486	0.9840	0.9803	0.0104	0.0038
73	0.0806	0.9878	0.9852	0.0075	0.0025
74	0.0403	0.9898	0.9890	0.0045	0.0008
75	0.0403	0.9911	0.9918	0.0021	0.0008
76	0.0277	0.9922	0.9940	0.0004	0.0018
77	0.0028	0.9927	0.9956	0.0013	0.0029
78	0.0028	0.9928	0.9968	0.0028	0.0040
79	0.0014	0.9929	0.9977	0.0040	0.0049
80	0.0000	0.9929	0.9984	0.0048	0.0055

T A B L A 2U - 2B

CORRIDA NO. 2
(M-AA)

#	C	F8E	F8T	A1	A2
0	0.0000	0.0000	0.0000	0.0000	0.0000
1	1.1753	0.0008	0.0117	0.0008	0.0108
2	3.1230	0.0038	0.0232	0.0079	0.0194
3	4.8663	0.0092	0.0346	0.0139	0.0253
4	7.0803	0.0174	0.0458	0.0171	0.0284
5	8.5986	0.0282	0.0549	0.0176	0.0288
6	8.2300	0.0397	0.0679	0.0172	0.0282
7	8.4922	0.0512	0.0788	0.0167	0.0274
8	7.6900	0.0623	0.0895	0.0165	0.0273
9	8.2538	0.0732	0.1001	0.0163	0.0269
10	7.7496	0.0842	0.1106	0.0160	0.0264
11	7.9380	0.0949	0.1210	0.0157	0.0261
12	7.7090	0.1057	0.1312	0.0153	0.0256
13	7.4112	0.1162	0.1414	0.0151	0.0252
14	7.6737	0.1267	0.1514	0.0147	0.0247
15	7.5737	0.1371	0.1613	0.0143	0.0241
16	7.3706	0.1474	0.1710	0.0139	0.0237
17	7.3855	0.1575	0.1807	0.0136	0.0232
18	7.3345	0.1676	0.1902	0.0131	0.0227
19	7.2279	0.1776	0.1997	0.0127	0.0221
20	6.8695	0.1872	0.2090	0.0125	0.0218
21	7.0403	0.1968	0.2182	0.0122	0.0213
22	6.9146	0.2063	0.2273	0.0119	0.0210
23	7.1158	0.2160	0.2363	0.0114	0.0204
24	6.9782	0.2256	0.2453	0.0107	0.0196
25	6.6232	0.2350	0.2540	0.0103	0.0191
26	6.5662	0.2440	0.2627	0.0100	0.0187
27	6.6393	0.2531	0.2713	0.0097	0.0183
28	6.4813	0.2621	0.2798	0.0093	0.0178
29	6.0801	0.2707	0.2882	0.0092	0.0176
30	6.5493	0.2793	0.2965	0.0089	0.0172
31	6.1308	0.3054	0.3208	0.0089	0.0154
32	5.4950	0.3293	0.3443	0.0085	0.0150
33	5.4024	0.3518	0.3670	0.0074	0.0152
34	5.5905	0.3744	0.3888	0.0074	0.0145
35	5.2039	0.3966	0.4100	0.0077	0.0134
36	4.8432	0.4172	0.4304	0.0073	0.0131
37	4.9533	0.4374	0.4501	0.0070	0.0127
38	5.1137	0.4581	0.4691	0.0081	0.0110
39	4.3784	0.4776	0.4874	0.0086	0.0098
40	4.2584	0.4954	0.5051	0.0080	0.0097

T A B L A 2U - 2B

CORRIDA NO. 2
(M-AA)

CONTINUACIÓN

N	C	F0E	F0T	A1	A2
41	4.2196	0.5128	0.5222	0.0077	0.0094
42	4.2921	0.5304	0.5388	0.0081	0.0084
43	4.0763	0.5476	0.5547	0.0088	0.0071
44	3.7471	0.5637	0.5701	0.0090	0.0064
45	3.8080	0.5792	0.5849	0.0091	0.0057
46	3.6439	0.6099	0.6132	0.0249	0.0033
47	3.1630	0.6379	0.6394	0.0247	0.0016
48	3.0468	0.6634	0.6639	0.0240	0.0005
49	2.8292	0.6876	0.6868	0.0237	0.0008
50	2.4667	0.7094	0.7081	0.0224	0.0013
51	2.4507	0.7296	0.7279	0.0216	0.0017
52	2.2809	0.7491	0.7464	0.0212	0.0027
53	2.1347	0.7673	0.7637	0.0209	0.0036
54	1.9063	0.7839	0.7797	0.0203	0.0042
55	1.7971	0.7991	0.7947	0.0194	0.0045
56	1.5768	0.8130	0.8087	0.0183	0.0044
57	1.4889	0.8256	0.8217	0.0170	0.0040
58	1.4491	0.8377	0.8338	0.0161	0.0039
59	1.3295	0.8492	0.8451	0.0154	0.0041
60	1.2424	0.8597	0.8556	0.0146	0.0041
61	1.0539	0.8786	0.8746	0.0230	0.0040
62	0.8497	0.8943	0.8911	0.0197	0.0032
63	0.7914	0.9078	0.9055	0.0167	0.0023
64	0.6571	0.9197	0.9179	0.0143	0.0018
65	0.5832	0.9299	0.9287	0.0120	0.0012
66	0.4855	0.9387	0.9381	0.0100	0.0006
67	0.4118	0.9461	0.9463	0.0080	0.0002
68	0.3650	0.9525	0.9534	0.0062	0.0009
69	0.3068	0.9580	0.9596	0.0046	0.0015
70	0.2562	0.9627	0.9649	0.0031	0.0023
71	0.2000	0.9702	0.9737	0.0052	0.0035
72	0.1500	0.9759	0.9803	0.0023	0.0043
73	0.0972	0.9800	0.9852	0.0003	0.0052
74	0.0806	0.9829	0.9890	0.0023	0.0061
75	0.0625	0.9853	0.9918	0.0037	0.0066
76	0.0430	0.9870	0.9940	0.0048	0.0070
77	0.0320	0.9882	0.9956	0.0057	0.0074
78	0.0208	0.9891	0.9968	0.0065	0.0077
79	0.0222	0.9898	0.9977	0.0070	0.0079
80	0.0028	0.9902	0.9984	0.0075	0.0082

T A B L A 2U - 3B

CORRIDA NO. 3
(P-AA)

N	C	F8E	F8T	A1	A2
0	0.0000	0.0000	0.0000	0.0000	0.0000
1	2.4635	0.0017	0.0117	0.0017	0.0100
2	4.4352	0.0064	0.0232	0.0053	0.0168
3	5.7303	0.0133	0.0346	0.0098	0.0212
4	6.0979	0.0214	0.0458	0.0132	0.0244
5	6.3679	0.0299	0.0569	0.0139	0.0270
6	6.8102	0.0389	0.0679	0.0181	0.0290
7	7.6646	0.0487	0.0788	0.0192	0.0301*
8	8.6372	0.0598	0.0895	0.0190	0.0297
9	8.0043	0.0711	0.1001	0.0184	0.0290
10	8.2481	0.0822	0.1106	0.0179	0.0284
11	8.0136	0.0933	0.1210	0.0174	0.0277
12	8.1466	0.1043	0.1312	0.0167	0.0270
13	7.8308	0.1151	0.1414	0.0161	0.0262
14	7.3377	0.1254	0.1514	0.0159	0.0259
15	7.6919	0.1357	0.1613	0.0157	0.0256
16	7.5978	0.1461	0.1710	0.0152	0.0250
17	7.4021	0.1563	0.1807	0.0148	0.0244
18	7.1099	0.1661	0.1902	0.0146	0.0241
19	7.2576	0.1759	0.1997	0.0143	0.0238
20	7.2102	0.1857	0.2090	0.0139	0.0233
21	7.2475	0.1956	0.2182	0.0134	0.0227
22	6.9422	0.2052	0.2273	0.0130	0.0221
23	7.1452	0.2148	0.2363	0.0125	0.0215
24	6.8824	0.2243	0.2453	0.0120	0.0209
25	6.7146	0.2336	0.2540	0.0117	0.0205
26	6.7947	0.2428	0.2627	0.0113	0.0200
27	6.3863	0.2517	0.2713	0.0110	0.0196
28	6.2811	0.2604	0.2798	0.0110	0.0195
29	6.4976	0.2690	0.2882	0.0108	0.0192
30	6.5268	0.2779	0.2965	0.0103	0.0186
31	6.3874	0.3043	0.3208	0.0077	0.0166
32	5.7635	0.3291	0.3443	0.0082	0.0153
33	5.8461	0.3527	0.3670	0.0084	0.0142
34	5.5095	0.3759	0.3888	0.0089	0.0129
35	5.1225	0.3974	0.4100	0.0088	0.0124
36	5.0424	0.4184	0.4304	0.0084	0.0120
37	5.0511	0.4389	0.4501	0.0086	0.0111
38	4.8186	0.4591	0.4691	0.0090	0.0100
39	4.6720	0.4785	0.4874	0.0094	0.0090
40	4.3475	0.4969	0.5051	0.0094	0.0083

T A B L A 2 U - 3 B

CORRIDA NO. 3
(P-AA)

CONTINUACIÓN

M	C	FBE	FBT	AI	AZ
41	4.3755	0.5147	0.5222	0.0095	0.0076
42	4.1487	0.5320	0.5388	0.0098	0.0067
43	4.1869	0.5491	0.5547	0.0103	0.0056
44	3.6868	0.5651	0.5701	0.0104	0.0050
45	3.7996	0.5804	0.5849	0.0103	0.0046
46	3.6024	0.6106	0.6132	0.0256	0.0026
47	3.2367	0.6385	0.6394	0.0253	0.0010
48	2.9659	0.6638	0.6639	0.0243	0.0002
49	2.7733	0.6872	0.6868	0.0233	0.0004
50	2.6472	0.7093	0.7081	0.0225	0.0012
51	2.3913	0.7299	0.7279	0.0218	0.0020
52	2.2447	0.7488	0.7464	0.0209	0.0024
53	2.1511	0.7667	0.7637	0.0203	0.0031
54	1.8731	0.7831	0.7797	0.0195	0.0034
55	1.7237	0.7978	0.7947	0.0181	0.0031
56	1.6444	0.8116	0.8087	0.0169	0.0029
57	1.4563	0.8242	0.8217	0.0156	0.0025
58	1.4264	0.8360	0.8338	0.0143	0.0022
59	1.3255	0.8472	0.8451	0.0134	0.0021
60	1.2104	0.8575	0.8556	0.0125	0.0019
61	1.0374	0.8759	0.8746	0.0203	0.0013
62	0.8894	0.8916	0.8911	0.0170	0.0005
63	0.7966	0.9054	0.9055	0.0142	0.0001
64	0.6670	0.9173	0.9179	0.0118	0.0006
65	0.5982	0.9276	0.9287	0.0097	0.0011
66	0.4933	0.9366	0.9381	0.0078	0.0016
67	0.4320	0.9441	0.9463	0.0060	0.0022
68	0.3868	0.9508	0.9534	0.0045	0.0026
69	0.3103	0.9565	0.9596	0.0031	0.0031
70	0.2578	0.9611	0.9649	0.0015	0.0038
71	0.2208	0.9689	0.9737	0.0040	0.0048
72	0.1681	0.9753	0.9803	0.0016	0.0050
73	0.1125	0.9798	0.9852	0.0004	0.0054
74	0.0792	0.9830	0.9890	0.0023	0.0060
75	0.0666	0.9854	0.9918	0.0036	0.0065
76	0.0527	0.9873	0.9940	0.0045	0.0067
77	0.0389	0.9888	0.9956	0.0052	0.0068
78	0.0278	0.9899	0.9968	0.0057	0.0069
79	0.0236	0.9907	0.9977	0.0061	0.0070
80	0.0236	0.9915	0.9984	0.0062	0.0069

T A B L A 2U - 4B

CORRIDA NO. 4
(CE-SL)

N	C	F0E	F0T	A1	A2
0	0.0000	0.0000	0.0000	0.0000	0.0000
1	1.3167	0.0010	0.0117	0.0010	0.0106
2	1.9507	0.0034	0.0232	0.0083	0.0198
3	2.9756	0.0068	0.0346	0.0164	0.0278
4	4.2185	0.0117	0.0458	0.0229	0.0341
5	7.9097	0.0200	0.0569	0.0258	0.0370 ⁴
6	8.8967	0.0315	0.0679	0.0255	0.0365
7	7.9871	0.0430	0.0788	0.0249	0.0358
8	6.4378	0.0542	0.0895	0.0246	0.0353
9	8.1740	0.0656	0.1001	0.0240	0.0346
10	8.5562	0.0770	0.1106	0.0231	0.0336
11	8.1284	0.0884	0.1210	0.0222	0.0326
12	7.4394	0.0990	0.1312	0.0220	0.0322
13	7.7529	0.1094	0.1414	0.0218	0.0320
14	7.7333	0.1200	0.1514	0.0214	0.0314
15	7.6540	0.1305	0.1613	0.0209	0.0308
16	7.4414	0.1408	0.1710	0.0205	0.0302
17	7.3600	0.1509	0.1807	0.0201	0.0298
18	7.4092	0.1610	0.1902	0.0197	0.0292
19	7.3127	0.1711	0.1997	0.0192	0.0286
20	7.2355	0.1810	0.2090	0.0187	0.0280
21	7.2520	0.1909	0.2182	0.0181	0.0273
22	6.9676	0.2006	0.2273	0.0176	0.0267
23	6.7181	0.2100	0.2363	0.0174	0.0264
24	7.0819	0.2194	0.2453	0.0170	0.0259
25	6.7630	0.2288	0.2540	0.0164	0.0252
26	6.5118	0.2379	0.2627	0.0161	0.0248
27	6.7001	0.2469	0.2713	0.0158	0.0244
28	6.6300	0.2560	0.2798	0.0153	0.0238
29	6.5494	0.2650	0.2882	0.0148	0.0232
30	6.2900	0.2738	0.2965	0.0144	0.0227
31	6.1435	0.2993	0.3208	0.0028	0.0215
32	5.9972	0.3242	0.3443	0.0033	0.0201
33	6.1763	0.3491	0.3670	0.0048	0.0179
34	5.4798	0.3730	0.3888	0.0060	0.0158
35	5.5159	0.3955	0.4100	0.0067	0.0144
36	5.0938	0.4173	0.4304	0.0073	0.0131
37	4.9933	0.4380	0.4501	0.0076	0.0121
38	4.8261	0.4531	0.4691	0.0080	0.0110
39	4.6647	0.4775	0.4874	0.0085	0.0099
40	4.4580	0.4962	0.5051	0.0088	0.0089

T A B L A 2U - 4B

CORRIDA NO. 4
(CE-SL)

CONTINUACIÓN

N	C	F6E	F81	A1	A2
41	4.2523	0.5142	0.5222	0.0090	0.0081
42	4.5426	0.5323	0.5368	0.0100	0.0065
43	4.3427	0.5305	0.5547	0.0117	0.0042
44	3.9348	0.5674	0.5701	0.0127	0.0026
45	4.0608	0.5838	0.5849	0.0137	0.0011
46	3.4851	0.6147	0.6132	0.0298	0.0016
47	3.2511	0.6424	0.6394	0.0292	0.0029
48	2.9561	0.6678	0.6639	0.0283	0.0038
49	2.8282	0.6915	0.6868	0.0275	0.0047
50	2.4596	0.7132	0.7081	0.0264	0.0051
51	2.3949	0.7331	0.7279	0.0250	0.0051
52	2.2325	0.7520	0.7464	0.0241	0.0056
53	2.3230	0.7707	0.7637	0.0243	0.0070
54	2.0724	0.7887	0.7797	0.0251	0.0090
55	1.7769	0.8045	0.7947	0.0248	0.0098
56	1.5845	0.8183	0.8087	0.0236	0.0096
57	1.5517	0.8311	0.8217	0.0225	0.0095
58	1.4168	0.8433	0.8338	0.0216	0.0095
59	1.3535	0.8546	0.8451	0.0209	0.0095
60	1.1974	0.8651	0.8556	0.0200	0.0095
61	1.0862	0.8838	0.8746	0.0282	0.0092
62	0.9545	0.9005	0.8911	0.0259	0.0094
63	0.7970	0.9149	0.9055	0.0238	0.0094
64	0.7018	0.9272	0.9179	0.0217	0.0093
65	0.5968	0.9378	0.9287	0.0199	0.0091
66	0.5202	0.9470	0.9381	0.0182	0.0088
67	0.4540	0.9550	0.9463	0.0168	0.0087
68	0.3886	0.9619	0.9534	0.0156	0.0085
69	0.3192	0.9677	0.9596	0.0143	0.0081
70	0.2709	0.9725	0.9649	0.0129	0.0076
71	0.2250	0.9806	0.9737	0.0157	0.0070
72	0.1834	0.9873	0.9803	0.0137	0.0071
73	0.1416	0.9927	0.9852	0.0124	0.0074
74	0.1000	0.9966	0.9890	0.0114	0.0076
75	0.0861	0.9997	0.9918	0.0107	0.0078
76	0.0638	1.0021	0.9940	0.0103	0.0082
77	0.0473	1.0040	0.9956	0.0100	0.0084
78	0.0278	1.0052	0.9968	0.0096	0.0084
79	0.0195	1.0060	0.9977	0.0092	0.0082
80	0.0070	1.0064	0.9984	0.0087	0.0080

T A B L A 2U - 5B

CORRIDA NO. 5
(M-SL)

N	C	FBE	FOT	A1	A2
0	0.0000	0.0000	0.0000	0.0000	0.0000
1	1.9786	0.0014	0.0117	0.0014	0.0103
2	3.0723	0.0048	0.0232	0.0069	0.0184
3	4.1280	0.0097	0.0346	0.0135	0.0248
4	4.1625	0.0168	0.0458	0.0178	0.0291
5	8.1073	0.0265	0.0569	0.0193	0.0304
6	8.3012	0.0377	0.0679	0.0192	0.0302
7	8.2268	0.0490	0.0788	0.0189	0.0298
8	8.2163	0.0602	0.0895	0.0186	0.0293
9	8.1415	0.0714	0.1001	0.0181	0.0287
10	7.9236	0.0824	0.1106	0.0178	0.0282
11	7.6471	0.0930	0.1210	0.0176	0.0280
12	7.8832	0.1036	0.1312	0.0174	0.0276
13	7.7461	0.1143	0.1414	0.0169	0.0271
14	7.7845	0.1249	0.1514	0.0165	0.0265
15	7.6378	0.1354	0.1613	0.0159	0.0258
16	7.7127	0.1459	0.1710	0.0153	0.0251
17	7.5944	0.1564	0.1807	0.0147	0.0243
18	7.3607	0.1666	0.1902	0.0141	0.0237
19	7.1572	0.1765	0.1997	0.0137	0.0232
20	7.4769	0.1865	0.2090	0.0132	0.0225
21	7.0529	0.1964	0.2182	0.0126	0.0218
22	6.9511	0.2060	0.2273	0.0122	0.0214
23	7.1388	0.2156	0.2363	0.0117	0.0207
24	6.8434	0.2252	0.2453	0.0112	0.0201
25	6.6600	0.2344	0.2540	0.0109	0.0197
26	6.9445	0.2437	0.2627	0.0104	0.0191
27	6.6519	0.2530	0.2713	0.0098	0.0184
28	6.4749	0.2619	0.2798	0.0094	0.0179
29	6.6553	0.2709	0.2882	0.0089	0.0173
30	6.6231	0.2800	0.2965	0.0082	0.0165
31	6.0365	0.3059	0.3208	0.0094	0.0149
32	5.8494	0.3303	0.3443	0.0094	0.0140
33	5.7755	0.3541	0.3670	0.0098	0.0129
34	5.5558	0.3773	0.3888	0.0103	0.0115
35	5.1755	0.3993	0.4100	0.0105	0.0107
36	5.2106	0.4206	0.4304	0.0106	0.0098
37	5.0382	0.4416	0.4501	0.0112	0.0085
38	4.6616	0.4615	0.4691	0.0114	0.0076
39	4.5614	0.4804	0.4874	0.0113	0.0071
40	4.4664	0.4989	0.5051	0.0114	0.0063

T A B L A 2 U - 5 B

CORRIDA NO. 5
(M-SL)

CONTINUACIÓN

M	C	F0E	F0T	A1	A2
41	4.2759	0.5168	0.5222	0.0116	0.0055
42	4.3659	0.5345	0.5388	0.0122	0.0043
43	4.1898	0.5520	0.5547	0.0133	0.0027
44	3.7967	0.5684	0.5701	0.0137	0.0017
45	3.8921	0.5841	0.5849	0.0140	0.0008
46	3.4168	0.6141	0.6132	0.0291	0.0009
47	3.1748	0.6411	0.6394	0.0279	0.0017
48	3.0943	0.6668	0.6639	0.0273	0.0028
49	2.7884	0.6909	0.6868	0.0270	0.0041
50	2.6373	0.7131	0.7081	0.0264	0.0051
51	2.4441	0.7340	0.7279	0.0259	0.0060
52	2.1582	0.7528	0.7464	0.0249	0.0064
53	2.1984	0.7707	0.7637	0.0243	0.0070
54	1.8951	0.7875	0.7797	0.0238	0.0077
55	1.7585	0.8024	0.7947	0.0227	0.0077
56	1.5800	0.8161	0.8087	0.0214	0.0075
57	1.5128	0.8288	0.8217	0.0201	0.0071
58	1.4103	0.8408	0.8338	0.0191	0.0070
59	1.2757	0.8518	0.8451	0.0180	0.0067
60	1.2350	0.8621	0.8556	0.0170	0.0064
61	1.0744	0.8810	0.8746	0.0254	0.0064
62	0.9090	0.8972	0.8911	0.0226	0.0061
63	0.7973	0.9112	0.9055	0.0201	0.0058
64	0.6878	0.9234	0.9179	0.0179	0.0055
65	0.5928	0.9339	0.9287	0.0160	0.0052
66	0.4892	0.9428	0.9381	0.0140	0.0046
67	0.4495	0.9505	0.9463	0.0123	0.0041
68	0.3885	0.9573	0.9534	0.0110	0.0039
69	0.3161	0.9631	0.9596	0.0097	0.0035
70	0.2623	0.9678	0.9649	0.0083	0.0029
71	0.2222	0.9758	0.9737	0.0109	0.0021
72	0.1486	0.9819	0.9803	0.0082	0.0016
73	0.0944	0.9858	0.9852	0.0056	0.0006
74	0.0639	0.9884	0.9890	0.0032	0.0006
75	0.0514	0.9903	0.9918	0.0013	0.0015
76	0.0333	0.9917	0.9940	0.0001	0.0022
77	0.0236	0.9927	0.9956	0.0013	0.0029
78	0.0097	0.9932	0.9968	0.0024	0.0036
79	0.0042	0.9934	0.9977	0.0034	0.0043
80	0.0000	0.9935	0.9984	0.0042	0.0049

T A B L A 2U - 6B

CORRIDA NO. 6
(P-SL)

N	C	FBE	FBT	A1	A2
0	0.0000	0.0000	0.0000	0.0000	0.0000
1	1.1731	0.0008	0.0117	0.0008	0.0108
2	2.2771	0.0032	0.0232	0.0085	0.0200
3	3.3320	0.0070	0.0344	0.0161	0.0275
4	4.0283	0.0135	0.0458	0.0211	0.0323
5	4.9923	0.0224	0.0569	0.0234	0.0345
6	6.6504	0.0332	0.0679	0.0237	0.0347
7	8.2068	0.0448	0.0788	0.0231	0.0340
8	8.1033	0.0560	0.0895	0.0228	0.0335
9	8.1712	0.0672	0.1001	0.0223	0.0329
10	7.8644	0.0782	0.1106	0.0219	0.0324
11	7.6492	0.0889	0.1210	0.0217	0.0321
12	7.6511	0.0994	0.1312	0.0216	0.0318
13	7.6602	0.1099	0.1414	0.0213	0.0314
14	7.4206	0.1203	0.1514	0.0211	0.0311
15	7.5553	0.1306	0.1613	0.0208	0.0307
16	7.6941	0.1411	0.1710	0.0202	0.0300
17	7.4530	0.1515	0.1807	0.0195	0.0292
18	7.2442	0.1616	0.1902	0.0191	0.0286
19	7.1746	0.1715	0.1997	0.0187	0.0282
20	7.1578	0.1814	0.2090	0.0183	0.0276
21	7.2627	0.1913	0.2182	0.0177	0.0269
22	6.9013	0.2010	0.2273	0.0172	0.0263
23	6.8430	0.2105	0.2363	0.0169	0.0259
24	6.8342	0.2199	0.2453	0.0165	0.0254
25	6.8252	0.2293	0.2540	0.0160	0.0248
26	6.3473	0.2383	0.2627	0.0157	0.0244
27	6.5725	0.2472	0.2713	0.0155	0.0241
28	6.3865	0.2561	0.2798	0.0152	0.0237
29	6.2764	0.2648	0.2882	0.0150	0.0234
30	6.3922	0.2735	0.2965	0.0147	0.0230
31	6.4103	0.3000	0.3208	0.0034	0.0209
32	5.8423	0.3252	0.3443	0.0044	0.0191
33	5.6988	0.3490	0.3670	0.0047	0.0179
34	5.4506	0.3720	0.3888	0.0051	0.0168
35	5.3742	0.3944	0.4100	0.0055	0.0156
36	5.0482	0.4159	0.4304	0.0059	0.0145
37	4.8804	0.4363	0.4501	0.0060	0.0137
38	4.7685	0.4542	0.4691	0.0062	0.0128
39	4.5655	0.4755	0.4874	0.0064	0.0119
40	4.5632	0.4943	0.5051	0.0069	0.0108

T A B L A 20 - 68

CORRIDA NO. 4
(P-SL)

CONTINUACIÓN

N	C	FBE	FBT	A1	A2
41	4.1214	0.5122	0.5222	0.0071	0.0100
42	4.4471	0.5299	0.5388	0.0077	0.0088
43	4.1335	0.5476	0.5547	0.0089	0.0071
44	3.7649	0.5639	0.5701	0.0092	0.0062
45	3.9487	0.5798	0.5849	0.0097	0.0051
46	3.5338	0.6107	0.6132	0.0257	0.0025
47	3.2890	0.6388	0.6394	0.0257	0.0006
48	3.0697	0.6651	0.6639	0.0256	0.0011
49	2.7622	0.6891	0.6868	0.0252	0.0023
50	2.4496	0.7106	0.7081	0.0238	0.0026
51	2.5208	0.7311	0.7279	0.0231	0.0032
52	2.2104	0.7507	0.7464	0.0227	0.0042
53	2.1594	0.7687	0.7637	0.0223	0.0050
54	1.7923	0.7850	0.7797	0.0213	0.0053
55	1.7678	0.7997	0.7947	0.0200	0.0050
56	1.5870	0.8135	0.8087	0.0188	0.0049
57	1.4942	0.8262	0.8217	0.0176	0.0046
58	1.3836	0.8381	0.8338	0.0164	0.0043
59	1.3266	0.8493	0.8451	0.0155	0.0042
60	1.1872	0.8597	0.8556	0.0146	0.0040
61	1.0137	0.8778	0.8746	0.0222	0.0032
62	0.9026	0.8936	0.8911	0.0190	0.0025
63	0.7541	0.9073	0.9055	0.0162	0.0018
64	0.6474	0.9189	0.9179	0.0134	0.0009
65	0.5449	0.9287	0.9287	0.0108	0.0000
66	0.4635	0.9370	0.9381	0.0083	0.0011
67	0.4095	0.9442	0.9463	0.0061	0.0021
68	0.3401	0.9504	0.9534	0.0041	0.0030
69	0.2833	0.9556	0.9596	0.0022	0.0040
70	0.2157	0.9597	0.9649	0.0001	0.0053
71	0.1903	0.9664	0.9737	0.0014	0.0073
72	0.1403	0.9718	0.9803	0.0018	0.0084
73	0.0847	0.9755	0.9852	0.0047	0.0097
74	0.0500	0.9778	0.9890	0.0075	0.0112
75	0.0361	0.9792	0.9918	0.0098	0.0126
76	0.0194	0.9801	0.9940	0.0117	0.0139
77	0.0209	0.9808	0.9956	0.0132	0.0148
78	0.0111	0.9813	0.9968	0.0143	0.0155
79	0.0070	0.9816	0.9977	0.0152	0.0161
80	0.0014	0.9817	0.9984	0.0160	0.0167

T A B L A 2B - 1A

CORRIDA NO. 1
(CE-AA)

N	CD	CR	F80	F8R	H
0	0.0000	0.0000	0.0000	0.0000	0.0000
1	1.5722	1.2927	0.0011	0.0009	0.0002
2	3.6360	2.4609	0.0045	0.0034	0.0012
3	5.4389	3.2522	0.0106	0.0072	0.0034
4	7.6305	4.4174	0.0194	0.0123	0.0070
5	8.4583	5.9189	0.0302	0.0193	0.0109
6	8.7500	9.0088	0.0417	0.0293	0.0124*
7	8.3055	9.8637	0.0531	0.0419	0.0112
8	8.2138	8.6291	0.0642	0.0543	0.0099
9	8.4500	8.5449	0.0753	0.0658	0.0095
10	8.3222	8.3362	0.0866	0.0771	0.0095
11	8.0528	8.2377	0.0976	0.0882	0.0093
12	7.8862	8.4203	0.1082	0.0994	0.0088
13	8.0084	7.8811	0.1189	0.1103	0.0086
14	8.0138	8.2087	0.1296	0.1211	0.0085
15	7.9945	8.0347	0.1403	0.1320	0.0084
16	7.7444	7.6087	0.1509	0.1425	0.0084
17	7.3250	8.1710	0.1610	0.1530	0.0080
18	6.8640	7.8724	0.1705	0.1638	0.0067
19	7.3028	7.0145	0.1800	0.1738	0.0062
20	6.5861	7.5218	0.1893	0.1835	0.0058
21	7.1861	7.1044	0.1985	0.1933	0.0052
22	6.9861	7.6812	0.2080	0.2032	0.0048
23	7.3722	7.4319	0.2176	0.2133	0.0043
24	7.0194	6.8493	0.2273	0.2229	0.0044
25	7.0112	6.2782	0.2367	0.2317	0.0050
26	6.9722	6.1275	0.2460	0.2400	0.0060
27	6.6111	6.5798	0.2551	0.2485	0.0066
28	6.7972	6.7449	0.2641	0.2574	0.0067
29	6.6945	6.7971	0.2732	0.2665	0.0067
30	6.7444	7.0406	0.2822	0.2758	0.0064
31	6.1583	6.1565	0.3081	0.3023	0.0058
32	5.9195	6.2057	0.3324	0.3272	0.0052
33	5.5666	6.0000	0.3555	0.3517	0.0038
34	5.5639	5.8898	0.3778	0.3756	0.0023
35	5.1166	5.4463	0.3993	0.3984	0.0009
36	5.1278	5.1798	0.4199	0.4197	0.0002
37	4.7444	5.2754	0.4397	0.4408	0.0010
38	5.1000	4.7943	0.4595	0.4610	0.0015
39	4.8750	4.8116	0.4796	0.4803	0.0007
40	4.5055	4.6638	0.4984	0.4993	0.0009

T A B L A 2B - 1A

CORRIDA NO. 1
(CE-AA)

CONTINUACIÓN

M	CO	CR	F60	F6R	H
41	4.3278	4.4435	0.5162	0.5177	0.0015
42	3.8639	4.6145	0.5327	0.5359	0.0032
43	4.1999	4.1681	0.5489	0.5535	0.0046
44	3.9056	3.8290	0.5652	0.5696	0.0044
45	3.7667	4.0058	0.5806	0.5853	0.0048
46	3.6389	3.3420	0.6104	0.6149	0.0045
47	2.9973	3.2523	0.6370	0.6414	0.0044
48	3.1111	2.7160	0.6616	0.6654	0.0038
49	2.7445	2.6522	0.6851	0.6870	0.0018
50	2.5278	2.5943	0.7063	0.7080	0.0017
51	2.5639	2.4754	0.7268	0.7284	0.0016
52	2.4056	2.1537	0.7468	0.7470	0.0003
53	3.0278	2.2957	0.7686	0.7649	0.0037
54	1.8166	1.8290	0.7881	0.7815	0.0066
55	1.7584	1.7594	0.8025	0.7959	0.0065
56	1.5861	1.6638	0.8159	0.8097	0.0062
57	1.4889	1.5855	0.8283	0.8227	0.0055
58	1.5055	1.3710	0.8403	0.8346	0.0057
59	1.2028	1.3131	0.8512	0.8454	0.0058
60	1.1028	1.1681	0.8605	0.8554	0.0051
61	0.9778	1.0435	0.8772	0.8732	0.0040
62	0.9334	0.8464	0.8925	0.8884	0.0042
63	0.7334	0.6870	0.9059	0.9007	0.0052
64	0.6333	0.6493	0.9169	0.9114	0.0055
65	0.5334	0.5450	0.9263	0.9210	0.0053
66	0.4278	0.4232	0.9340	0.9288	0.0052
67	0.3888	0.4174	0.9406	0.9356	0.0050
68	0.3500	0.3304	0.9465	0.9416	0.0049
69	0.2778	0.2928	0.9516	0.9466	0.0050
70	0.2222	0.2320	0.9556	0.9508	0.0048
71	0.2056	0.1889	0.9625	0.9576	0.0049
72	0.1472	0.1500	0.9682	0.9630	0.0051
73	0.0750	0.0861	0.9717	0.9668	0.0049
74	0.0250	0.0556	0.9733	0.9691	0.0042
75	0.0333	0.0473	0.9743	0.9708	0.0035
76	0.0166	0.0388	0.9751	0.9722	0.0029
77	0.0028	0.0029	0.9754	0.9728	0.0026
78	0.0029	0.0028	0.9755	0.9729	0.0026
79	0.0028	0.0000	0.9756	0.9730	0.0026
80	0.0000	0.0000	0.9756	0.9730	0.0027

T A B L A 2B - 2A

CORRIDA NO. 2
(M-AA)

#	CO	CR	F80	F8R	H
0	0.0000	0.0000	0.0000	0.0000	0.0000
1	0.9389	1.4116	0.0006	0.0009	0.0003
2	2.5387	3.7072	0.0030	0.0044	0.0014
3	4.2167	5.5160	0.0075	0.0106	0.0031
4	6.6389	7.5217	0.0148	0.0193	0.0045
5	8.3304	8.8667	0.0248	0.0303	0.0055
6	8.4195	8.0406	0.0360	0.0416	0.0056
7	8.4916	8.4928	0.0473	0.0527	0.0053
8	7.5973	7.7827	0.0581	0.0636	0.0055
9	8.0612	8.4464	0.0686	0.0745	0.0058
10	7.7861	7.7130	0.0792	0.0853	0.0061
11	8.1223	7.7536	0.0899	0.0956	0.0058
12	7.6528	7.7652	0.1005	0.1060	0.0056
13	7.6195	7.6029	0.1107	0.1163	0.0056
14	8.1416	7.2059	0.1213	0.1263	0.0050
15	7.6084	7.5390	0.1318	0.1361	0.0043
16	7.2861	7.4550	0.1418	0.1462	0.0044
17	6.9362	7.8348	0.1513	0.1564	0.0051
18	7.3444	7.3247	0.1609	0.1666	0.0057
19	7.5167	6.9391	0.1708	0.1761	0.0053
20	6.8723	6.8667	0.1805	0.1854	0.0049
21	6.9472	7.1333	0.1897	0.1948	0.0050
22	6.7278	7.1015	0.1989	0.2043	0.0054
23	7.3417	6.8898	0.2083	0.2137	0.0054
24	7.3333	6.6232	0.2182	0.2227	0.0046
25	6.7334	6.5130	0.2276	0.2315	0.0040
26	6.6167	6.5158	0.2365	0.2403	0.0037
27	6.7917	6.4870	0.2455	0.2490	0.0035
28	6.7945	6.1681	0.2546	0.2575	0.0028
29	5.9139	6.2464	0.2631	0.2658	0.0026
30	6.4638	6.6348	0.2714	0.2744	0.0030
31	6.0500	6.2115	0.2766	0.3002	0.0037
32	5.4972	5.4927	0.3198	0.3238	0.0040
33	5.2861	5.5188	0.3415	0.3459	0.0044
34	5.3028	5.8782	0.3627	0.3688	0.0061
35	5.0861	5.3217	0.3836	0.3913	0.0077
36	5.0139	4.6725	0.4039	0.4114	0.0075
37	4.9500	4.9565	0.4240	0.4307	0.0068
38	5.3028	4.9247	0.4446	0.4506	0.0061
39	4.2611	4.4957	0.4638	0.4695	0.0058
40	4.3139	4.2029	0.4810	0.4870	0.0060

T A B L A 2B - 2A

CORRIDA NO. 2
(M-AA)

CONTINUACIÓN

#	CO	CR	F80	F8R	H
41	4.4306	4.0087	0.4986	0.5035	0.0049
42	3.9639	4.6203	0.5155	0.5209	0.0054
43	4.1528	3.9999	0.5318	0.5382	0.0064
44	3.7695	3.7246	0.5477	0.5537	0.0060
45	3.7667	3.8493	0.5629	0.5690	0.0061
46	3.8472	3.4405	0.5935	0.5983	0.0048
47	3.1722	3.1537	0.6217	0.6248	0.0031
48	3.2472	2.8464	0.6475	0.6489	0.0014
49	2.9250	2.7334	0.6723	0.6713	0.0010
50	2.4611	2.4724	0.6939	0.6922	0.0017
51	2.5333	2.3682	0.7140	0.7117	0.0023
52	2.4139	2.1478	0.7339	0.7299	0.0041
53	1.8722	2.3971	0.7511	0.7481	0.0030
54	1.8999	1.9131	0.7463	0.7655	0.0008
55	1.8000	1.7941	0.7812	0.7804	0.0008
56	1.6000	1.5536	0.7949	0.7938	0.0010
57	1.5112	1.4667	0.8074	0.8060	0.0014
58	1.4056	1.4927	0.8191	0.8179	0.0012
59	1.3083	1.3507	0.8300	0.8293	0.0007
60	1.1833	1.3014	0.8400	0.8400	0.0001
61	1.0556	1.0523	0.8560	0.8589	0.0009
62	0.8444	0.8550	0.8733	0.8742	0.0009
63	0.7334	0.8494	0.8860	0.8879	0.0019
64	0.6360	0.6782	0.8970	0.9002	0.0032
65	0.5723	0.5942	0.9067	0.9104	0.0037
66	0.4667	0.5043	0.9150	0.9193	0.0042
67	0.3888	0.4348	0.9219	0.9268	0.0049
68	0.3416	0.3884	0.9278	0.9334	0.0056
69	0.2889	0.3246	0.9329	0.9392	0.0063
70	0.2167	0.2957	0.9369	0.9441	0.0072
71	0.1973	0.2028	0.9436	0.9522	0.0086
72	0.1278	0.1722	0.9488	0.9582	0.0094
73	0.0722	0.1222	0.9520	0.9629	0.0109
74	0.0583	0.1028	0.9541	0.9665	0.0124
75	0.0361	0.0889	0.9557	0.9696	0.0140
76	0.0250	0.0611	0.9566	0.9720	0.0154
77	0.0139	0.0501	0.9573	0.9738	0.0166
78	0.0056	0.0360	0.9576	0.9752	0.0176
79	0.0028	0.0417	0.9577	0.9765	0.0188
80	0.0000	0.0056	0.9577	0.9772	0.0195*

T A B L A 2B - 3A

CORRIDA NO. 3
(P-AA)

M	CO	CR	F80	F8R	H
0	0.0000	0.0000	0.0000	0.0000	0.0000
1	1.0139	3.9131	0.0007	0.0026	0.0019
2	2.2444	6.6261	0.0029	0.0097	0.0068
3	2.6056	8.8551	0.0061	0.0201	0.0139
4	3.6305	8.5653	0.0103	0.0317	0.0214
5	4.2083	8.5275	0.0155	0.0432	0.0276
6	5.1334	8.4870	0.0218	0.0546	0.0328
7	6.8944	8.4347	0.0299	0.0659	0.0361
8	8.6222	8.6522	0.0403	0.0774	0.0371
9	7.8695	8.1391	0.0513	0.0886	0.0373
10	8.3889	8.1072	0.0622	0.0995	0.0373
11	7.9750	8.0522	0.0732	0.1103	0.0372
12	8.5279	7.7652	0.0842	0.1209	0.0367
13	7.8500	7.8116	0.0952	0.1314	0.0362
14	7.6695	7.0059	0.1056	0.1413	0.0357
15	8.0390	7.3448	0.1161	0.1509	0.0348
16	7.8361	7.3594	0.1268	0.1608	0.0340
17	7.1722	7.6319	0.1368	0.1708	0.0340
18	6.8139	7.4058	0.1462	0.1809	0.0347
19	7.2805	7.2347	0.1556	0.1907	0.0351
20	7.4000	7.0203	0.1655	0.2002	0.0348
21	7.3500	7.1449	0.1753	0.2097	0.0344
22	6.9889	6.8956	0.1849	0.2191	0.0342
23	7.4556	6.8348	0.1946	0.2283	0.0337
24	7.3444	6.4203	0.2045	0.2372	0.0327
25	6.7917	6.6376	0.2140	0.2460	0.0320
26	6.7778	6.8116	0.2231	0.2550	0.0319
27	6.5000	6.2725	0.2320	0.2637	0.0317
28	6.5389	6.0232	0.2407	0.2720	0.0312
29	6.5112	6.4841	0.2495	0.2804	0.0309
30	6.5638	6.4899	0.2582	0.2890	0.0308
31	6.5806	6.1942	0.2647	0.3145	0.0299
32	5.7473	5.7798	0.3094	0.3386	0.0292
33	5.8138	5.8783	0.3327	0.3620	0.0294
34	5.3611	5.6579	0.3551	0.3852	0.0301
35	4.8305	5.4145	0.3756	0.4075	0.0319
36	5.3833	4.7015	0.3962	0.4278	0.0317
37	5.0472	5.0550	0.4171	0.4474	0.0303
38	5.0111	4.6261	0.4373	0.4669	0.0296
39	4.6222	4.7217	0.4567	0.4857	0.0290
40	4.5472	4.1479	0.4751	0.5035	0.0284

T A B L A 2B - 3A

CORRIDA NO. 3
(P-AA)

CONTINUACION

N	CO	CR	F80	F8R	H
41	4.3888	4.3623	0.4931	0.5206	0.0275
42	4.0944	4.2029	0.5101	0.5378	0.0277
43	4.2027	4.1710	0.5268	0.5547	0.0278
44	3.8778	3.4957	0.5431	0.5701	0.0270
45	3.8223	3.7768	0.5585	0.5847	0.0262
46	3.9528	3.2521	0.5898	0.6129	0.0232
47	3.4472	3.0261	0.6195	0.6382	0.0186
48	3.1723	2.7594	0.6462	0.6614	0.0153
49	2.8278	2.7189	0.6703	0.6835	0.0132
50	2.8973	2.3971	0.6933	0.7040	0.0107
51	2.5333	2.2493	0.7151	0.7227	0.0076
52	2.4806	2.0087	0.7353	0.7398	0.0046
53	2.1167	2.1855	0.7538	0.7567	0.0029
54	1.8999	1.8463	0.7699	0.7729	0.0030
55	1.7751	1.6724	0.7847	0.7870	0.0024
56	1.6917	1.5970	0.7986	0.8002	0.0016
57	1.4778	1.4348	0.8114	0.8124	0.0010
58	1.5194	1.3333	0.8234	0.8235	0.0001
59	1.3612	1.2899	0.8350	0.8340	0.0009
60	1.1889	1.2319	0.8452	0.8442	0.0011
61	1.0806	0.9942	0.8635	0.8621	0.0014
62	0.9556	0.8232	0.8799	0.8767	0.0032
63	0.8222	0.7711	0.8941	0.8895	0.0046
64	0.6528	0.6812	0.9060	0.9012	0.0048
65	0.6195	0.5768	0.9162	0.9113	0.0049
66	0.5084	0.4782	0.9253	0.9198	0.0055
67	0.4583	0.4058	0.9331	0.9269	0.0062
68	0.4055	0.3681	0.9400	0.9331	0.0069
69	0.3278	0.2928	0.9459	0.9384	0.0075
70	0.2750	0.2406	0.9508	0.9427	0.0080
71	0.2417	0.2000	0.9591	0.9498	0.0093
72	0.1778	0.1583	0.9658	0.9556	0.0103
73	0.1167	0.1083	0.9705	0.9598	0.0107
74	0.0667	0.0917	0.9735	0.9631	0.0104
75	0.0610	0.0722	0.9756	0.9657	0.0099
76	0.0555	0.0500	0.9774	0.9677	0.0098
77	0.0528	0.0250	0.9792	0.9689	0.0103
78	0.0361	0.0194	0.9806	0.9696	0.0110
79	0.0305	0.0167	0.9817	0.9702	0.0115
80	0.0223	0.0250	0.9825	0.9708	0.0117

T A B L A 2B - 4A

CORRIDA NO. 4
(CE-SL)

N	CO	CR	F80	F8R	H
0	0.0000	0.0000	0.0000	0.0000	0.0000
1	1.7667	1.2667	0.0012	0.0008	0.0003
2	1.8027	2.0986	0.0036	0.0031	0.0005
3	2.0555	3.8958	0.0062	0.0071	0.0010
4	3.1500	5.2870	0.0096	0.0133	0.0036
5	8.0862	7.7333	0.0172	0.0220	0.0048
6	8.9528	8.8406	0.0286	0.0331	0.0045
7	7.9250	8.0492	0.0399	0.0444	0.0045
8	8.4611	8.4145	0.0509	0.0554	0.0046
9	8.3306	8.0174	0.0621	0.0665	0.0043
10	8.9500	8.1623	0.0737	0.0773	0.0036
11	8.0278	8.2290	0.0851	0.0883	0.0032
12	7.2556	7.6232	0.0953	0.0989	0.0036
13	7.9001	7.6058	0.1055	0.1091	0.0036
14	7.8666	7.6000	0.1160	0.1193	0.0033
15	7.7806	7.5275	0.1265	0.1294	0.0029
16	7.2944	7.5883	0.1366	0.1396	0.0029
17	7.5083	7.2117	0.1465	0.1495	0.0029
18	7.5111	7.3073	0.1566	0.1592	0.0026
19	7.4167	7.2086	0.1666	0.1689	0.0023
20	7.5028	6.9681	0.1766	0.1784	0.0018
21	7.4750	7.0290	0.1866	0.1878	0.0012
22	6.8889	7.0464	0.1963	0.1972	0.0010
23	6.9666	6.4696	0.2055	0.2063	0.0007
24	7.3666	6.7971	0.2151	0.2152	0.0000
25	6.7723	6.7536	0.2246	0.2243	0.0004
26	6.6556	6.3680	0.2336	0.2330	0.0006
27	6.7306	6.6696	0.2426	0.2418	0.0008
28	6.6862	6.5739	0.2516	0.2507	0.0009
29	6.6640	6.4348	0.2605	0.2594	0.0012
30	6.3249	6.2551	0.2692	0.2679	0.0014
31	6.2639	6.0232	0.2945	0.2926	0.0020
32	6.1306	5.8637	0.3194	0.3164	0.0030
33	6.2222	6.1304	0.3443	0.3406	0.0037
34	5.3279	5.6318	0.3675	0.3642	0.0033
35	5.4666	5.5652	0.3892	0.3867	0.0025
36	5.3528	4.8348	0.4109	0.4076	0.0033
37	4.9083	5.0783	0.4316	0.4275	0.0040
38	4.8000	4.8522	0.4511	0.4475	0.0036
39	4.6278	4.7015	0.4700	0.4667	0.0033
40	4.5333	4.3826	0.4884	0.4850	0.0035

T A B L A 2B - 4A

CORRIDA NO. 4
(CE-SL)

CONTINUACIÓN

M	CO	CR	FBO	FBR	H
41	4.4194	4.1653	0.5064	0.5021	0.0043
42	4.3722	4.7130	0.5241	0.5200	0.0041
43	4.3000	4.3855	0.5415	0.5383	0.0033
44	3.9972	3.8725	0.5582	0.5549	0.0033
45	4.0723	4.0493	0.5744	0.5708	0.0036
46	3.7500	3.2202	0.6059	0.6000	0.0059
47	3.3194	3.1827	0.6343	0.6258	0.0085
48	3.0917	2.8204	0.6601	0.6499	0.0102
49	2.9028	2.7536	0.6842	0.6723	0.0119
50	2.5222	2.3971	0.7060	0.6930	0.0130
51	2.3695	2.4203	0.7256	0.7124	0.0133
52	2.3722	2.0928	0.7447	0.7305	0.0142
53	2.2750	2.3710	0.7634	0.7484	0.0149
54	2.0694	2.0754	0.7808	0.7663	0.0145
55	1.7944	1.7594	0.7964	0.7817	0.0146
56	1.6444	1.5246	0.8102	0.7949	0.0153
57	1.5556	1.5478	0.8231	0.8073	0.0158
58	1.4250	1.4087	0.8350	0.8192	0.0159
59	1.3417	1.3652	0.8462	0.8303	0.0158
60	1.1889	1.2058	0.8563	0.8407	0.0157
61	1.1000	1.0724	0.8747	0.8590	0.0158
62	1.0277	0.8812	0.8916	0.8747	0.0172
63	0.8056	0.7884	0.9066	0.8881	0.0185
64	0.7166	0.6869	0.9188	0.9000	0.0189
65	0.6139	0.5797	0.9295	0.9102	0.0194
66	0.5361	0.5043	0.9388	0.9189	0.0199
67	0.4472	0.4609	0.9467	0.9266	0.0200
68	0.3889	0.3884	0.9534	0.9335	0.0199
69	0.3195	0.3188	0.9591	0.9391	0.0199
70	0.2750	0.2668	0.9639	0.9439	0.0200
71	0.2417	0.2083	0.9722	0.9515	0.0207
72	0.2028	0.1639	0.9793	0.9575	0.0218
73	0.1611	0.1222	0.9852	0.9621	0.0231
74	0.0972	0.1028	0.9893	0.9657	0.0236
75	0.0889	0.0833	0.9923	0.9687	0.0236
76	0.0694	0.0583	0.9949	0.9710	0.0239
77	0.0501	0.0445	0.9968	0.9726	0.0242
78	0.0139	0.0416	0.9978	0.9740	0.0238
79	0.0111	0.0278	0.9982	0.9751	0.0231
80	0.0056	0.0083	0.9985	0.9757	0.0228

T A B L A 2B - 5A

CORRIDA NO. 5
(M-SL)

H	CO	CR	FOD	FOR	H
0	0.0000	0.0000	0.0000	0.0000	0.0000
1	1.8528	2.1043	0.0012	0.0014	0.0002
2	2.7416	3.4029	0.0043	0.0051	0.0008
3	3.7139	4.5420	0.0086	0.0104	0.0018
4	4.1250	6.2000	0.0152	0.0176	0.0024
5	7.6000	8.6145	0.0244	0.0275	0.0031
6	8.6806	7.9218	0.0353	0.0386	0.0033
7	8.5000	7.9536	0.0469	0.0493	0.0024
8	8.3861	8.0464	0.0582	0.0600	0.0018
9	8.2223	8.0608	0.0693	0.0708	0.0015
10	7.9834	7.8638	0.0802	0.0814	0.0013
11	7.5000	7.7942	0.0905	0.0919	0.0014
12	7.8416	7.9247	0.1008	0.1025	0.0017
13	7.8806	7.6116	0.1113	0.1129	0.0015
14	8.0472	7.5218	0.1220	0.1230	0.0010
15	7.5917	7.6840	0.1325	0.1332	0.0007
16	7.8139	7.6115	0.1428	0.1435	0.0006
17	7.5278	7.6610	0.1531	0.1537	0.0006
18	7.5445	7.1768	0.1632	0.1636	0.0004
19	7.5000	6.8145	0.1733	0.1730	0.0003
20	7.7944	7.1594	0.1835	0.1824	0.0012
21	7.0334	7.0725	0.1934	0.1919	0.0016
22	6.7861	7.1160	0.2027	0.2014	0.0013
23	7.2139	7.0638	0.2121	0.2109	0.0012
24	6.8694	6.8174	0.2215	0.2202	0.0013
25	6.8417	6.4783	0.2307	0.2291	0.0016
26	7.1500	6.7391	0.2401	0.2380	0.0021
27	6.6139	6.6899	0.2493	0.2470	0.0023
28	6.4890	6.4609	0.2581	0.2558	0.0023
29	6.5889	6.7218	0.2668	0.2646	0.0022
30	6.8055	6.4406	0.2758	0.2734	0.0024
31	6.1222	5.9507	0.3018	0.2983	0.0035
32	6.0639	5.6348	0.3263	0.3216	0.0047
33	5.7250	5.8261	0.3500	0.3447	0.0053
34	5.5639	5.5478	0.3727	0.3675	0.0052
35	5.1945	5.1565	0.3943	0.3890	0.0053
36	5.3806	5.0406	0.4156	0.4095	0.0060
37	5.0444	5.0319	0.4365	0.4298	0.0067
38	4.6999	4.6232	0.4561	0.4492	0.0069
39	4.3750	4.7479	0.4743	0.4680	0.0063
40	4.4806	4.4521	0.4921	0.4865	0.0056

T A B L A 2B - 5A

CORRIDA NO. 5
(M-SL)

CONTINUACIÓN

N	CD	CR	F60	F6R	H
41	4.4416	4.1101	0.5101	0.5037	0.0064
42	4.3666	4.3652	0.5278	0.5208	0.0070
43	4.2666	4.1130	0.5451	0.5378	0.0073
44	3.8833	3.7102	0.5615	0.5535	0.0080
45	3.8972	3.8870	0.5772	0.5688	0.0084
46	3.4250	3.4086	0.6066	0.5981	0.0085
47	3.2250	3.1247	0.6333	0.6244	0.0089
48	3.1972	2.9913	0.6591	0.6490	0.0102
49	2.7333	2.8435	0.6830	0.6724	0.0106
50	2.6167	2.6580	0.7045	0.6945	0.0099
51	2.5028	2.3855	0.7251	0.7148	0.0103
52	2.1222	2.1941	0.7437	0.7332	0.0104
53	2.0722	2.3246	0.7605	0.7514	0.0091
54	1.8917	1.8986	0.7765	0.7684	0.0081
55	1.7751	1.7420	0.7912	0.7830	0.0082
56	1.5861	1.5739	0.8047	0.7963	0.0084
57	1.5444	1.4811	0.8173	0.8086	0.0087
58	1.3944	1.4261	0.8291	0.8203	0.0088
59	1.3195	1.2319	0.8400	0.8310	0.0090
60	1.2583	1.2116	0.8504	0.8408	0.0096
61	1.1111	1.0377	0.8694	0.8589	0.0105
62	0.9862	0.8319	0.8863	0.8739	0.0124
63	0.8611	0.7334	0.9011	0.8865	0.0146
64	0.6917	0.6840	0.9136	0.8979	0.0157
65	0.6001	0.5855	0.9240	0.9081	0.0159
66	0.4972	0.4812	0.9328	0.9167	0.0161
67	0.4555	0.4434	0.9405	0.9241	0.0164
68	0.3916	0.3855	0.9473	0.9308	0.0165
69	0.3278	0.3043	0.9531	0.9363	0.0168
70	0.2723	0.2523	0.9579	0.9408	0.0171
71	0.2417	0.2028	0.9662	0.9481	0.0181
72	0.1500	0.1472	0.9725	0.9538	0.0187
73	0.0833	0.1055	0.9762	0.9578	0.0184
74	0.0500	0.0778	0.9784	0.9608	0.0176
75	0.0361	0.0667	0.9798	0.9631	0.0167
76	0.0250	0.0416	0.9807	0.9648	0.0159
77	0.0223	0.0250	0.9815	0.9659	0.0156
78	0.0083	0.0110	0.9820	0.9665	0.0155
79	0.0028	0.0056	0.9822	0.9668	0.0154
80	0.0000	0.0000	0.9822	0.9668	0.0154

T A B L A 2B - 6A

CORRIDA NO. 6
(P-SL)

M	CO	CR	F00	F0R	H
0	0.0000	0.0000	0.0000	0.0000	0.0000
1	1.6389	0.7072	0.0011	0.0005	0.0006
2	1.9860	2.5681	0.0035	0.0027	0.0009
3	3.1278	3.5362	0.0070	0.0068	0.0002
4	4.6306	7.4261	0.0122	0.0141	0.0020
5	5.8194	8.1452	0.0192	0.0245	0.0054
6	9.0167	8.2841	0.0291	0.0356	0.0065
7	8.2222	8.1913	0.0406	0.0466	0.0060
8	8.1805	8.0261	0.0516	0.0575	0.0058
9	8.3279	8.0145	0.0627	0.0682	0.0055
10	8.1028	7.6260	0.0737	0.0787	0.0050
11	7.7362	7.5623	0.0843	0.0889	0.0046
12	8.0529	7.2493	0.0949	0.0988	0.0039
13	7.9667	7.3536	0.1056	0.1086	0.0030
14	7.3194	7.5218	0.1159	0.1186	0.0027
15	7.7222	7.3884	0.1259	0.1285	0.0026
16	7.7362	7.6521	0.1363	0.1386	0.0023
17	7.5639	7.3421	0.1466	0.1487	0.0021
18	7.3000	7.1884	0.1565	0.1584	0.0019
19	7.1695	7.1797	0.1662	0.1680	0.0018
20	7.1417	7.1739	0.1758	0.1776	0.0018
21	7.5139	7.0116	0.1856	0.1871	0.0015
22	6.6750	7.1275	0.1951	0.1966	0.0015
23	7.2889	6.3971	0.2045	0.2057	0.0012
24	6.9583	6.7102	0.2140	0.2145	0.0004
25	7.0417	6.6087	0.2234	0.2234	0.0000
26	6.6250	6.0695	0.2326	0.2319	0.0007
27	6.8667	6.2783	0.2416	0.2402	0.0014
28	6.5556	6.2175	0.2506	0.2485	0.0021
29	6.2195	6.3334	0.2592	0.2569	0.0022
30	6.3611	6.4232	0.2676	0.2655	0.0021
31	6.5916	6.2290	0.2736	0.2709	0.0027
32	5.9917	5.6928	0.3189	0.3149	0.0040
33	5.8527	5.5449	0.3427	0.3375	0.0053
34	5.3389	5.5623	0.3652	0.3598	0.0054
35	5.4527	5.2956	0.3869	0.3816	0.0053
36	5.3833	4.7130	0.4087	0.4017	0.0069
37	4.8999	4.8609	0.4294	0.4210	0.0084
38	5.1138	4.4232	0.4495	0.4396	0.0098
39	4.7222	4.4087	0.4692	0.4574	0.0119
40	4.6250	4.5014	0.4880	0.4753	0.0127

T A B L A 2B - 6A

CORRIDA NO. 6
IP-SLI

CONTINUACION

N	CO	CR	FDD	FGR	H
41	4.1500	4.0928	0.5057	0.4926	0.0131
42	4.5027	4.3914	0.5231	0.5096	0.0134
43	4.2555	4.0115	0.5407	0.5265	0.0142
44	3.9472	3.5826	0.5572	0.5418	0.0154
45	3.9611	3.9363	0.5731	0.5569	0.0162
46	3.7778	3.2898	0.6042	0.5859	0.0182
47	3.3055	3.2725	0.6326	0.6123	0.0203
48	3.1944	2.9450	0.6588	0.6373	0.0215
49	2.6750	2.8494	0.6824	0.6606	0.0218
50	2.5195	2.3797	0.7032	0.6816	0.0216
51	2.6417	2.4000	0.7240	0.7008	0.0232
52	2.2556	2.1652	0.7437	0.7192	0.0245
53	2.1333	2.1855	0.7613	0.7367	0.0246
54	1.7528	1.8318	0.7769	0.7528	0.0241
55	1.7472	1.7884	0.7910	0.7674	0.0236
56	1.5972	1.5768	0.8045	0.7809	0.0235
57	1.4668	1.5217	0.8168	0.7934	0.0234
58	1.3555	1.4116	0.8281	0.8052	0.0230
59	1.3111	1.3421	0.8388	0.8162	0.0226
60	1.1889	1.1855	0.8489	0.8264	0.0225
61	1.0362	0.9913	0.8668	0.8439	0.0229
62	0.9473	0.8580	0.8827	0.8588	0.0240
63	0.7778	0.7304	0.8966	0.8715	0.0251
64	0.6195	0.6754	0.9078	0.8828	0.0250
65	0.5361	0.5536	0.9171	0.8927	0.0244
66	0.4778	0.4491	0.9253	0.9008	0.0245
67	0.4278	0.3913	0.9326	0.9075	0.0250
68	0.3556	0.3246	0.9389	0.9133	0.0256
69	0.3028	0.2638	0.9441	0.9180	0.0261
70	0.2139	0.2174	0.9483	0.9219	0.0264
71	0.2167	0.1639	0.9552	0.9280	0.0272
72	0.1556	0.1250	0.9612	0.9327	0.0285
73	0.0972	0.0722	0.9653	0.9358	0.0294
74	0.0445	0.0556	0.9676	0.9379	0.0297
75	0.0361	0.0361	0.9689	0.9394	0.0295
76	0.0306	0.0083	0.9699	0.9401	0.0298
77	0.0361	0.0057	0.9710	0.9403	0.0307
78	0.0194	0.0028	0.9719	0.9404	0.0314
79	0.0111	0.0028	0.9724	0.9405	0.0318
80	0.0027	0.0000	0.9726	0.9406	0.0320

T A B L A 2B - 1B

CORRIDA NO. 1
(CE-AA)

M	CO	CR	F80	F8R	H
0	0.0000	0.0000	0.0000	0.0000	0.0000
1	1.5722	1.2927	0.0011	0.0009	0.0002
2	3.6360	2.4609	0.0046	0.0035	0.0012
3	5.4389	3.2522	0.0108	0.0074	0.0034
4	7.6305	4.4174	0.0197	0.0126	0.0071
5	8.4583	5.9189	0.0307	0.0197	0.0110
6	8.7500	9.0088	0.0424	0.0299	0.0125
7	8.3055	9.8637	0.0540	0.0428	0.0112
8	8.2138	8.6291	0.0653	0.0554	0.0099
9	8.4500	8.5449	0.0767	0.0672	0.0095
10	8.3222	8.3362	0.0881	0.0787	0.0094
11	8.0528	8.2377	0.0992	0.0901	0.0092
12	7.8862	8.4203	0.1101	0.1015	0.0086
13	8.0084	7.8811	0.1209	0.1126	0.0083
14	8.0138	8.2087	0.1319	0.1236	0.0082
15	7.9945	8.0347	0.1428	0.1347	0.0080
16	7.7444	7.6087	0.1535	0.1454	0.0081
17	7.3250	8.1710	0.1638	0.1562	0.0076
18	6.8640	7.8724	0.1734	0.1672	0.0063
19	7.3028	7.0145	0.1831	0.1774	0.0057
20	6.5861	7.5218	0.1926	0.1873	0.0053
21	7.1861	7.1044	0.2020	0.1973	0.0046
22	6.9861	7.6812	0.2116	0.2074	0.0042
23	7.3722	7.4319	0.2214	0.2178	0.0036
24	7.0194	6.8493	0.2312	0.2275	0.0037
25	7.0112	6.2782	0.2408	0.2365	0.0043
26	6.9722	6.1275	0.2503	0.2450	0.0053
27	6.6111	6.5798	0.2596	0.2537	0.0059
28	6.7972	6.7449	0.2687	0.2628	0.0059
29	6.6945	6.7971	0.2779	0.2721	0.0058
30	6.7444	7.0406	0.2871	0.2815	0.0055
31	6.1583	6.1565	0.3134	0.3086	0.0048
32	5.9195	6.2057	0.3381	0.3340	0.0042
33	5.5666	6.0000	0.3616	0.3590	0.0026
34	5.5639	5.8898	0.3844	0.3834	0.0010
35	5.1166	5.4463	0.4062	0.4067	0.0005
36	5.1278	5.1798	0.4272	0.4285	0.0013
37	4.7444	5.2754	0.4474	0.4499	0.0026
38	5.1000	4.7943	0.4675	0.4706	0.0031
39	4.8750	4.8116	0.4879	0.4903	0.0024
40	4.5055	4.6638	0.5071	0.5098	0.0027

T A B L A 2B - 1B

CORRIDA NO. 1
(CE-AA)

CONTINUACIÓN

N	CO	CR	F80	F8R	H
41	4.3278	4.4435	0.5251	0.5284	0.0033
42	3.8639	4.6145	0.5419	0.5470	0.0051
43	4.1999	4.1681	0.5584	0.5650	0.0067
44	3.9056	3.8290	0.5749	0.5815	0.0065
45	3.7667	4.0058	0.5906	0.5975	0.0069
46	3.6389	3.3420	0.6209	0.6277	0.0068
47	2.9973	3.2523	0.6481	0.6547	0.0067
48	3.1111	2.7160	0.6730	0.6792	0.0062
49	2.7445	2.6522	0.6970	0.7013	0.0043
50	2.5278	2.5943	0.7185	0.7228	0.0043
51	2.5639	2.4754	0.7394	0.7436	0.0042
52	2.4056	2.1537	0.7597	0.7626	0.0029
53	3.0278	2.2957	0.7819	0.7809	0.0011
54	1.8166	1.8290	0.8017	0.7978	0.0039
55	1.7584	1.7594	0.8163	0.8125	0.0038
56	1.5861	1.6638	0.8300	0.8266	0.0035
57	1.4889	1.5855	0.8426	0.8399	0.0027
58	1.5055	1.3710	0.8548	0.8520	0.0028
59	1.2028	1.3131	0.8659	0.8630	0.0029
60	1.1028	1.1681	0.8753	0.8732	0.0021
61	0.9778	1.0435	0.8924	0.8914	0.0010
62	0.9334	0.8464	0.9080	0.9069	0.0011
63	0.7334	0.6870	0.9216	0.9195	0.0022
64	0.6333	0.6493	0.9328	0.9304	0.0024
65	0.5334	0.5450	0.9423	0.9402	0.0021
66	0.4278	0.4232	0.9502	0.9482	0.0020
67	0.3888	0.4174	0.9569	0.9551	0.0018
68	0.3500	0.3304	0.9629	0.9612	0.0017
69	0.2778	0.2928	0.9681	0.9663	0.0017
70	0.2222	0.2320	0.9722	0.9706	0.0015
71	0.2056	0.1889	0.9792	0.9776	0.0016
72	0.1472	0.1500	0.9849	0.9831	0.0018
73	0.0750	0.0861	0.9886	0.9870	0.0016
74	0.0250	0.0356	0.9902	0.9893	0.0009
75	0.0333	0.0473	0.9911	0.9910	0.0001
76	0.0166	0.0388	0.9920	0.9924	0.0005
77	0.0028	0.0029	0.9923	0.9931	0.0008
78	0.0029	0.0028	0.9924	0.9932	0.0008
79	0.0028	0.0000	0.9925	0.9932	0.0008
80	0.0000	0.0000	0.9925	0.9932	0.0007

T A B L A 2B - 2B

CORRIDA NO. 2
(M-AA)

M	CO	CR	F80	F8R	H
0	0.0000	0.0000	0.0000	0.0000	0.0000
1	0.9389	1.4116	0.0006	0.0010	0.0003
2	2.5387	3.7072	0.0030	0.0045	0.0014
3	4.2167	5.5160	0.0077	0.0108	0.0031
4	6.6389	7.5217	0.0151	0.0197	0.0045
5	8.3306	8.8667	0.0254	0.0309	0.0055
6	8.4195	8.0406	0.0370	0.0425	0.0055
7	8.4916	8.4928	0.0486	0.0538	0.0052
8	7.5973	7.7827	0.0596	0.0649	0.0053
9	8.0612	8.4464	0.0704	0.0760	0.0056
10	7.7861	7.7130	0.0813	0.0871	0.0057
11	8.1223	7.7536	0.0922	0.0976	0.0054
12	7.6528	7.7652	0.1031	0.1082	0.0052
13	7.6195	7.6029	0.1136	0.1188	0.0052
14	8.1416	7.2059	0.1244	0.1289	0.0045
15	7.6084	7.5390	0.1353	0.1390	0.0037
16	7.2861	7.4550	0.1455	0.1492	0.0037
17	6.9362	7.8348	0.1553	0.1597	0.0044
18	7.3444	7.3247	0.1651	0.1701	0.0050
19	7.5167	6.9391	0.1753	0.1798	0.0045
20	6.8723	6.8667	0.1852	0.1893	0.0040
21	6.9472	7.1333	0.1947	0.1988	0.0041
22	6.7278	7.1015	0.2041	0.2086	0.0044
23	7.3417	6.8898	0.2138	0.2181	0.0043
24	7.3333	6.6232	0.2239	0.2274	0.0035
25	6.7334	6.5130	0.2336	0.2364	0.0028
26	6.6167	6.5158	0.2427	0.2453	0.0025
27	6.7917	6.4870	0.2520	0.2542	0.0022
28	6.7945	6.1681	0.2613	0.2628	0.0015
29	5.9139	6.2464	0.2700	0.2713	0.0013
30	6.4638	6.6348	0.2785	0.2801	0.0016
31	6.0500	6.2115	0.3044	0.3065	0.0021
32	5.4972	5.4927	0.3282	0.3305	0.0023
33	5.2861	5.5188	0.3504	0.3531	0.0027
34	5.3028	5.8782	0.3723	0.3765	0.0042
35	5.0861	5.3217	0.3937	0.3994	0.0058
36	5.0139	4.6725	0.4145	0.4200	0.0054
37	4.9500	4.9565	0.4351	0.4397	0.0046
38	5.3028	4.9247	0.4562	0.4600	0.0038
39	4.2611	4.4957	0.4760	0.4793	0.0034
40	4.3139	4.2029	0.4936	0.4972	0.0035

T A B L A 2B - 2B

CORRIDA NO. 2
(M-AA)

CONTINUACIÓN

M	CO	CR	F80	F8R	H
41	4.4306	4.0087	0.5117	0.5140	0.0023
42	3.9639	4.6203	0.5290	0.5317	0.0027
43	4.1528	3.9999	0.5457	0.5494	0.0037
44	3.7695	3.7246	0.5621	0.5653	0.0032
45	3.7667	3.8493	0.5776	0.5808	0.0032
46	3.8472	3.4405	0.6090	0.6107	0.0017
47	3.1722	3.1537	0.6380	0.6378	0.0002
48	3.2472	2.8464	0.6645	0.6624	0.0021
49	2.9250	2.7334	0.6899	0.6853	0.0047
50	2.4611	2.4724	0.7122	0.7067	0.0055
51	2.5333	2.3682	0.7328	0.7265	0.0063
52	2.4139	2.1478	0.7532	0.7451	0.0081
53	1.8722	2.3971	0.7709	0.7637	0.0072
54	1.8999	1.9131	0.7864	0.7814	0.0050
55	1.8000	1.7941	0.8017	0.7966	0.0051
56	1.6000	1.5536	0.8157	0.8103	0.0054
57	1.5112	1.4667	0.8285	0.8227	0.0058
58	1.4056	1.4927	0.8406	0.8349	0.0057
59	1.3083	1.3507	0.8518	0.8465	0.0052
60	1.1833	1.3014	0.8621	0.8574	0.0046
61	1.0556	1.0523	0.8805	0.8767	0.0038
62	0.8444	0.8550	0.8962	0.8924	0.0038
63	0.7334	0.8494	0.9092	0.9064	0.0028
64	0.6360	0.6782	0.9205	0.9189	0.0016
65	0.5723	0.5942	0.9305	0.9294	0.0011
66	0.4667	0.5043	0.9391	0.9384	0.0007
67	0.3888	0.4348	0.9461	0.9461	0.0000
68	0.3414	0.3604	0.9522	0.9529	0.0007
69	0.2855	0.3246	0.9574	0.9587	0.0013
70	0.2167	0.2957	0.9615	0.9638	0.0023
71	0.1973	0.2628	0.9634	0.9720	0.0036
72	0.1276	0.1722	0.9737	0.9781	0.0044
73	0.0722	0.1222	0.9770	0.9830	0.0059
74	0.0585	0.1028	0.9792	0.9867	0.0075
75	0.0511	0.0369	0.9807	0.9898	0.0091
76	0.0250	0.0611	0.9817	0.9923	0.0105
77	0.0139	0.0501	0.9824	0.9941	0.0117
78	0.0056	0.0360	0.9827	0.9955	0.0128
79	0.0028	0.0417	0.9828	0.9968	0.0139
80	0.0000	0.0056	0.9829	0.9976	0.0147

T A B L A 2B - 3B

CORRIDA NO. 3
(P-AA)

N	CO	CR	F80	F8R	H
0	0.0000	0.0000	0.0000	0.0000	0.0000
1	1.0139	3.9131	0.0007	0.0027	0.0020
2	2.2444	6.6261	0.0029	0.0099	0.0070
3	2.6056	8.8551	0.0062	0.0205	0.0143
4	3.6305	8.5653	0.0104	0.0324	0.0220
5	4.2083	8.5275	0.0157	0.0441	0.0284
6	5.1334	8.4870	0.0220	0.0558	0.0338
7	6.8944	8.4347	0.0301	0.0674	0.0372
8	8.6222	8.6522	0.0406	0.0791	0.0385
9	7.8695	8.1391	0.0517	0.0906	0.0388
10	8.3889	8.1072	0.0627	0.1017	0.0389
11	7.9750	8.0522	0.0738	0.1127	0.0390*
12	8.5279	7.7652	0.0849	0.1236	0.0386
13	7.8500	7.8116	0.0960	0.1342	0.0382
14	7.6695	7.0059	0.1065	0.1444	0.0379
15	8.0390	7.3448	0.1171	0.1542	0.0371
16	7.8361	7.3594	0.1278	0.1643	0.0364
17	7.1722	7.6319	0.1380	0.1745	0.0366
18	6.8139	7.4058	0.1474	0.1848	0.0374
19	7.2805	7.2347	0.1569	0.1949	0.0379
20	7.4000	7.0203	0.1669	0.2046	0.0377
21	7.3500	7.1449	0.1768	0.2143	0.0375
22	6.9889	6.8956	0.1865	0.2239	0.0374
23	7.4556	6.8348	0.1963	0.2333	0.0370
24	7.3444	6.4203	0.2063	0.2424	0.0361
25	6.7917	6.6376	0.2158	0.2513	0.0355
26	6.7778	6.8116	0.2250	0.2606	0.0355
27	6.5000	6.2725	0.2340	0.2695	0.0355
28	6.5389	6.0232	0.2428	0.2779	0.0351
29	6.5112	6.4841	0.2516	0.2865	0.0349
30	6.5638	6.4899	0.2604	0.2954	0.0349
31	6.5806	6.1942	0.2871	0.3214	0.0343
32	5.7473	5.7798	0.3121	0.3460	0.0339
33	5.8138	5.8783	0.3355	0.3700	0.0345
34	5.3611	5.6579	0.3582	0.3937	0.0355
35	4.8305	5.4145	0.3788	0.4164	0.0376
36	5.3833	4.7015	0.3995	0.4372	0.0376
37	5.0472	5.0550	0.4207	0.4572	0.0365
38	5.0111	4.6261	0.4411	0.4771	0.0360
39	4.6222	4.7217	0.4606	0.4963	0.0357
40	4.5472	4.1479	0.4792	0.5145	0.0353

T A B L A 2B - 3B

CORRIDA NO. 3
(P-AA)

CONTINUACION

M	CO	CR	F60	F6R	H
41	4.3888	4.3623	0.4973	0.5320	0.0347
42	4.0944	4.2029	0.5145	0.5496	0.0351
43	4.2027	4.1710	0.5313	0.5668	0.0355
44	3.8778	3.4957	0.5477	0.5825	0.0348
45	3.8223	3.7769	0.5633	0.5975	0.0342
46	3.9528	3.2521	0.5948	0.6264	0.0315
47	3.4472	3.0261	0.6248	0.6521	0.0273
48	3.1723	2.7594	0.6517	0.6759	0.0242
49	2.8278	2.7189	0.6760	0.6984	0.0224
50	2.8973	2.3971	0.6992	0.7194	0.0202
51	2.5333	2.2493	0.7212	0.7385	0.0173
52	2.4806	2.0087	0.7415	0.7560	0.0145
53	2.1167	2.1855	0.7602	0.7732	0.0131
54	1.8999	1.8463	0.7765	0.7898	0.0133
55	1.7751	1.6724	0.7914	0.8043	0.0129
56	1.6917	1.5970	0.8054	0.8177	0.0123
57	1.4778	1.4348	0.8183	0.8301	0.0119
58	1.5194	1.3333	0.8304	0.8415	0.0111
59	1.3612	1.2899	0.8421	0.8523	0.0102
60	1.1889	1.2319	0.8524	0.8627	0.0102
61	1.0806	0.9942	0.8708	0.8809	0.0101
62	0.9556	0.8232	0.8874	0.8959	0.0085
63	0.8222	0.7711	0.9018	0.9090	0.0072
64	0.6528	0.6812	0.9137	0.9209	0.0072
65	0.6195	0.5768	0.9241	0.9312	0.0072
66	0.5084	0.4782	0.9332	0.9399	0.0067
67	0.4583	0.4058	0.9410	0.9472	0.0061
68	0.4055	0.3681	0.9480	0.9535	0.0055
69	0.3278	0.2928	0.9540	0.9590	0.0050
70	0.2750	0.2406	0.9589	0.9633	0.0045
71	0.2417	0.2000	0.9673	0.9706	0.0033
72	0.1778	0.1583	0.9741	0.9765	0.0024
73	0.1167	0.1083	0.9788	0.9808	0.0020
74	0.0667	0.0917	0.9818	0.9841	0.0023
75	0.0610	0.0722	0.9839	0.9868	0.0030
76	0.0555	0.0500	0.9858	0.9888	0.0031
77	0.0528	0.0250	0.9875	0.9901	0.0025
78	0.0361	0.0194	0.9890	0.9908	0.0018
79	0.0305	0.0167	0.9900	0.9914	0.0013
80	0.0223	0.0250	0.9909	0.9921	0.0012

T A B L A 2B - 4B

CORRIDA NO. 4
(CE-SL)

M	CO	CR	F80	F8R	H
0	0.0000	0.0000	0.0000	0.0000	0.0000
1	1.7667	1.2667	0.0012	0.0009	0.0003
2	1.8027	2.0986	0.0036	0.0032	0.0005
3	2.0555	3.8958	0.0063	0.0073	0.0010
4	3.1500	5.2870	0.0098	0.0136	0.0038
5	8.0862	7.7333	0.0174	0.0225	0.0051
6	8.9528	8.8406	0.0290	0.0339	0.0049
7	7.9250	8.0492	0.0405	0.0455	0.0050
8	8.4611	8.4145	0.0517	0.0568	0.0051
9	8.3306	8.0174	0.0631	0.0680	0.0050
10	8.9500	8.1623	0.0748	0.0792	0.0043
11	8.0278	8.2290	0.0864	0.0904	0.0040
12	7.2556	7.6232	0.0968	0.1013	0.0045
13	7.9001	7.6058	0.1071	0.1117	0.0046
14	7.8666	7.6000	0.1178	0.1222	0.0043
15	7.7806	7.5275	0.1285	0.1325	0.0041
16	7.2944	7.5883	0.1387	0.1429	0.0042
17	7.5083	7.2117	0.1488	0.1531	0.0043
18	7.5111	7.3073	0.1590	0.1630	0.0040
19	7.4167	7.2086	0.1691	0.1730	0.0038
20	7.5028	6.9681	0.1793	0.1827	0.0034
21	7.4750	7.0290	0.1895	0.1923	0.0028
22	6.8889	7.0464	0.1993	0.2020	0.0027
23	6.9666	6.4696	0.2087	0.2112	0.0026
24	7.3666	6.7971	0.2184	0.2203	0.0019
25	6.7723	6.7536	0.2280	0.2296	0.0016
26	6.6556	6.3680	0.2372	0.2386	0.0015
27	6.7306	6.6696	0.2463	0.2476	0.0013
28	6.6862	6.5739	0.2554	0.2567	0.0013
29	6.6640	6.4348	0.2645	0.2656	0.0011
30	6.3249	6.2551	0.2733	0.2743	0.0010
31	6.2639	6.0232	0.2990	0.2996	0.0006
32	6.1306	5.8637	0.3243	0.3240	0.0003
33	6.2222	6.1304	0.3495	0.3487	0.0008
34	5.3279	5.6318	0.3731	0.3729	0.0002
35	5.4666	5.5652	0.3951	0.3960	0.0009
36	5.3528	4.8348	0.4172	0.4174	0.0002
37	4.9083	5.0783	0.4381	0.4378	0.0003
38	4.8000	4.8522	0.4579	0.4582	0.0003
39	4.6278	4.7015	0.4772	0.4779	0.0007
40	4.5333	4.3826	0.4959	0.4966	0.0007

T A B L A 2B - 4B

CORRIDA MINO. 4
(CE-ESL)

CONTINUACIÓN

M	CO	CR	FBO	FBR	H
41	4.4194	4.1653	0.5141	0.5142	0.0000
42	4.3722	4.7130	0.5321	0.5324	0.0004
43	4.3000	4.3855	0.5498	0.5512	0.0014
44	3.9972	3.8725	0.5667	0.5682	0.0015
45	4.0723	4.0493	0.5832	0.5845	0.0013
46	3.7500	3.2202	0.6151	0.6144	0.0007
47	3.3194	3.1827	0.6439	0.6408	0.0032
48	3.0917	2.8204	0.6701	0.6655	0.0046
49	2.9028	2.7536	0.6946	0.6884	0.0062
50	2.5222	2.3971	0.7167	0.7096	0.0071
51	2.3695	2.4203	0.7367	0.7294	0.0072
52	2.3722	2.0928	0.7560	0.7480	0.0080
53	2.2750	2.3710	0.7750	0.7664	0.0086
54	2.0694	2.0754	0.7927	0.7847	0.0080
55	1.7944	1.7594	0.8085	0.8005	0.0080
56	1.6444	1.5246	0.8225	0.8140	0.0085
57	1.5556	1.5478	0.8356	0.8267	0.0089
58	1.4250	1.4087	0.8478	0.8388	0.0089
59	1.3417	1.3652	0.8591	0.8502	0.0088
60	1.1889	1.2058	0.8694	0.8608	0.0086
61	1.1000	1.0724	0.8881	0.8796	0.0085
62	1.0277	0.8812	0.9054	0.8957	0.0098
63	0.8056	0.7884	0.9204	0.9094	0.0110
64	0.7166	0.6869	0.9328	0.9216	0.0113
65	0.6139	0.5797	0.9437	0.9320	0.0117
66	0.5361	0.5043	0.9531	0.9409	0.0122
67	0.4472	0.4607	0.9611	0.9489	0.0122
68	0.3889	0.3884	0.9679	0.9558	0.0121
69	0.3195	0.3188	0.9737	0.9617	0.0120
70	0.2750	0.2668	0.9786	0.9665	0.0121
71	0.2417	0.2083	0.9870	0.9743	0.0127
72	0.2028	0.1639	0.9942	0.9804	0.0138
73	0.1611	0.1222	1.0002	0.9851	0.0150
74	0.0972	0.1028	1.0044	0.9889	0.0155
75	0.0889	0.0833	1.0074	0.9919	0.0155
76	0.0694	0.0583	1.0100	0.9942	0.0158
77	0.0501	0.0445	1.0120	0.9959	0.0160
78	0.0139	0.0416	1.0130	0.9974	0.0156
79	0.0111	0.0278	1.0134	0.9985	0.0149
80	0.0056	0.0083	1.0137	0.9991	0.0146

T A B L E 2B - 5B

COFFIDA NO. 5
(M-SL)

#	CO	CR	FBO	FBR	H
0	0.0000	0.0000	0.0000	0.0000	0.0000
1	1.0528	2.1043	0.0013	0.0014	0.0002
2	2.7416	3.4029	0.0044	0.0052	0.0008
3	3.7139	4.5420	0.0088	0.0107	0.0019
4	4.1250	6.2000	0.0155	0.0180	0.0026
5	7.4000	8.6145	0.0248	0.0282	0.0034
6	8.4806	7.9218	0.0359	0.0395	0.0037
7	8.5000	7.9536	0.0476	0.0504	0.0029
8	8.3861	8.0464	0.0590	0.0614	0.0024
9	8.2223	8.0608	0.0703	0.0725	0.0021
10	7.9834	7.8638	0.0814	0.0834	0.0020
11	7.5000	7.7942	0.0919	0.0941	0.0022
12	7.8416	7.9247	0.1023	0.1049	0.0026
13	7.8806	7.6116	0.1130	0.1156	0.0025
14	8.0472	7.5218	0.1239	0.1259	0.0021
15	7.5917	7.6840	0.1345	0.1364	0.0019
16	7.8139	7.6115	0.1450	0.1469	0.0019
17	7.5378	7.6610	0.1554	0.1573	0.0019
18	7.5445	7.1768	0.1657	0.1675	0.0019
19	7.5000	6.8145	0.1759	0.1771	0.0012
20	7.7944	7.1594	0.1863	0.1867	0.0004
21	7.0334	7.0725	0.1964	0.1965	0.0001
22	6.7861	7.1160	0.2058	0.2062	0.0004
23	7.2139	7.0638	0.2153	0.2159	0.0006
24	6.8494	6.8174	0.2249	0.2254	0.0006
25	6.8417	6.4783	0.2342	0.2346	0.0004
26	7.1500	6.7391	0.2437	0.2436	0.0001
27	6.6139	6.6899	0.2531	0.2528	0.0002
28	6.4890	6.4609	0.2620	0.2619	0.0001
29	6.5889	6.7218	0.2709	0.2709	0.0000
30	6.8055	6.4406	0.2800	0.2799	0.0001
31	6.1222	5.9507	0.3064	0.3054	0.0010
32	6.0439	5.6348	0.3313	0.3293	0.0020
33	5.7250	5.8261	0.3553	0.3529	0.0025
34	5.5439	5.5478	0.3783	0.3763	0.0021
35	5.1045	5.1565	0.4003	0.3983	0.0020
36	5.0006	5.0406	0.4219	0.4192	0.0026
37	5.0044	5.0319	0.4422	0.4400	0.0031
38	4.7888	4.6222	0.4630	0.4599	0.0032
39	4.7750	4.7479	0.4816	0.4792	0.0024
40	4.6006	4.4521	0.4994	0.4901	0.0015

T A B L A 2B - 5B

CORRIDA NO. 5
(M-SL)

CONTINUACIÓN

#	CO	CR	F00	F0R	H
41	4.4416	4.1101	0.5178	0.5157	0.0021
42	4.3666	4.3652	0.5358	0.5332	0.0027
43	4.2666	4.1130	0.5534	0.5506	0.0028
44	3.8833	3.7102	0.5701	0.5667	0.0034
45	3.8972	3.8870	0.5859	0.5823	0.0036
46	3.4250	3.4086	0.6158	0.6124	0.0035
47	3.2250	3.1247	0.6430	0.6392	0.0037
48	3.1972	2.9913	0.6692	0.6644	0.0047
49	2.7333	2.8435	0.6934	0.6884	0.0049
50	2.6167	2.6580	0.7152	0.7111	0.0041
51	2.5028	2.3855	0.7361	0.7318	0.0043
52	2.1222	2.1941	0.7550	0.7507	0.0043
53	2.0722	2.3246	0.7721	0.7693	0.0028
54	1.8917	1.6986	0.7883	0.7867	0.0016
55	1.7751	1.7420	0.8032	0.8016	0.0016
56	1.5861	1.5739	0.8169	0.8153	0.0016
57	1.5444	1.4811	0.8297	0.8279	0.0019
58	1.3944	1.4261	0.8417	0.8398	0.0019
59	1.3195	1.2319	0.8528	0.8508	0.0020
60	1.2583	1.2116	0.8633	0.8608	0.0025
61	1.1111	1.0377	0.8826	0.8793	0.0033
62	0.9862	0.8319	0.8998	0.8947	0.0050
63	0.8611	0.7334	0.9148	0.9076	0.0072
64	0.6917	0.6840	0.9275	0.9193	0.0082
65	0.6001	0.5855	0.9381	0.9297	0.0083
66	0.4972	0.4812	0.9470	0.9385	0.0085
67	0.4555	0.4434	0.9548	0.9461	0.0087
68	0.3916	0.3855	0.9617	0.9530	0.0088
69	0.3278	0.3043	0.9676	0.9586	0.0090
70	0.2729	0.2523	0.9725	0.9632	0.0093
71	0.2417	0.2029	0.9809	0.9707	0.0102
72	0.1500	0.1472	0.9873	0.9765	0.0106*
73	0.0833	0.1055	0.9911	0.9806	0.0104
74	0.0500	0.0778	0.9932	0.9826	0.0096
75	0.0361	0.0667	0.9947	0.9860	0.0086
76	0.0250	0.0416	0.9956	0.9878	0.0078
77	0.0223	0.0250	0.9964	0.9889	0.0075
78	0.0063	0.0110	0.9969	0.9895	0.0074
79	0.0028	0.0056	0.9971	0.9898	0.0073
80	0.0000	0.0000	0.9971	0.9899	0.0073

T A B L A 2B - 6B

CORRIDA NO. 6
(P-SL)

M	CO	CR	F00	F0R	H
0	0.0000	0.0000	0.0000	0.0000	0.0000
1	1.4389	0.7072	0.0011	0.0005	0.0006
2	1.9860	2.5681	0.0036	0.0027	0.0009
3	3.1278	3.5362	0.0071	0.0070	0.0002
4	4.4306	7.4261	0.0124	0.0145	0.0021
5	5.8194	8.1452	0.0196	0.0253	0.0057
6	9.0167	8.2841	0.0298	0.0366	0.0068
7	8.2222	8.1913	0.0416	0.0480	0.0064
8	8.1805	8.0261	0.0529	0.0591	0.0063
9	8.3279	8.0145	0.0642	0.0702	0.0060
10	8.1028	7.6260	0.0754	0.0810	0.0055
11	7.7362	7.5623	0.0863	0.0915	0.0051
12	8.0529	7.2493	0.0971	0.1017	0.0045
13	7.9667	7.3536	0.1081	0.1117	0.0036
14	7.3194	7.5218	0.1186	0.1220	0.0034
15	7.7222	7.3884	0.1289	0.1323	0.0033
16	7.7362	7.6521	0.1395	0.1426	0.0031
17	7.5639	7.3421	0.1500	0.1530	0.0030
18	7.3000	7.1884	0.1602	0.1630	0.0028
19	7.1695	7.1797	0.1701	0.1729	0.0028
20	7.1417	7.1739	0.1800	0.1828	0.0028
21	7.5139	7.0116	0.1900	0.1926	0.0026
22	6.6750	7.1275	0.1997	0.2023	0.0026
23	7.2889	6.3971	0.2093	0.2116	0.0023
24	6.9583	6.7102	0.2191	0.2207	0.0016
25	7.0417	6.6087	0.2287	0.2299	0.0012
26	6.6250	6.0695	0.2381	0.2386	0.0005
27	6.8667	6.2783	0.2473	0.2471	0.0002
28	6.5556	6.2175	0.2565	0.2557	0.0008
29	6.2195	6.3334	0.2653	0.2644	0.0009
30	6.3611	6.4232	0.2739	0.2732	0.0007
31	6.5916	6.2290	0.3006	0.2993	0.0012
32	5.9917	5.6928	0.3265	0.3240	0.0024
33	5.8527	5.5449	0.3508	0.3472	0.0036
34	5.3389	5.5623	0.3738	0.3702	0.0036
35	5.4527	5.2956	0.3961	0.3927	0.0034
36	5.3833	4.7130	0.4183	0.4134	0.0050
37	4.8999	4.8609	0.4395	0.4332	0.0063
38	5.1138	4.4232	0.4601	0.4524	0.0077
39	4.7222	4.4087	0.4804	0.4706	0.0097
40	4.6250	4.5014	0.4996	0.4891	0.0105

T A B L A 2B - 6B

CORRIDA NO. 6
(P-SL)

CONTINUACIÓN

N	CO	CR	FOO	FOR	H
41	4.1500	4.0928	0.5176	0.5069	0.0108
42	4.5027	4.3914	0.5354	0.5244	0.0110
43	4.2555	4.0115	0.5535	0.5418	0.0117
44	3.9472	3.5824	0.5703	0.5575	0.0129
45	3.9611	3.9363	0.5866	0.5730	0.0136
46	3.7778	3.2898	0.6185	0.6029	0.0155
47	3.3055	3.2725	0.6476	0.6301	0.0175
48	3.1944	2.9450	0.6744	0.6558	0.0186
49	2.6750	2.8494	0.6985	0.6798	0.0187
50	2.5195	2.3797	0.7199	0.7014	0.0185
51	2.6417	2.4000	0.7411	0.7212	0.0200
52	2.2556	2.1652	0.7613	0.7400	0.0212
53	2.1333	2.1855	0.7793	0.7580	0.0213
54	1.7528	1.8318	0.7953	0.7747	0.0207
55	1.7472	1.7884	0.8097	0.7896	0.0201
56	1.5972	1.5768	0.8235	0.8036	0.0199
57	1.4668	1.5217	0.8361	0.8164	0.0197
58	1.3555	1.4116	0.8477	0.8285	0.0192
59	1.3111	1.3421	0.8587	0.8397	0.0188
60	1.1889	1.1855	0.8690	0.8504	0.0186
61	1.0362	0.9913	0.8873	0.8684	0.0189
62	0.9473	0.8580	0.9036	0.8837	0.0200
63	0.7778	0.7304	0.9178	0.8968	0.0210
64	0.6195	0.6754	0.9293	0.9084	0.0209
65	0.5361	0.5536	0.9388	0.9186	0.0202
66	0.4778	0.4491	0.9472	0.9269	0.0203
67	0.4278	0.3913	0.9546	0.9338	0.0208
68	0.3556	0.3246	0.9611	0.9398	0.0213
69	0.3028	0.2638	0.9665	0.9446	0.0218
70	0.2139	0.2174	0.9707	0.9486	0.0221
71	0.2167	0.1637	0.9778	0.9549	0.0229
72	0.1556	0.1250	0.9840	0.9597	0.0242
73	0.0972	0.0722	0.9881	0.9630	0.0251
74	0.0445	0.0556	0.9904	0.9651	0.0254
75	0.0361	0.0361	0.9918	0.9666	0.0252
76	0.0306	0.0083	0.9929	0.9673	0.0255
77	0.0361	0.0057	0.9940	0.9676	0.0264
78	0.0194	0.0028	0.9949	0.9677	0.0272
79	0.0111	0.0028	0.9954	0.9678	0.0276
80	0.0027	0.0000	0.9956	0.9679	0.0278

APÉNDICE III

EJEMPLO DE UNA RUTINA DE TRABAJO

A.- Cálculo para Obtener las Tablas III-A del Capítulo III.

La obtención de θ se realiza de la siguiente forma:

$$\theta = t/\tau \quad (1B-B)$$

t = Tiempo en que se toma la muestra.
 τ = Tiempo espacial.

$$\tau = V/Q \quad (1B-6)$$

donde:

V = Volumen del líquido en el tanque.
 Q = Caudal.

Para todos los casos $V=11.430$ l y $Q=0.0134$ l/s (Cap. II), por lo que

$$\tau = 11.430 \text{ l} / 0.0134 \text{ l/s} = 852.985 \text{ s}$$

Debido a que t equivale al tiempo en que se toma la muestra, θ variara con este tiempo. Así, para la muestra número 3 de la tabla III-1A, $t=30$ s, lo que implica que:

$$\theta = 30 \text{ s} / 852.985 \text{ s} = 0.0352$$

Por otro lado, la concentración promedio de la corrida y su réplica, C , se obtiene:

$$C = (CO + CR) / 2$$

donde:

CO = Concentración de la corrida original.
 CR = Concentración de la réplica.

Estos valores se obtienen con las siguientes ecuaciones:

$$CO = WO/UD \quad \text{y} \quad CR = WR/UR$$

donde:

WO = Peso de arena en la muestra de la corrida original.

WR = Peso de arena en la muestra de la replica.
 UD = Volumen del tubo donde se tomo la muestra en la corrida original.
 UR = Volumen del tubo donde se tomo la muestra en la replica.

Los valores de WD y WR se obtuvieron, como se indica en la seccion B del Capitulo II, por diferencia en peso entre el tubo con arena y el tubo sin arena, por lo que para la muestra elegida (numero 3 tabla III-10),

$$WD=21.3805 \text{ g}-21.1905 \text{ g}=0.1958 \text{ g}$$

$$WR=21.7392 \text{ g}-21.6270 \text{ g}=0.1122 \text{ g}$$

Los pesos de los tubos sin arena son diferentes porque los tubos usados para la corrida original no fueron los mismos que para la replica.

Aunque se trato de que los tubos tuvieran el mismo volumen, hubo una pequeña diferencia entre los de la corrida original (36 ml) y los de la replica (34.5 ml).

En las tablas no se presentan los valores de WD y WR por no considerarse necesarios, pues de donde interesa partir es de las concentraciones de las muestras. Solo se muestran los valores de WD y WR de la muestra numero 3 de la tabla III-1A para indicar de que manera se llego a los resultados de CO y CR.

$$CO=0.1958 \text{ g}/0.036 \text{ l}=5.4389 \text{ g/l}$$

$$CR=0.1122 \text{ g}/0.0345 \text{ l}=3.2522 \text{ g/l}$$

$$y \quad C=(5.4389 \text{ g/l} + 3.2522 \text{ g/l})/2=4.3456 \text{ g/l}$$

Los valores de EOT se obtuvieron con la ecuación:

$$E\theta=e^{-\theta} \quad (IB-14)$$

Con lo que para $\theta=0.0352$, $E\theta=0.9654$.

Para obtener los valores de EOE se utilizó la ecuación IB-12:

$$EOE=C/\bar{C}$$

donde:

$$\bar{C}=WT/V \quad (IB-13)$$

y $WT = P_{\text{total}}$ de sólido utilizado que, como se sabe, (Cap. II) equivale a 100 g tanto para la corrida original como para su replica.

Por lo tanto

$$\bar{C} = 100 \text{ g} / 11.430 \text{ l} = 8.7489 \text{ g/l}$$

$$E\bar{C}E = (E\bar{C}O + E\bar{C}R) / 2$$

donde:

$E\bar{C}O$ = $E\bar{C}$ experimental de la corrida original.

$E\bar{C}R$ = $E\bar{C}$ experimental de la replica;

Y para la muestra número 3 de la tabla III-1A

$$E\bar{C}O = 5.4389 \text{ g} / 8.7489 \text{ g} = 0.6217 \text{ g}$$

$$E\bar{C}R = 3.2522 \text{ g} / 8.7489 \text{ g} = 0.3717 \text{ g}$$

$$E\bar{C}E = (0.6217 \text{ g} + 0.3717 \text{ g}) / 2 = 0.4967 \text{ g}$$

Por último, la función acumulada $F\bar{C}E$ se obtuvo de la siguiente forma:

$$F\bar{C}E = (F\bar{C}O + F\bar{C}R) / 2$$

donde, como ya es común, la O se refiere a la corrida original y la R a la replica y las ecuaciones para obtenerlas son:

$$F\bar{C}O_n = [(E\bar{C}O_n + E\bar{C}O_{n-1}) / 2 (\theta_n - \theta_{n-1})] + F\bar{C}O_{n-1}$$

para la corrida original y

$$F\bar{C}R_n = [(E\bar{C}R_n + E\bar{C}R_{n-1}) / 2 (\theta_n - \theta_{n-1})] + F\bar{C}R_{n-1}$$

para la replica, donde x equivale al número de muestra.

En realidad estas ecuaciones equivalen a las sumatorias de $E\bar{C}$ multiplicadas por su respectivo incremento de θ .

Utilizando estas ecuaciones para la muestra con la que se ha venido ejemplificando, se tiene:

$$F\bar{C}O_3 = [(0.6217 + 0.4156) / 2 (0.0352 - 0.0234)] + 0.0045$$

$$F\bar{C}O_3 = 0.0106$$

$$F\bar{C}R_3 = [(0.3717 + 0.2813) / 2 (0.0352 - 0.0234)] + 0.0034$$

$$F\bar{C}R_3 = 0.0072$$

$$F\bar{C}E_3 = (0.0106 + 0.0072) / 2 = 0.0089$$

Tanto los valores de EOE como los de FOE se pudieron obtener directamente con los valores de C y de EOE respectivamente, pero como los valores de la corrida original y su réplica son necesarios para las pruebas estadísticas, se optó por hacerlos por separado desde un principio sacando los promedios para utilizarlos en esta sección.

B.- Cálculos para Obtener las Tablas III-B del Capítulo III.

Estos cálculos se realizan igual que los de la sección A, la única diferencia es el peso total de arena utilizada WT.

Como se indicó en el capítulo IV, al agregar la arena al tanque, debido a la agitación se introducía algo de esta en la boquilla del indicador de nivel provocando un volumen muerto, por lo que en esta sección, la arena que se tomó como útil es la diferencia entre los 100 g totales y lo que quedó en el indicador de nivel. Así, para la tabla III-1B:

WTO = 100 g - 1.7015 g = 98.2985 g para la corrida original y

WTR = 100 g - 2.0415 g = 97.9585 g para la réplica.

Con lo que el valor de \bar{C} será distinto para la corrida original y su réplica.

Para la corrida 1 se tendrá:

$$\bar{C}_O = 98.2985 \text{ g} / 11.430 \text{ l} = 8.6 \text{ g/l}$$

$$\bar{C}_R = 97.9585 \text{ g} / 11.430 \text{ l} = 8.5703 \text{ g/l}$$

C.- Cálculos para Obtener las Tablas 2U del Apéndice II.

En las secciones anteriores ya se ha explicado cómo se llega a los resultados de C y de FOE por lo que en esta sección sólo se explicarán las tres últimas columnas.

Los valores de FOT se pueden calcular de dos formas:

1.- Con la ecuacion IB-18

$$F&E_T = 1 - e^{-\lambda T} = 1 - E&E_T$$

2.- De las misma forma que se calculo F&E_D o F&E_R en la seccion A de este apendice

$$F&E_{T_n} = [(E&E_{T_n} + E&E_{T_{n-1}}) / 2 (\theta_n - \theta_{n-1})] + F&E_{T_{n-1}} \quad (3C-1)$$

En este trabajo se uso la segunda forma, es decir la de sumatorias, para hacerlo lo mas parecido a los cálculos experimentales.

La columna A1 se calculo con la siguiente ecuacion:

$$A1_n = |F&E_{E_n} - F&E_{T_{n-1}}| \quad (3C-2)$$

Y la columna A2 se obtuvo de la siguiente manera:

$$A2_n = |F&E_{E_n} - F&E_{T_n}| \quad (3C-3)$$

Para ejemplificar lo anterior y como ya viene haciendose desde el principio de este apendice, se utilizara la muestra numero 3 de la primera corrida.

De la tabla III-1A se toman los valores de E&E_T y θ correspondientes a las muestras 2 y 3 y, junto con el valor de F&E_T, se sustituyen en la ecuacion 3C-1

$$F&E_{T_3} = [(0.9654 + 0.9768) / 2 (0.0352 - 0.0334)] + 0.0332$$

$$F&E_{T_3} = 0.0346$$

Sustituyendo los valores de F&E_E y F&E_T correspondientes, se resuelven las ecuaciones 3C-2 y 3C-3, asi:

$$A1 = |0.0037 - 0.0332| = 0.0147$$

$$A2 = |0.0087 - 0.0346| = 0.0256$$

Las tablas tipo B se resuelven igual pero utilizando los valores correspondientes a este tipo de tablas.

D.- Calculos para Obtener las Tablas Tipo 2B del Apendice II.

El calculo de H, unica columna desconocida en estas tablas, se efectua de la siguiente manera:

$$H_u = \{F6R_u - F60_u\}$$

que sustituyendo por los valores de la muestra 3 de la tabla 2R-1A da:

$$H = \{0.0072 - 0.0106\} = 0.0034$$

APÉNDICE IV

CALIBRACIÓN DEL ROTÁMETRO

Se menciono anteriormente que el medidor de flujo utilizado, es un rotámetro cuya instalacion consiste en introducir una manguera por la parte inferior y otra por la superior. La alimentacion del flujo es provista por un tanque de nivel constante y la salida es regulada por una llave de paso; el movimiento de esta llave regula la entrada de flujo el cual acarrea elevaciones o descenso del cuerpo tronconico del rotámetro con el cual se puede fijar este cuerpo a cierta altura de la escala y asociarle un caudal.

Su calibracion consiste en relacionar una altura (diferencia de presion) en su escala con el caudal del liquido que arroja.

De esta manera se fijaron varias alturas y a cada una de ellas se midio la cantidad de liquido que salia por unidad de tiempo.

Basándose en la siguiente ecuacion se obtuvieron las constantes del rotámetro:

$$Q = a(\Delta H)^b \quad (4-1)$$

en donde:

Q = Caudal del fluido en l/s
 ΔH = Diferencia de presion (altura en la escala)
a y b = Constantes del rotámetro

Linearizando

$$\ln Q = \ln a + b \ln \Delta H$$

de donde las constantes a y b se determinan a partir de una regresión lineal o con la ayuda de una grafica.

El procedimiento seguido fue:

Se abria la llave de paso para permitir el flujo de agua, con lo que se originaba una caída de presión que era medida por el rotámetro, se anotaba este valor, se media varias veces la cantidad de liquido recolectado por minuto y se sacaba el promedio. Esto se realizo a varias alturas y se obtuvieron los siguientes resultados:

Cuadro 4-1

ΔH	Q ml/min				Q Promedio l/s
	1	2	3	Promedio	
5	102.3	102.1	102.6	102.33	0.001706
10	191.0	190.0	189.5	190.17	0.003170
15	293.5	293.8	292.0	293.10	0.004885
20	395.0	395.0	396.0	395.33	0.006589
25	493.8	494.3	493.8	493.97	0.008233
30	594.9	593.2	593.5	593.85	0.009898
40	803.0	803.5	803.8	803.43	0.013391
50	1029.2	1029.4	1028.8	1029.12	0.017152
60	1259.0	1264.0	1264.0	1262.33	0.021039
70	1482.3	1482.4	1484.0	1482.90	0.024715

Correlacion = 0.9995

a = 0.0003109

b = 1.0234

Sustituyendo

Q = 0.0003109 (ΔH)^{1.0234}

BIBLIOGRAFÍA

BIBLIOGRAFIA

- 1.- BARAS, Edward M. Lotus 1-2-3. México. 2ª Edición. Mc. Graw-Hill. 1988.
- 2.- CHUDACEK, Michael W. Does your Tank Bottom Have the Right Shape?. Chemical Engineering. New York. Mc. Graw-Hill. Octubre 1, 1984.
- 3.- DE LA PEÑA MANRIQUE, Ramon. Introducción al Análisis Ingenieril de los Reactores Químicos. México. 1ª Edición. Limusa. 1981.
- 4.- DENBIGH, Kennet. Teoría del Reactor Químico. Madrid. 1ª Edición. Alhambra. 1968.
- 5.- GATES, Lewis E. Selecting Agitator Systems to Suspend Solids in Liquids. Chemical Engineering. New York. Mc. Graw-Hill. Mayo 24, 1976.
- 6.- GARCÍA MEDINA, Roberto. Influencia de la Posición de Entradas y Salidas en la Distribución de Tiempos de Residencia en un Reactor con Agitación de Doble Aspa. (Tesis). U.A.G. 1987.
- 7.- HICKS, Richard W. Fundamentals of Agitation. Chemical Engineering. New York. Mc. Graw-Hill. Febrero 2, 1976.
- 8.- JEAN DICKENSON, Gibbons. Non Parametric Methods for Quantitative Analysis. New York. Holt, Rinehart and Winston, Inc. 1976.
- 9.- KEMENY, John G. Programación Básica. México. CEC SA. 1985.
- 10.- KREYSZIG, Erwin. Introducción a la Estadística Matemática. México. 1ª Edición. Limusa. 1978.
- 11.- LEVENSPIEL, Octava. Ingeniería de las Reacciones Químicas. Barcelona. 2ª Edición. Reverte. 1975.
- 12.- MILLER, Irwin. Probabilidad y Estadística para Ingenieros. México. Reverte. 1980.
- 13.- OLDSHUE, James Y. Fluid Mixing Technology and Practice. Chemical Engineering. New York. Mc. Graw-Hill. Junio 13, 1983.

- 14.- RAMÍREZ BECERRA, Zeferino I. Influencia de la Posición del Agitador en la Distribución de Tiempos de Residencia. Parte I: Alimentación del Tanque Cercana a la Mitad del Nivel del Líquido. (Tesis). U.A.G. 1981.
- 15.- RAMSEY, Wayne D. How the Design of Shafts, Seals and Impellers Affects Agitator Performance. Chemical Engineering. New York: Mc. Graw-Hill. Agosto 30, 1976.
- 16.- RODELO PÉREZ, Luis Guillermo. Influencia de la Excentricidad del Agitador en la Distribución de Tiempos de Residencia en un Reactor de Mezcla Completa. Parte 3: Ángulo de 135° entre la Boca de Entrada y Salida. (Tesis). U.A.G. 1986.
- 17.- RUSHTON, J.H. Mezcla y Agitación. Enciclopedia de Tecnología Química. Tomo X. Mexico. UTMEA. 1962.
- 18.- SMITH, J.M. Ingeniería de la Cinética Química. Mexico. 2a Edición. CECSA. 1977.